

Министерство науки и высшего образования Российской Федерации федеральное государственное автономное образовательное учреждение высшего образования «Национальный исследовательский Томский политехнический университет» (ТПУ)

Школа <u>Инженерная школа новых производственных технологий</u> Направление подготовки <u>15.03.01 «Машиностроение»</u> Отделение школы (НОЦ) <u>отделение машиностроения</u>

БАКАЛАВРСКАЯ РАБОТА

Тема работы
Проектирование технологического процесса изготовления детали «Полумуфта двигателя»

УДК <u>621.81-2-0</u>25.13

Студент

Группа	ФИО	Подпись	Дата
3-4А7Б	Громик Артём Александрович		07.06.2022

Руководитель ВКР

Должность	ФИО	Ученая степень,	Подпись	Дата	
		звание			
Доцент	Лысак Илья	к.т.н., доцент		07.06.2022	
	Александрович				
Консультант	Консультант				
Должность	ФИО	Ученая степень,	Подпись	Дата	
		звание			
Доцент	Лысак Илья	к.т.н., доцент		07.06.2022	
	Александрович				

КОНСУЛЬТАНТЫ ПО РАЗДЕЛАМ:

По разделу «Финансовый менеджмент, ресурсоэффективность и ресурсосбережение»

Должность	ФИО	Ученая степень, звание	Подпись	Дата
Доцент	Клемашева Елена	к.э.н.		07.06.2022
	Игоревна			

По разделу «Социальная ответственность»

Должность	ФИО	Ученая степень,	Подпись	Дата
		звание		
Доцент	Антоневич Ольга	к.б.н.		07.06.2022
	Алексеевна			

ЛОПУСТИТЬ К ЗАШИТЕ:

70117 0111111 11 01111111				
Руководитель ООП	ФИО	Ученая степень, звание	Подпись	Дата
		званис		
15.03.01	Ефременков Егор	к.т.н.		
Машиностроение	Алексеевич			

ПЛАНИРУЕМЫЕ РЕЗУЛЬТАТЫ ОСВОЕНИЯ ООП

Код	Наименование компетенции
компетенции	
	Универсальные компетенции
УК(У)-1	Способен осуществлять поиск, критический анализ и синтез
	информации, применять системный подход для решения
	поставленных задач
УК(У)-2	Способен определять круг задач в рамках поставленной цели и выбирать
	оптимальные способы их решения, исходя из действующих правовых норм,
	имеющихся ресурсов и ограничений
УК(У)-3	Способен осуществлять социальное взаимодействие и реализовывать свою роль в
	команде
УК(У)-4	Способен осуществлять деловую коммуникацию в устной и письменной формах
	на государственном языке Российской Федерации и иностранном(-ых) языке(-ах)
УК(У)-5	Способен воспринимать межкультурное разнообразие общества в социально-
T 174 (T 1) - 5	историческом, этическом и философском контекстах
УК(У)-6	Способен управлять своим временем, выстраивать и реализовывать траекторию
Y112(YY) =	саморазвития на основе принципов образования в течение всей жизни
УК(У)-7	Способен поддерживать должный уровень физической подготовленности для
VIII (VI) O	обеспечения полноценной социальной и профессиональной деятельности
УК(У)-8	Способен создавать и поддерживать безопасные условия жизнедеятельности, в
VIIC(V) O	том числе при возникновении чрезвычайных ситуаций
УК(У)-9	Способен проявлять предприимчивость в профессиональной деятельности, в т.ч.
	в рамках разработки коммерчески перспективного продукта на основе научно-
	технической идеи
	Общепрофессиональные компетенции
ОПК(У)-1	Умеет использовать основные законы естественнонаучных дисциплин в
	профессиональной деятельности, применять методы математического анализа и
OHICAN A	моделирования, теоретического и экспериментального исследования
ОПК(У)-2	Осознает сущности и значения информации в развитии современного общества
ОПК(У)-3	Владеет основными методами, способами и средствами получения, хранения, переработки информации
ОПК(У)-4	Способен решать стандартные задачи профессиональной деятельности на основе
OHK(3)-4	
ЛОПК(V)-1	
Home (3)	
ПК(V)-1	
1111(5)1	
ПК(У)-2	
ПК(У)-3	
(- / 5	
ПК(У)-4	
(-, -	
ДОПК(У)-1 ПК(У)-1 ПК(У)-2 ПК(У)-3 ПК(У)-4	информационной и библиографической культуры с применением информационно-коммуникационных технологий и с учетом основных требований информационной безопасности Способен разрабатывать и оформлять конструкторскую документацию в соответствии со стандартами и с учетом технических и эксплуатационных характеристик деталей и узлов изделий Профессиональные компетенции Способен обеспечивать технологичность изделий и процессов их изготовления умением контролировать соблюдение технологической дисциплины при изготовлении изделий Способен разрабатывать технологическую и производственную документацик использованием современных инструментальных средств Способен обеспечивать техническое оснащение рабочих мест с размещением технологического оборудования; умением осваивать вводимое оборудование Способен участвовать в работах по доводке и освоению технологических процессов в ходе подготовки производства новой продукции, проверять качестмонтажа и наладки при испытаниях и сдаче в эксплуатацию новых образцов изделий, узлов и деталей выпускаемой продукции

ПК(У)-5	Умеет проверять техническое состояние и остаточный ресурс технологического
	оборудования, организовывать профилактический осмотр и текущий ремонт
	оборудования
ПК(У)-6	Умеет проводить мероприятия по профилактике производственного травматизма
	и профессиональных заболеваний, контролировать соблюдение экологической
	безопасности проводимых работ
ПК(У)-7	Умеет выбирать основные и вспомогательные материалы и способы реализации
	основных технологических процессов и применять прогрессивные методы
	эксплуатации технологического оборудования при изготовлении изделий
	машиностроения
ПК(У)-8	Умеет применять методы стандартных испытаний по определению физико-
	механических свойств и технологических показателей используемых материалов
	и готовых изделий
ПК(У)-9	Способен к метрологическому обеспечению технологических процессов, к
	использованию типовых методов контроля качества выпускаемой продукции
ПК(У)-10	Умеет учитывать технические и эксплуатационные параметры деталей и узлов
	изделий машиностроения при их проектировании
ПК(У)-11	Умеет использовать стандартные средства автоматизации при проектировании
	деталей и узлов машиностроительных конструкций в соответствии с
	техническими заданиями
ПК(У)-12	Способен оформлять законченные проектно-конструкторские работы с проверкой
	соответствия разрабатываемых проектов и технической документации
	стандартам, техническим условиям и другим нормативным документам



Министерство науки и высшего образования Российской Федерации федеральное государственное автономное образовательное учреждение высшего образования «Национальный исследовательский Томский политехнический университет» (ТПУ)

Школа <u>Инженерная школа новых производственных технологий</u> Направление подготовки <u>15.03.01 «Машиностроение»</u> Отделение школы (НОЦ) <u>отделение машиностроения</u>

УТВЕРЖ,	ДАЮ:	
Руководит	гель ОС	ОΠ
		Ефременков Е. А.
(Подпись)	(Дата)	(Ф.И.О.)

ЗАДАНИЕ на выполнение выпускной квалификационной работы

na bbino	na bbinosincine bbinycknon kbasinqukaquomon paootibi				
В форме:					
	Бакалаврской работы				
(бакалаврско	ой работы, дипломного проекта/работы, в	магистерской диссертации)			
Студенту:					
Группа		ФИО			
3-4А7Б	Громик Арт	гём Александрович			
Тема работы:					
Проектирование техно двигателя»	Проектирование технологического процесса изготовления детали «Полумуфта				
Утверждена приказом директора (дата, номер)		03.02.2020 г. №34-76/с			
Срок сдачи студентом вы	полненной работы:	07.06.2022			

ТЕХНИЧЕСКОЕ ЗАДАНИЕ:

Исходные данные к работе

(наименование объекта исследования или проектирования; производительность или нагрузка; режим работы (непрерывный, периодический, циклический и т. д.); вид сырья или материал изделия; требования к продукту, изделию или процессу; особые требования к особенностям функционирования (эксплуатации) объекта или изделия в плане безопасности эксплуатации, влияния на окружающую среду, энергозатратам; экономический анализ и т. д.).

Чертеж детали, годовая программа выпуска детали «Полумуфта двигателя»

Перечень подлежащих исследованию, проектированию и разработке вопросов

(аналитический обзор по литературным источникам с целью выяснения достижений мировой науки техники в рассматриваемой области; постановка задачи исследования, проектирования, конструирования; содержание процедуры исследования, проектирования, конструирования; обсуждение результатов выполненной работы; наименование дополнительных разделов, подлежащих разработке; заключение по работе).

Определение типа производства, составление маршрута технологических операций, размерный анализ ТП, расчет припусков и технологических размеров, расчет режимов резания и основного времени, конструирование специального приспособления.

Перечень графического материала

(с точным указанием обязательных чертежей)

Чертеж детали, размерный анализ, технологический процесс изготовления детали, сборочный чертеж приспособления

Консультанты по разделам выпускной квалификационной работы

(с указанием разделов)

Раздел	Консультант
Технический и конструкторский	Лысак Илья Александрович
Финансовый менеджмент, ресурсоэффективность и ресурсосбережение	Клемашева Елена Игоревна
Социальная ответственность	Антоневич Ольга Алексеевна

Названия разделов, которые должны быть написаны на русском и иностранном языках:

Дата выдачи задания на выполнение выпускной	13.12.2021
квалификационной работы по линейному графику	

Задание выдал руководитель / консультант (при наличии):

ущиние выдант руководитены у консуными (при наши ини).				
Должность	ФИО	Ученая степень, звание	Подпись	Дата
Доцент	Лысак Илья Александрович	к.т.н., доцент		13.12.2021

Задание принял к исполнению студент:

Judunia in primital	ii ii oii otiii oii ja oii i		
Группа	ФИО	Подпись	Дата
3-4А7Б	Громик Артём Александрович		13.12.2021

РЕФЕРАТ

Выпускная квалификационная работа <u>105</u> с., <u>12</u> рис., <u>30</u>

табл., 24 источника, 5 прил.

Ключевые слова: Полумуфта двигателя, сталь 40х, технологический
процесс, приспособления, размерный анализ, машиностроение
Объектом проектирования является технологический процесс изготовления
детали «Полумуфта двигателя»
Цель работы – разработка технологического процесса изготовления детали
«Полумуфта двигателя». В работе используется универсальное оборудование, а
также универсальное и специальное оборудование, что дает возможность
снизить время изготовления детали.
В процессе проектирования проводились выбор заготовки для производства
детали; определение размеров и припусков; выбор оборудования, остнастки,
режущего и мерительного инструмента; расчет режимов резанья и норм времени
на обработку.
The copuse Thy:
В результате проектирования <u>был разработан технологический процесс</u> <u>изготовления детали «Полумуфта двигателя».</u>
изготовления детали «полумуфта двигателя».
Основные конструктивные, технологические и технико-эксплуатационные
характеристики: высокие эксплуатационные показатели при минимальных
затратах на изготовление
Область применения: Деталь «Полумуфта двигателя» составная часть

Экономическая эффективность/значимость работы: Бюджет затрат на реализацию проекта составил 482305 рублей. Показатель ресурсоэффективности (4,3) говорит об эффективной реализации проекта. На основании полученных результатов выявлено, что реализация данного проекта является экономически целесообразной.

детали «муфта», предназначенная для соединения валов и передачи крутящего

момента между валами без изменения его значения и направления.

Оглавление

введение	. 10
ГЕХНИЧЕСКОЕ ЗАДАНИЕ	. 11
1. ТЕХНОЛОГИЧЕСКИЙ ПРОЦЕСС	. 12
1.1 Определение типа производства	. 12
1.2 Анализ технологичности конструкции детали	. 13
Таблица 1.1 - Химический состав	. 13
1.3 Выбор исходной заготовки	. 14
1.4 Разработка технологии изготовления детали	. 15
1.5 Расчет технологических размеров при проектировании технологическог процесса	
1.5.1 Расчет диаметральных технологических размеров	
1.5.2 Расчет продольных технологических размеров	
1.6. Расчет режимов резания	. 28
1.7. Выбор средств технологического оснащения	. 47
1.8 Нормирование технологических операция	. 51
1.8.1 Расчет основного времени	. 51
Коэффициент	. 53
1.8.2 Определение норм вспомогательного времени для каждой операции	53
1.8.3 Определение времени на обслуживание рабочего места	. 54
1.8.4 Расчет времени перерывов на отдых и личные надобности	. 55
1.8.5 Расчет штучного времени	. 56
1.8.6 Расчет штучно-калькуляционного времени	. 56
2. КОНСТРУКТОРСКИЙ РАЗДЕЛ	. 58
2.1 Анализ исходных данных	. 58
Тип производства — среднесерийный Программа выпуска - 10000 шт. в год приспособление должно иметь размеры соответствующие установочным присоединительным размерам выбранного станка 2С50	И
2.2 Разработка принципиальной расчетной схемы и компоновка	
приспособления	
2.3 Расчет привода приспособления	. 61

2.4 Описание конструкции и работы приспособления	62
3. ФИНАНСОВЫЙ МЕНЕДЖМЕНТ, РЕСУРСОЭФФЕКТИВНОСТЬ И	
РЕСУРСОСБЕРЕЖЕНИЕ	65
3.1 Актуальность исследования	65
3.1.1 Потенциальные потребители результатов исследования	65
3.1.2 Анализ конкурентных технических решений	6
3.2 SWOT-анализ технологического процесса изготовления детали «Полумуфта двигателя»	69
3.3. Планирование научно-исследовательских работ	69
3.3.1. Структура работ в рамках научного исследования	69
3.3.2 Определение трудоемкости выполнения работ	70
3.4. Бюджет научно-технического исследования	74
3.4.1 Расчет материальных затрат научно-технического проекта	74
3.4.2 Полная заработная плата исполнителей темы	7:
3.4.3 Отчисления во внебюджетные фонды (страховые взносы)	70
3.4.4 Накладные расходы	7 [′]
3.4.5 Формирование бюджета затрат научно-технического проекта	7
3.5. Определение ресурсной (ресурсосберегающей), финансовой, бюджетной, социальной и экономической эффективности исследова	
ВЫВОД ПО РАЗДЕЛУ	
4. СОЦИАЛЬНАЯ ОТВЕТСТВЕННОСТЬ	83
4.1 Правовые и организационные вопросы обеспечения безопасности	83
4.2 Производственная безопасность	8:
4.2.1 Анализ опасных и вредных производственныз факторов	8′
4.3. Экологическая безопасность	90
4.4. Безопасность в чрезвычайных ситуациях	9
ВЫВОД ПО РАЗДЕЛУ	9.
ЗАКЛЮЧЕНИЕ	9
СПИСОК ИСПОЛЬЗОВАННЫХ ИСТОЧНИКОВ	90
Приложение А	90

Приложение Б	100
Приложение В	
Приложение Г	
Приложение Д	103

ВВЕДЕНИЕ

Цель данной выпускной квалификационной работы — разработка технологического процесса детали «Полумуфта двигателя». Полумуфта двигателя — деталь которая применяется для предачи крутящего момента между двигателем и валом.

Актуальность темы заключается в том, что деталь «Полумуфта двигателя» часто используется в машиностроительном производстве, поэтому проектирование технологического процесса изготовления подобной детали осуществляется, как правило, на каждом машиностроительном предприятии.

Предметом исследования выпускной квалификационной работы являются: выбор заготовки для производства детали; определение размеров и припусков; выбор оборудования, остнастки, режущего и мерительного инструмента; расчет режимов резанья и норм времени на обработку.

В ВКР рассматривается разработка эффективного технологического процесса изготовления детали «Полумуфта двигателя». Разрабатывается эффективный маршрут обработки детали.

ТЕХНИЧЕСКОЕ ЗАДАНИЕ

Разработать технологический процесс изготовления детали «Полумуфта двигателя». Чертёж детали представлен на формате А3 в приложении А. Годовая программа выпуска: 10000 шт. Материал заготовки стали 40X ГОСТ 4543-2016. Масса детали 1,99 кг. Деталь цилиндрической формы. Габаритные размеры детали: длина 58,5 мм, даметр 91мм. Наиболее точной поверхностью является отверстие Ø58H7мм и паз 14ЈЅ9. В детале имеется одно ступенчатое отверстие с цилиндрической и конусной поверностью которое должно удовлетворять условию соосности. Имеется 4 отверстия с метрической резьбой расположенные по окружности. Также имеются требования к шероховатости поверхностей Rmax0,4 и $\sqrt{Ra1,6}$.

1. ТЕХНОЛОГИЧЕСКИЙ ПРОЦЕСС

1.1 Определение типа производства

Тип производства определяется по коэффициенту закрепления операций

$$K_{3O} = \frac{t_{\pi}}{t_{\text{IIIC}}},\tag{1}$$

Такт выпуска деталей определяется по формуле

$$t_{\pi} = \frac{60\Phi_{\pi}}{N},\tag{2}$$

Годовой фонд времени работы оборудования определяем по табл. 2.1 [1,c.22]

для двухсменного режима работы: $F_r = 4015$ ч.

Среднее штучное время рассчитывают по формуле

$$t_{\text{IIIC}} = \sum_{i=1}^{n} t_{\text{IIII}} / n,$$
 (3)

Штучное время каждой операции определяется как

$$t_{III} = \varphi_{\kappa} \cdot T_0, \tag{4}$$

где $\varphi_{\rm K}$ — коэффициент, который зависит от вида применяемого станка; T_0 — основное технологическое время.

Заготовительная операция:

Отрезание:

$$\phi_{\kappa} = 1,5$$

$$T_0 = 0,00019 \cdot D^2$$

$$t_{m0} = 1,5 \cdot 0,00019 \cdot 95^2 = 2,5$$

Токарная операция:

$$\begin{split} T_o = (0,17\cdot d\cdot l + 0,1\cdot d\cdot l\)\cdot 10^{\text{-}3}, \\ \phi_{_{K}} = & 2,10 \end{split}$$

$$\begin{split} T_o = (0,17\cdot d\cdot l + 0,17\cdot d\cdot l + 0,17\cdot 91\cdot 58,5\)\cdot 10^{\text{-}3} = \\ = & (0,17\cdot 91\cdot 58,5 + 0,17\cdot 58\cdot 21 + 0,17\cdot 49\cdot 37,5)\cdot 10^{\text{-}3} = 1,4, \\ t_{_{III}5} = & 2,10\cdot 1,4 = 3,0 \end{split}$$

Сверлильная операция:

Сверление

$$\phi_{\kappa} = 1,72$$

$$T_0 = 0,00052 \cdot d \cdot 1$$

$$t_{m2} = (1,72 \cdot 0,00052 \cdot 6,5 \cdot 18) \cdot 4 = 0,4$$

Резьбонарезная операция:

нарезание резьбы в отверстиях

$$\phi_{K}=1,72$$

$$T_{0}=0,0004 \cdot d \cdot 1$$

$$t_{III8} = (1,72 \cdot 0,0004 \cdot 8 \cdot 15) \cdot 4 = 0,3$$

Среднештучное время:

$$t_{\text{IIIC}} = \frac{3.0 + 0.4 + 0.3}{3} = 1.2$$

Коэффициент закрепления операций:

$$K_{3O} = \frac{60*4015/10000}{1,2} = 20$$

10≤ K_{30} ≤20, что соответствует среднесерийному производству.

1.2 Анализ технологичности конструкции детали

Деталь — полумуфта двигателя представляет собой тело вращения, изготавливаемое из стали 40Х ГОСТ 4543-2016. Конструкция детали достаточно простая. Деталь «Полумуфта двигателя» имеет совокупность поверхностей, которые могут быть использованы в качестве технологических баз.

Химический состав Сталь 40X ГОСТ 4543-2016 приведен в таблице 1.1. [22] Таблица 1.1 - Химический состав

C	Si	Mn	Cr	Ni	Mo	Al	Ti	V	В
0,36-	0,17-	0,5-	0,8-	-	-	-	-	-	-
0,44	0,37	0,8	1,1						

Деталь «Полумуфта двигателя» имеет достаточно простую конструкцию. Все обрабатываемые поверхности находятся в свободном доступе для инструмента. Обработка детали «Полумуфта двигателя» может проводиться с помощью стандартного режущего инструмента. Деталь «Полумуфта двигателя» имеет совокупность поверхностей, которые могут быть использованы в качестве технологических баз.

Предварительную обработку наружных поверхностей детали «Полумуфта двигателя» предполагается делать на токарном станке, с последующим шлифованием.

Изготавливаемая деталь «Полумуфта двигателя» является цельной деталью, и заменить её сборной конструкцией нецелесообразно. На чертеже детали «Полумуфта двигателя» имеются все необходимые виды, разрезы, сечения, включает всю необходимую информацию для ее изготовления.

На каждой поверхности указана шероховатость, которая соответствует точности размеров этих поверхностей.

Наиболее точной поверхностью является Ø58H7мм что предполагает токарную чистовую обработку поверхности с последующим шлифованием. Так же в детали выполняется паз шириной 14js9 по конусной поверхности с уклоном 1:10.

1.3 Выбор исходной заготовки

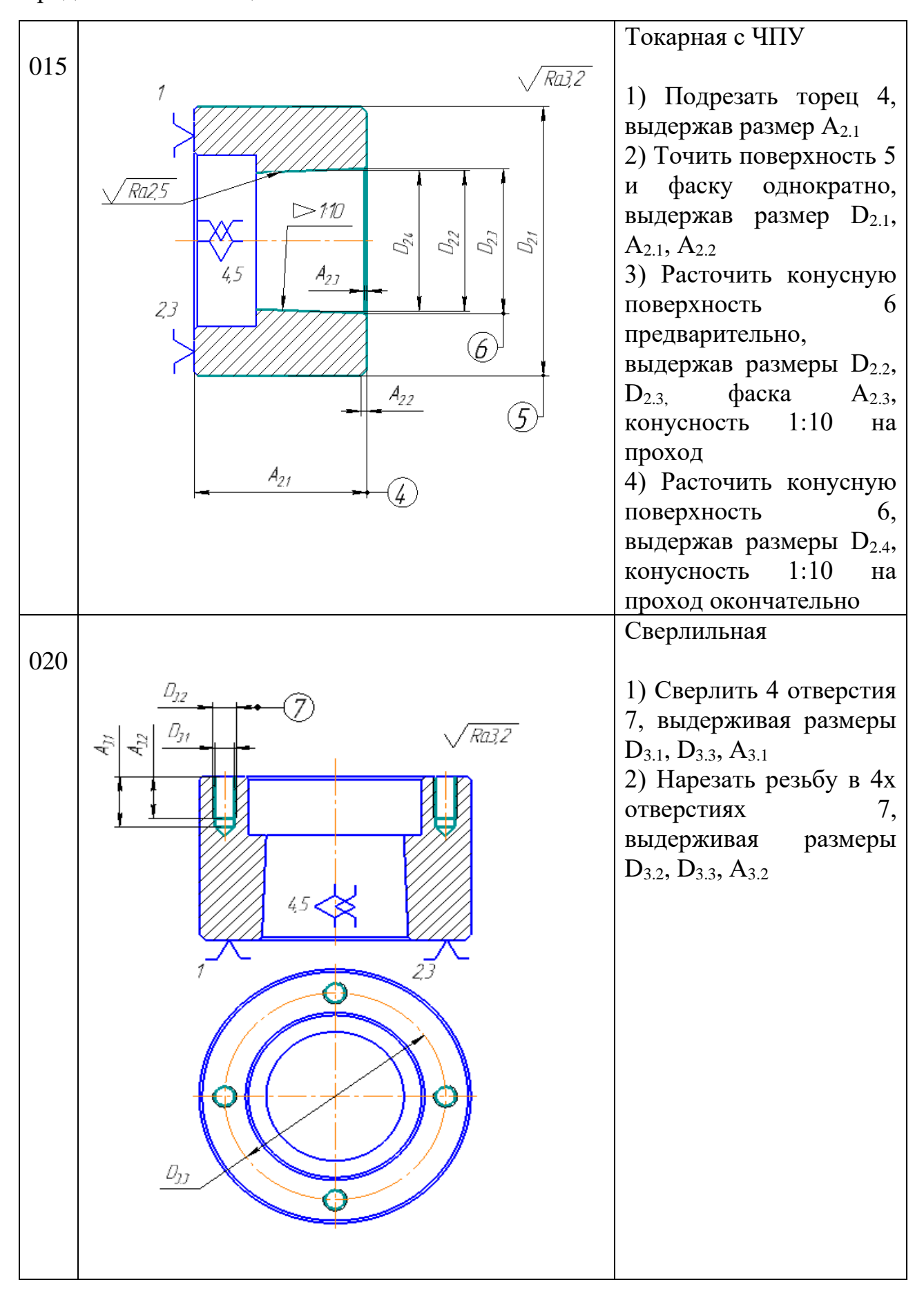
В качестве заготовки принимаем прокат трубный горячекатаный Ø95^{+0,6}_{-2,0} ГОСТ 8732-78. Выбор заготовки основан на критериях свойств материала детали «Полумуфта двигателя», её габаритов и массы, требований к механическим свойствам, а также типа производства.

1.4 Разработка технологии изготовления детали

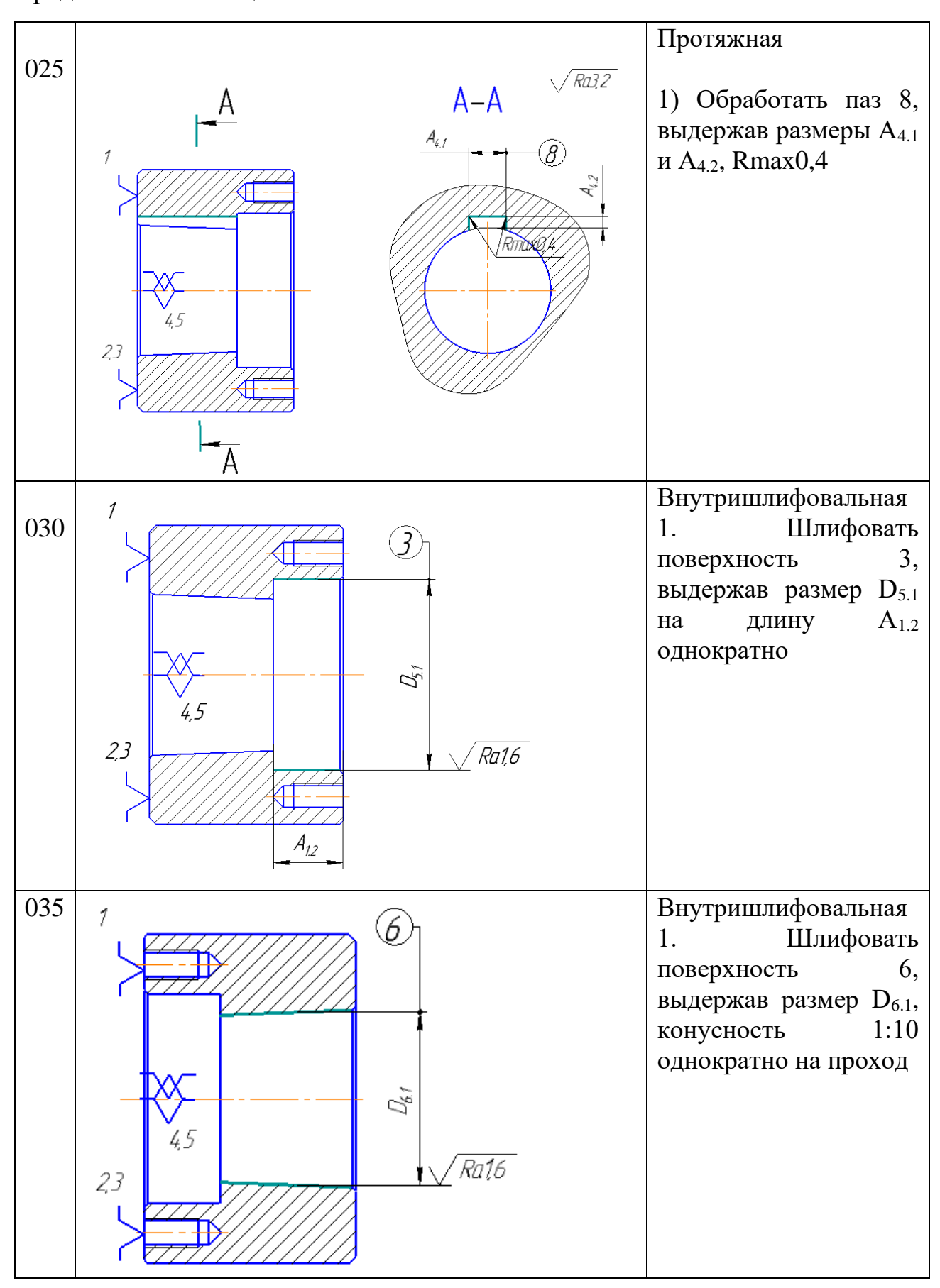
Таблица 1.2 – Технологический процесс изготовления

Номер	Операционный эскиз	Наименование и содержание операции
005	$\sqrt{Ra3.2}$	Заготовительная 1) Отрезать заготовку, выдержав размер $A_{0.1}$
010	7 Ra3,2 1 4,5 2,3 Ra2,5 Ra2,5 A ₁₁	Токарная с ЧПУ 1) Подрезать торец 1, выдержав размер $A_{1.1}$ 2) Точить фаску 2 под углом 45°, выдерживая размер $D_{1.1}$ 3) Расточить поверхность 3, выдерживая размеры $D_{1.2}$, $A_{1.2}$ предварительно 4) Расточить поверхность 3, выдерживая размеры $D_{1.3}$, $A_{1.2}$ окончательно

Продолжение таблицы 1.2



Продолжение таблицы 1.2



1.5 Расчет технологических размеров при проектировании технологического процесса

1.5.1 Расчет диаметральных технологических размеров

Формула для расчета минимального припуска на обработку поверхностей вращения:

$$2z_{\text{imin}} = 2 \cdot (Rz_{i-1} + h_{i-1} + \sqrt{\rho_{i-1}^2 + \epsilon_i^2}), \tag{5}$$

Таблица 1.3 - Расчет технологических размеров при обработке $\emptyset 91^{-0,1}_{-0.4}$ мм, рис. 1

№	Наименовани	Rz,	h,	P,	ε3,	2Zmin	Td	Dmin	Dmax	Двыб ,
	e	МК	МК	МК	МК	, MKM	,	, MM	, MM	MM
		M	M	M	M		MM			
1	2	3	4	5	6	7	8	9	10	11
1	Прокат $D_{0.1}$	320	400	285	-	-	2,6	93	95,6	$\emptyset 95^{+0,6}_{-2,0}$
2	Черновое	25	25	28	100	1740	0,3	90,6	90,9	$\emptyset 91^{-0,1}_{-0,4}$
	точение $D_{2.1}$									

В этой цепи известно: $D_{2.1}=K_{D2.1}=\emptyset 91_{-0,4}^{-0,1}$

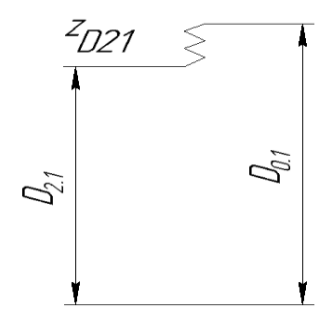


Рисунок 1 - Размерная схема обработки поверхности №5 Ø91 $_{-0.4}^{-0.1}$

Таблица 1.4 - Расчет припусков при Овыб

No	Наименование	Dвыб, мм	Td,	Dmin,	Dmax,	2Zmin,
1	2	3	4	5	6	7
1	Прокат D _{0.1}	$\emptyset95^{+0,6}_{-2,0}$	2,6	93	95,6	27 -24
2	Черновое точение D _{2.1}	$\emptyset 91^{-0,1}_{-0,4}$	0,3	90,6	90,9	2Z _{D2.1} =2,4

2. Таблица 1.5 - Расчет технологических размеров при обработке $\emptyset 49\pm 0{,}31$ мм, рис. 2

№	Наименовани	Rz,	h,	P,	ε3,	2Zmin	Td	Dmin	Dmax	Двыб ,
	e	МК	МК	МК	МК	, MKM	,	, MM	, MM	MM
		M	M	M	M		MM			
1	2	3	4	5	6	7	8	9	10	11
1	Прокат D _{0.2}	320	400	285	-	-	2,6	43	45,6	$\emptyset 45^{+0,6}_{-2,0}$
2	Черновое	25	25	28	100	1740	0,3	48,69	49,31	Ø49±0,3
	растачивание									1
	$D_{2.3}$									

В этой цепи известно: $D_{2.3}$ = $K_{D2.3}$ = \emptyset 49±0,31

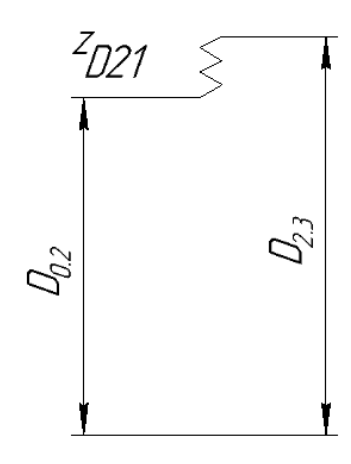


Рисунок 2 - Размерная схема обработки поверхности №6 Ø49±0,31

Таблица 1.6 - Расчет припусков при Двыб

№	Наименование	Овыб, мм	Td,	Dmin, мм	Dmax, мм	2Zmin, мм
1	2	3	4	5	6	7
1	Прокат D _{0.2}	$\emptyset 45^{+0,6}_{-2,0}$	2,6	43	45,6	
2	Черновое растачивание $D_{2.3}$	Ø49±0,31	0,62	48,69	49,31	2Z _{D2.3} =5,69

Таблица 1.7 - Расчет технологических размеров при обработке Ø47H7 $^{(+0,025)}$ мм, рис. 3

№	Наименован	Rz,	h,	ρ,	ε3,	2Zmi	Td,	Dmi	Dma	Овыб , мм
	ие	МК	МК	MKM	MK	n,	MM	n, mm	X, MM	
		M	M		M	MKM				
1	2	3	4	5	6	7	8	9	10	11
1	Прокат $D_{0.2}$	32	400	285	-	-	2,6	43	45,6	$\emptyset 45^{+0,6}_{-2,0}$
		0								-2,0
2	Черновое	40	60	22	100	0,95	0,25	46,53	46,78	Ø46,53 ^{+0,5}
	растачивани									
	e D _{2.2}									
3	Чистовое	10	40	10	100	0,4	0,1	47,08	47,18	Ø47,08 ^{+0,1}
	растачивани					·			·	
	e D _{2.4}									
4	Шлифовани	6,4	20	5	80	0,14	000	47,3	47,32	Ø47,3 ^{+0,025}
	e D _{6.1}					·	25		5	

В этой цепи известно: $D_{6.1}$ = $K_{D6.1}$ = \emptyset 47 $H7^{(+0,025)}$

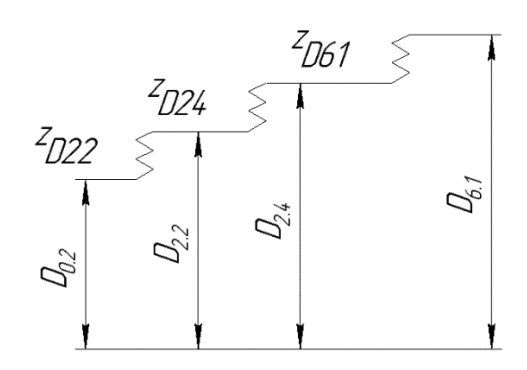


Рисунок 3 - Размерная схема обработки поверхности №6 Ø47H7 $^{(+0,025)}$

Таблица 1.8 - Расчет припусков при Двыб

No	Наименование	Овыб , мм	Td,	Dmin,	Dmax,	2Zmin, мм
1	2	3	4	5	6	7
1	Прокат D _{0.2}	$\emptyset 45^{+0,6}_{-2,0}$	2,6	43	45,6	
2	Черновое растачивание $D_{2,2}$	Ø46,53 ^{+0,25}	0,25	46,53	46,78	2Z _{D2.2} =1,18
3	Чистовое растачивание $D_{2.4}$	Ø47,08 ^{+0,1}	0,1	47,08	47,18	2Z _{D2.4} =0,4
4	Шлифование D _{6.1}	Ø47,3 ^{+0,025}	00025	47,3	47,325	2Z _{D6.1} =0,145

5. Таблица 1.9 - Расчет технологических размеров при обработке \emptyset 58H7 $^{(+0,03)}$ мм, рис. 5

No	Наименован	Rz,	h,	ρ,	ε3,	2Zmi	Td,	Dmin	Dmax	Двыб ,
	ие	MK	MK	MK	MK	n,	MM	, MM	, MM	MM
		M	M	M	M	MKM				
1	2	3	4	5	6	7	8	9	10	11
1	Прокат $D_{0.2}$	320	400	285	-	-	2,6	43	45,6	$\emptyset 45^{+0,6}_{-2,0}$
2	Черновое растачивани е D _{1.2}	40	60	22	100	0,95	0,3	57,19	57,49	Ø57,19 ^{+0,}
3	Чистовое растачивани е $D_{1.3}$	10	40	10	100	0,4	0,1	57,77	57,89	Ø57,77 ^{+0,}
4	Шлифование D _{5.1}	6,4	20	5	80	0,14	0,0	58,5	58,53	Ø58,5 ^{+0,03}

В этой цепи известно: $D_{5.1}$ = $K_{D5.1}$ = Ø58H7^(+0,03)

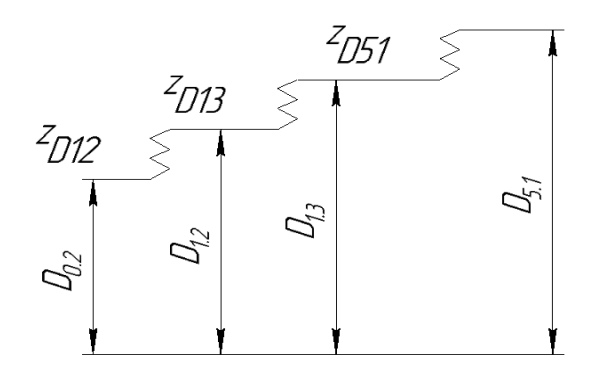


Рисунок 5 Размерная схема обработки поверхности №3 Ø58H7 $^{(+0,03)}$

Таблица 1.10 - Расчет припусков при Овыб

№	Наименование	Овыб , мм	Td,	Dmin,	Dmax,	2Zmin, мм
1	2	3	4	5 MM	6 6	7
1	Прокат D _{0.2}	Ø45 ^{+0,6} _{-2,0}	2,6	43	45,6	
2	Черновое растачивание $D_{1,2}$	Ø57,19 ^{+0,3}	0,3	57,19	57,49	2Z _{D1.2} =11,89
3	Чистовое растачивание $D_{1.3}$	Ø57,77 ^{+0,12}	0,12	57,77	57,89	2Z _{D.14} =0,24
4	Шлифование D _{5.1}	Ø58,5 ^{+0,03}	0,03	58,5	58,53	2Z _{D5.1} =0,14

Таблица 1.11 - Результаты расчетов диаметральных размеров.

	Принятое		Принятое
Обозначение тех.	номинальное	Обозначение тех.	номинальное
размера	значение размера,	размера	значение
	MM		размера, мм
$D_{0.1}$	$\emptyset95^{+0,6}_{-2,0}$	$D_{6.1}$	Ø47,3 ^{+0,025}
$D_{2.1}$	$\emptyset 91^{-0,1}_{-0,4}$	$D_{1.2}$	Ø57,19 ^{+0,3}
$D_{2.3}$	Ø49±0,31	$D_{1.3}$	Ø57,77 ^{+0,12}
$D_{0.2}$	$\emptyset 45^{+0,6}_{-2,0}$	$D_{5.1}$	Ø58,5 ^{+0,03}
$D_{2.2}$	Ø46.53 ^{+0,25}	$D_{1.1}$	Ø89±0,435
$D_{2.4}$	Ø47,08 ^{+0,1}		

1.5.2 Расчет продольных технологических размеров

Для расчета продольных технологических размеров детали «Полумуфта двигателя» строится размерная схема технологического процесса в продольном направлении (рис. 6) и граф размерных цепей (рис. 7), облегчающих их нахождение.

Перед началом расчета технологических размеров детали «Полумуфта двигателя» проводим анализ технологичности размерных цепей, замыкающими звеньями которых являются непосредственно не выдерживаемые конструкторские размеры, и проводим проверку возможности обеспечения размеров с требуемой точностью.

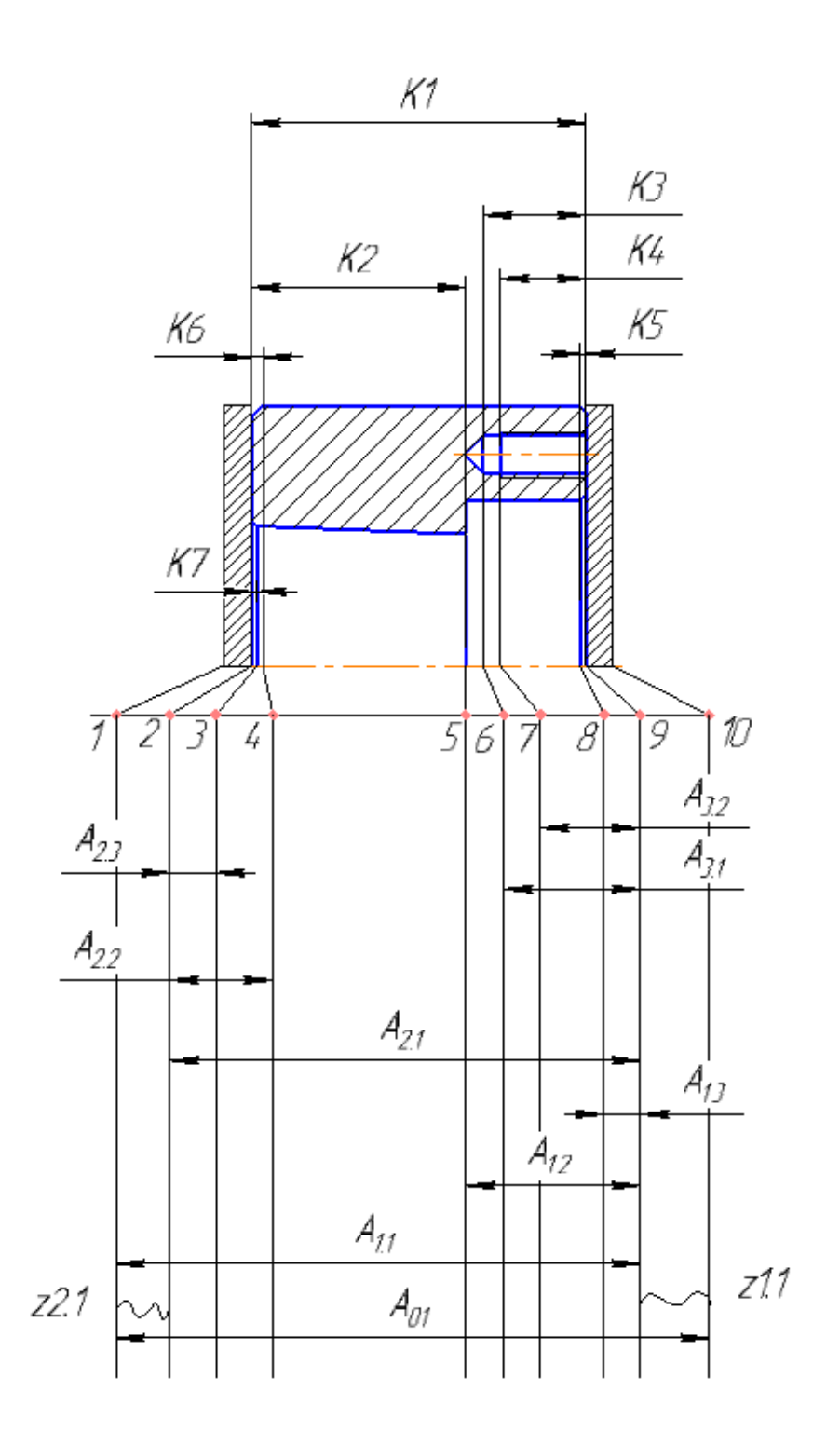


Рисунок 5 - Размерная схема

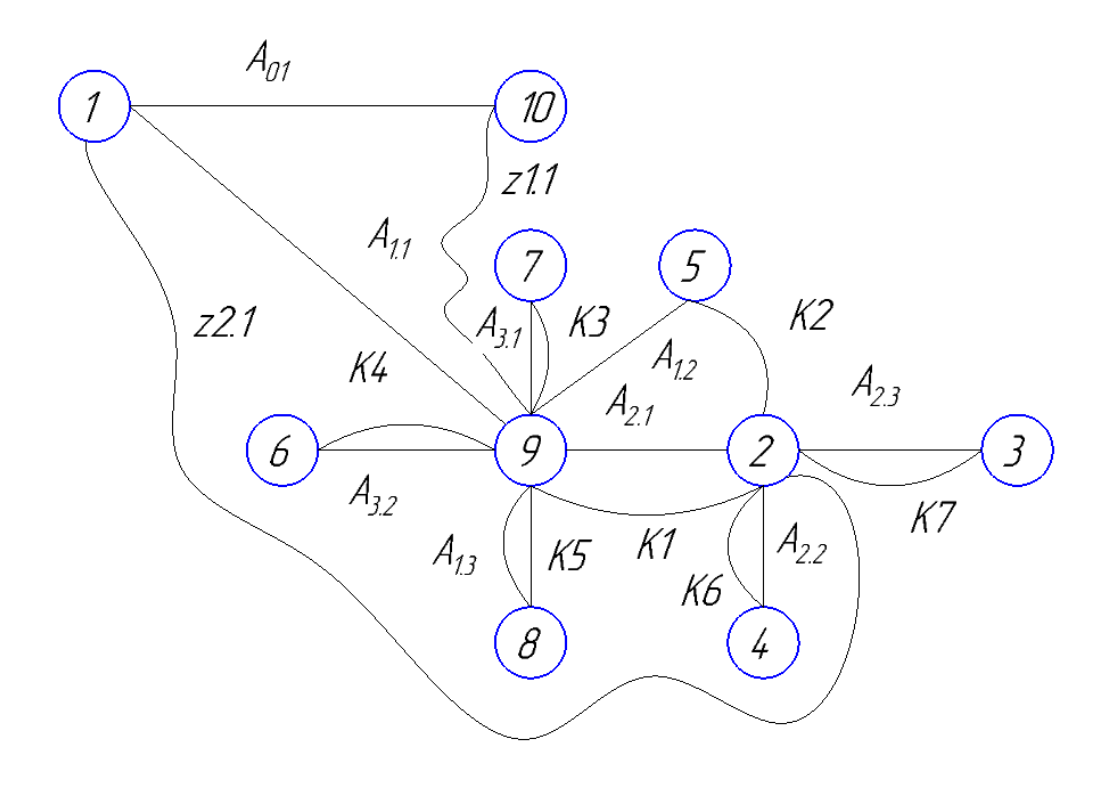


Рисунок 6 - Граф технологических размерных цепей

Составленные размерные цепи представлены на рисунке 7

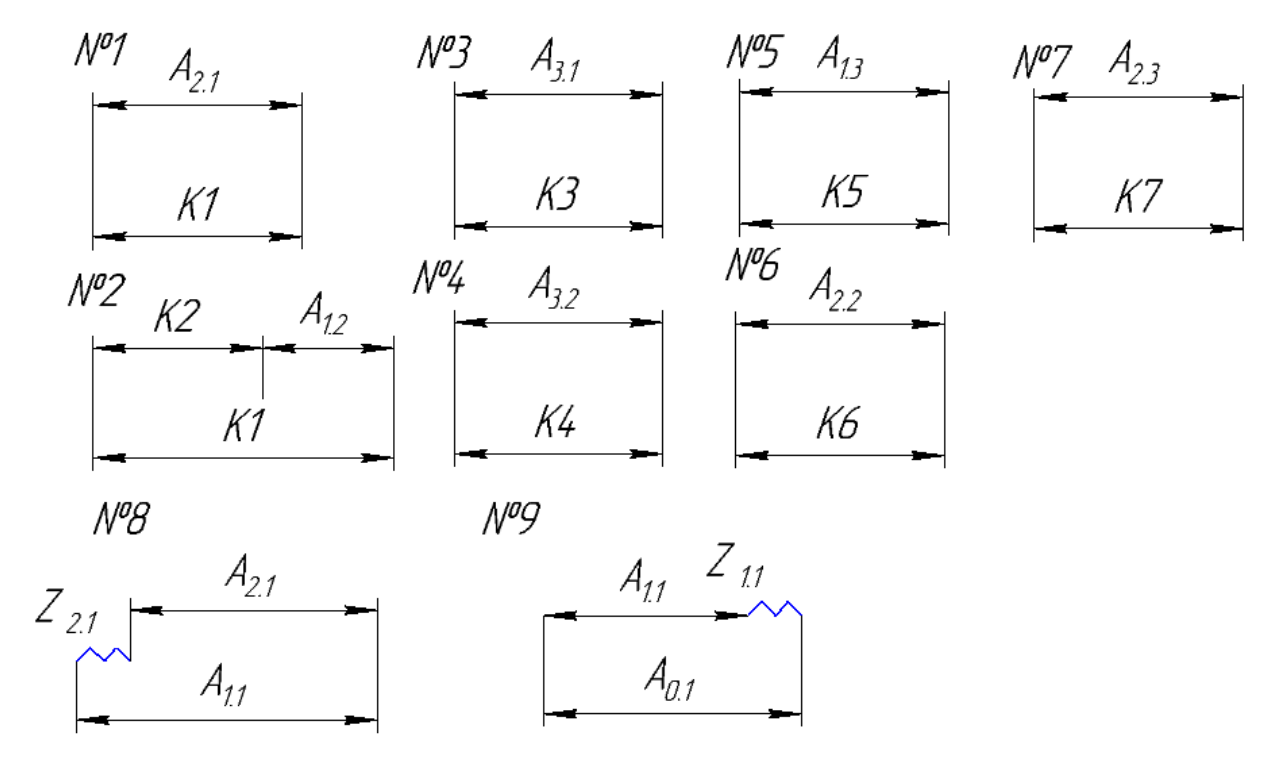


Рисунок 7 - Размерные цепи линейных технологических размеров

Назначаем допуски на технологические размеры. Берем их равными средней статистической погрешности механической обработки из приложения 1 [2, с. 74].

Допуски на технологические размеры:

$$TA_{0.1} = 0.5 \text{ MM},$$
 $TA_{1.1} = 0.5 \text{ MM},$
 $TA_{1.2} = 0.2 \text{ MM},$
 $TA_{1.3} = 0.2 \text{ MM},$
 $TA_{2.1} = 0.2 \text{ MM},$
 $TA_{2.2} = 0.2 \text{ MM},$
 $TA_{2.3} = 0.2 \text{ MM},$
 $TA_{3.1} = 0.2 \text{ MM},$
 $TA_{3.1} = 0.2 \text{ MM},$
 $TA_{3.2} = 0.2 \text{ MM},$

Расчёт начнём проверкой условия:

$$TK_i \ge \sum TA_i$$
, (6)

Проверяем условие для размера K_1 (см. рисунок 7): TK_1 =0,74 \geq TA_{2.1}=0,2 мм, т. е. размер K_1 может быть выполнен с заданной точностью.

Проверяем условие для размера K_2 (см. рисунок 7) $TK_2=0,62\geq TA_{2.1}+TA_{2.1}=0,4$ мм:, т. е. размер K_2 может быть выполнен с заданной точностью.

Проверяем условие для размера K_3 (см. рисунок 7): $TK_3 = 0,43 \ge TA_{3.1} = 0,2$ мм, т. е. размер K_3 может быть выполнен с заданной точностью.

Проверяем условие для размера K_4 (см. рисунок 7): TK_4 =0,43 \geq TA_{3.2}=0,2 мм, т. е. размер K_4 может быть выполнен с заданной точностью.

Проверяем условие для размера K_5 (см. рисунок 7): $TK_5 = 0.25 \ge TA_{1.3} = 0.2$ мм, т. е. размер K_5 может быть выполнен с заданной

точностью.

Проверяем условие для размера K_6 (см. рисунок 7): TK_6 =0,25 \geq TA_{2.3}=0,2 мм, т. е. размер K_6 может быть выполнен с заданной точностью.

Проверяем условие для размера K_7 (см. рисунок 7): $TK_7 = 0.25 \ge TA_{2.4} = 0.2$ мм, т. е. размер K_7 может быть выполнен с заданной точностью.

Таким образом, рассчитанный технологический процесс детали «Полумуфта двигателя» будет отвечать требованиям точности всех выдерживаемых конструкторских размеров.

Для двухзвенных цепей имеет:

$$№1: A_{2.1}=K_1=58,5_{-0.74} MM$$

$$№3: A_{3.1}=K_3=18^{+0.43} \text{ MM}$$

№4:
$$A_{3,2} = K_4 = 15^{+0,43}$$
 MM

№6:
$$A_{2.2}$$
= K_6 = $2\pm0,125$ мм

№7:
$$A_{2.3}=K_7=1\pm0,125$$
 мм

Из цепи №2 найдем технологический размер $A_{1,2}$. Для этого подсчитаем его среднее значение:

$$A_{1.2}^c = K_1^c - K_2^c = 58,13-37,81=20,32\pm 0,1$$
 mm

Таким образом, получили $A_{1.2}$ = $20,32\pm0,1$ мм. Так как данный размер охватываемый, то окончательно запишем $A_{1.2}$ = $20,32^{+0,2}$ мм

Формула для расчета минимальных припусков на обработку плоскостей:

$$Z_{\text{imin}} = R_{Z_{i-1}} + h_{i-1} + \rho_{i-1}, \tag{7}$$

$$\rho_{i-1} = \rho_{\phi_{i-1}} + \rho_{p_{i-1}}, \tag{8}$$

Прокат горячекатанный обычной точности:

$$R=0,1_{MM}$$
 $h=0,1_{MM}$ ρ =0,13_{MM}

Минимальный припуск на черновую подрезку торца:

$$Z_{1,1 \text{ min}} = R_{Z_{i-1}} + h_{i-1} + \rho_{i-1} = 0, 1+0, 1+0, 13=0, 33 \text{ mm}$$

$$Z_{2,1 \text{ min}} = R_{Z_{i-1}} + h_{i-1} + \rho_{i-1} = 0, 1+0, 1+0, 13=0, 33 \text{ MM}$$

Из цепи №8 определим технологический размер А_{1.1}.

$$A_{2.1}=58,5_{-0.74}MM$$
;

$$A_{2.1}^{c}=58,13\pm0,37 \text{ MM}$$

$$Z_{2.1 \text{ max}} = Z_{2.1 \text{ min}} + TA_{1.1} + TA_{2.1} = 0.33 + 0.74 + 0.5 = 1.57 \text{ MM}$$

$$Z_{2.1}^{c} = (Z_{2.1 \text{ max}} + Z_{2.1 \text{ min}})/2 = (1,57 + 0,33)/2 = 0,95 \text{ MM}$$

$$A_{1.1}^{c} = A_{2.1}^{c} + Z_{2.1}^{c} = 58,13 + 0,95 = 59,08 \text{ MM}$$

$$A_{1,1}=59,08\pm0,25$$

Таким образом, получили $A_{1.1}$ =59,08 \pm 0,25мм. Так как данный размер охватывающий, то окончательно запишем $A_{1.1}$ =59,33 $_{-0.5}$ мм.

Определим фактическое значение припуска:

$$Z_{2.1}=A_{1.1}-A_{2.1}=59,33_{-0.5}-58,5_{-0.74}=0,83^{+1.24}$$
 mm

$$Z_{2.1min} = 0.83 \text{MM}$$

Из цепи №9 определим технологический размер $A_{0.1}$.

$$A_{1.1}=59,33_{-0.5MM}$$

$$A_{1.1}^{c}=59,08 \text{ mm}$$

$$Z_{1.1 \text{ max}} = Z_{1.1 \text{ min}} + TA_{1.1} + TA_{0.1} = 0,33 + 0,5 + 0,50 = 1,33 \text{ MM}$$

$$Z_{1.1}^{c} = (Z_{1.1 \text{ max}} + Z_{1.1 \text{ min}})/2 = (1,33+0,33)/2 = 0.83 \text{ MM}$$

$$A_{0.1}^c = A_{1.1}^c + Z_{1.1}^c = 59,08 + 0,83 = 59,91 \text{ mm}$$

$$A_{0.1}=59,91\pm0,25$$
MM

Таким образом, получили $A_{0.1}$ =59,91 \pm 0,25мм. Так как данный размер охватывающий, то окончательно запишем $A_{0.1}$ =60,16 $_{-0,5}$ мм.

Определим фактическое значение припуска:

$$Z_{1.1} = A_{0.1} - A_{1.1} = 60, 16_{-0.5} - 59, 33_{-0.5} = 0.83^{+1.0} \text{ MM}$$

$$Z_{1.1 \text{min}} = 0.83 \text{MM}.$$

Результаты расчёта продольных технологических размеров детали «Полумуфта двигателя» отображены в таблице 1.12

Таблица 1.12 - Продольные технологические размеры детали «Полумуфта двигателя»

	Принятое		Принятое
Обозначение тех.	номинальное	Обозначение тех.	номинальное
размера	значение размера,	размера	значение размера,
	MM		MM
$A_{0.1}$	60,16-0,5	$A_{3.2}$	15 ^{+0,43}
$A_{1.1}$	59,33-0,5	$A_{1.3}$	$1 \pm 0,125$
$A_{2.1}$	58,5 _{-0,74}	$A_{2.2}$	$2 \pm 0,125$

1.6. Расчет режимов резания

Отрезная операция 005

Материал режущего инструмента выбираем пользуясь рекомендациями— Т15К6 (по ГОСТ 18879-73).

Подача на зуб при : $S=0.05 \frac{MM}{3VO}$, Z=30 [4, табл. 108, с. 425]

Скорость резания $v = 50 \frac{M}{MH}$

Период стойкости инструмента принимаем: Т=30 мин [4, с. 363].

Минутная подача $S_{M}=1500$ MM/MH

$$t_0 = \frac{D_{px}}{S_M} = \frac{130_{MM}}{1500} = 0,08 \text{ мин}, \tag{9}$$

Где D_{px} -длина рабочего хода

Ширина полотна t=3...5=5мм

Токарная операция 010

Материал режущего инструмента выбираем в соответствии с рекомендациями [4, с. 184] – T15K6.

Переход 1. Подрезать торец 1, выдержав размер 59,33-0,5 мм

Глубина резания: $t = z_{11}^c = 0.83$ мм.

Подача по [4, табл. 15, с.260] для данной глубины резания:

S = 0.5 mm/of

Скорость резания определяется по формуле:

$$V = \frac{C_v}{T^m \cdot t^x \cdot S^y} \cdot K_v, \tag{10}$$

Период стойкости инструмента принимаем: Т=30 мин.

 $C_V = 350; m = 0,20; x = 0,15; y = 0,35$ — определены по [4, табл. 17, с. 269].

Коэффициент K_V:

$$K_{V} = K_{MV} \cdot K_{\Pi V} \cdot K_{UV}, \tag{11}$$

$$K_{MV} = K_{\Gamma} \cdot \left(\frac{750}{\sigma_{B}}\right)^{Nv} = 1,0 \cdot \left(\frac{750}{980}\right)^{1} = 0,8,$$
 (12)

 $K_{MV} = 0.8$; $K_{\Pi V} = 0.9$; $K_{HV} = 2.7$.

 $K_V = 0.8 \cdot 0.9 \cdot 2.7 = 1.9.$

Скорость резания:

$$V = \frac{350}{30^{0.20} \cdot 0.83^{0.15} \cdot 0.5^{0.35}} \cdot 1,9 = 441 \text{ M/MUH}$$

Находим расчётное число оборотов шпинделя:

$$n = \frac{1000 \cdot V}{\pi \cdot d} = \frac{1000 \cdot 441}{3.14 \cdot 95} = 1480 \frac{\text{ob}}{\text{muh}}, \tag{13}$$

Примем фактическое число оборотов, учитывая тип станка:

 $n_{ct} = 1400$ об/мин.

5. Вычислим фактическую скорость резания:

$$V = \frac{\pi \cdot d \cdot n}{1000} = \frac{3,14 \cdot 95 \cdot 1400}{1000} = 417 \frac{M}{MUH}, \tag{14}$$

6. Определим главную составляющую сил резания по формуле:

$$P_z = 10 \cdot C_P \cdot t^x \cdot S^y \cdot V^n \cdot K_P, \tag{15}$$

 C_p = 300; n = - 0,15; x = 1,0; y = 0,75 — определены по [4, табл. 22, с. 273]. Коэффициент K_p :

$$K_{P} = K_{MP} \cdot K_{\phi P} \cdot K_{\gamma P} \cdot K_{\lambda P} \cdot K_{rP}, \qquad (16)$$

$$K_{\rm Mp} = \left(\frac{\sigma_{\rm B}}{750}\right)^{\rm n} = \left(\frac{980}{750}\right)^{0.75} = 1.22,$$
 (17)

 $K_{MP} = 1,22$; $K_{\phi P} = 0,89$; $K_{\gamma P} = 1,0$; $K_{\lambda P} = 1,0$; $K_{rP} = 0,93$.

$$K_P = K_{MP} \, \cdot \, K_{\phi P} \, \cdot \, K_{\gamma P} \, \cdot \, K_{\lambda P} \, \cdot \, K_{rP} = 1,\!22 \, \cdot \, 0,\!89 \, \cdot \, 1,\!0 \, \cdot \, 1,\!0 \, \cdot \, 0,\!93 = 1,\!01.$$

Определим главную составляющую силы резания:

$$P_z = 10 \cdot C_P \cdot t^x \cdot S^y \cdot V^n \cdot K_P = 10 \cdot 300 \cdot 0,83^{1} \cdot 0,5^{0,75} \cdot 417^{-0,15} \cdot 1,01 = 605 \text{ H},$$

7. Найдем мощность резания:

$$N = \frac{P_z \cdot V}{1020 \cdot 60} = \frac{417 \cdot 605}{1020 \cdot 60} = 4,1 \text{ kBT}, \tag{18}$$

8. Определим мощность привода главного движения:

$$N_{np} = \frac{N}{\eta} = \frac{4.1}{0.75} = 5.5 \text{ kBT}, \tag{19}$$

При условии, что к.п.д. привода нам неизвестно, примем худший вариант $\eta = 0.75.$

Проверка по мощности:

$$N \leq N_{cT} \cdot \eta, \tag{20}$$
$$5.5 \leq 15$$

Переход 2. Точить фаску 2 под углом 45°, выдерживая размер Ø89±0,435мм.

Глубина резания: t = 1 мм.

Подача для нашей глубины резания:

S = 0.5 мм/об [4, табл. 15, с. 260]

Скорость резания определяем по формуле:

$$V = \frac{C_v}{T^m \cdot t^x \cdot S^y} K_v$$

Период стойкости инструмента принимаем: T=30 мин.

 $C_V = 350$; m = 0.20; x = 0.15; y = 0.35 — определены по [4, табл. 17, с. 269]. Коэффициент K_V :

 $K_{V} = K_{MV} \cdot K_{\Pi V} \cdot K_{UV}$

$$K_{MV} = K_{\Gamma} \cdot \left(\frac{750}{\sigma_{B}}\right)^{Nv} = 1.0 \cdot \left(\frac{750}{980}\right)^{1} = 0.8$$

 $K_{\rm MV} = 0.8$; $K_{\rm \Pi V} = 0.9$; $K_{\rm HV} = 2.7$.

$$K_V = 0.8 \cdot 0.9 \cdot 2.7 = 1.9.$$

Найдем корость резания:

$$V = \frac{350}{30^{0,20}1^{0,15}0,5^{0,35}}1,9 = 429 \text{ м/мин}$$

Определим расчётное число оборотов шпинделя:

$$n = \frac{1000 \cdot V}{\pi \cdot d} = \frac{1000 \cdot 429}{3.14 \cdot 89} = 1536 \frac{o6}{MUH}$$
.

Принимаем фактическое число оборотов, с учетом типа станка: $n_{\rm ct} = 1500 {\rm of/muh}.$

5. Тогда фактическая скорость резания:

$$V = \frac{\pi \cdot d \cdot n}{1000} = \frac{3,14 \cdot 89 \cdot 1500}{1000} = 419 \frac{M}{MUH}$$

6. Рассчитаем главную составляющую силы резания по формуле:

$$P_z = 10 \cdot C_P \cdot t^x \cdot S^y \cdot V^n \cdot K_P$$

 C_p = 300; n = -0,15; x = 1,0; y = 0,75 – определены по таблице 22 [4, c. 273]. Коэффициент K_p :

$$K_{P} = K_{MP} \cdot K_{\phi P} \cdot K_{\gamma P} \cdot K_{\lambda P} \cdot K_{rP}$$

$$K_{\rm Mp} = \left(\frac{\sigma_{\rm B}}{750}\right)^{\rm n} = \left(\frac{980}{750}\right)^{0.75} = 1.22$$

 $K_{MP} = 1,22; K_{\phi P} = 0,89; K_{\gamma P} = 1,0; K_{\lambda P} = 1,0; K_{rP} = 0,93.$

$$K_P = K_{MP} \cdot K_{\phi P} \cdot K_{\gamma P} \cdot K_{\lambda P} \cdot K_{rP} = 1,22 \cdot 0,89 \cdot 1,0 \cdot 1,0 \cdot 0,93 = 1,01.$$

Определим главную составляющую силы резания:

$$P_z = 10 \cdot C_P \cdot t^x \cdot S^y \cdot V^n \cdot K_P = 10 \cdot 300 \cdot 1^{-1} \cdot 0.5^{0.75} \cdot 419^{-0.15} \cdot 1.01 = 728 \text{ H}.$$

7. Мощность резания:

$$N = \frac{P_z \cdot V}{1020.60} = \frac{419.728}{1020.60} = 4,99 \text{ kBt.}$$

8. Мощность привода главного движения:

$$N_{\text{np}} = \frac{N}{\eta} = \frac{4,99}{0,75} = 6,65 \text{kBt}.$$

При условии, что к.п.д. привода нам неизвестно, примем худший вариант $\eta = 0.75.$

Проверка по мощности:

$$N \le N_{cT} \cdot \eta;$$

6,65 < 15

Переход 3. Расточить поверхность 3, выдерживая размеры Ø57 $^{+0,3}$, 20,32 $^{+0,2}$ мм предварительно.

Глубина резания: t = 3 мм. Число проходов 3

Подача по [4, табл. 15, с. 260] для данной глубины резания:

S = 0.1 mm/of

Скорость резания определяется по формуле:

$$V = \frac{C_v}{T^m t^x S^y} K_v$$

Период стойкости инструмента принимаем: Т=30 мин.

 $C_V = 350; m = 0.20; x = 0.15; y = 0.35$ — определены по [4, табл. 17, с. 269].

Коэффициент K_V:

 $K_{V} = K_{MV} \cdot K_{\Pi V} \cdot K_{UV},$

$$K_{MV} = K_{\Gamma} \left(\frac{750}{\sigma_{B}}\right)^{Nv} = 1.0 \cdot \left(\frac{750}{980}\right)^{1} = 0.8$$

 $K_{MV} = 0.8$; $K_{\Pi V} = 0.9$; $K_{HV} = 2.7$.

$$K_V = 0.8 \cdot 0.9 \cdot 2.7 = 1.9.$$

Скорость резания:

$$V = \frac{350}{30^{0,20}3^{0,15}0,1^{0,35}}1,9 = 639 \text{ м/мин}$$

Расчётное число оборотов шпинделя:

$$n = \frac{1000 \cdot V}{\pi \cdot d} = \frac{1000 \cdot 639}{3,14 \cdot 57} = 3573 \frac{o6}{MUH}.$$

Принимаем фактическое число оборотов, с учетом типа станка:

 $n_{ct} = 3500$ об/мин.

5. Фактическая скорость резания:

$$V = \frac{\pi \cdot d \cdot n}{1000} = \frac{3,14 \cdot 57 \cdot 3500}{1000} = 626 \frac{M}{MUH}.$$

6. Определяем главную составляющую силы резания по формуле:

$$P_z=10\cdot C_P\cdot t^x\cdot S^y\cdot V^n\cdot K_P$$

 C_p = 300; n = - 0,15; x = 1,0; y = 0,75 – определены по [4, табл. 22, с. 273]. Коэффициент K_p :

$$K_P = K_{MP} \cdot K_{\phi P} \cdot K_{\gamma P} \cdot K_{\lambda P} \cdot K_{rP}$$

$$K_{\rm Mp} = \left(\frac{\sigma_{\rm B}}{750}\right)^{\rm n} = \left(\frac{980}{750}\right)^{0.75} = 1.22$$

 $K_{MP} = 1{,}22; \;\; K_{\phi P} = 0{,}89; \; K_{\gamma P} = 1{,}0; \;\; K_{\lambda P} = 1{,}0; \;\; K_{rP} = 0{,}93.$

$$K_P = K_{MP} \cdot K_{\phi P} \cdot K_{\gamma P} \cdot K_{\lambda P} \cdot K_{rP} = 1,22 \cdot 0,89 \cdot 1,0 \cdot 1,0 \cdot 0,93 = 1,01.$$

Главная составляющая силы резания:

$$P_z = 10 \cdot C_P \cdot t^x \cdot S^y \cdot V^n \cdot K_P = 10 \cdot 300 \cdot 3^1 \cdot 0,1^{0.75} \cdot 629^{-0.15} \cdot 1,01 = 615 \text{ H}.$$

7. Мощность резания:

$$N = \frac{P_z \cdot V}{1020.60} = \frac{615.629}{1020.60} = 6.3 \text{ kBt.}$$

8. Мощность привода главного движения:

$$N_{np} = \frac{N}{\eta} = \frac{6.3}{0.75} = 8.4 \text{kBT}.$$

При условии, что к.п.д. привода нам неизвестно, примем худший вариант $\eta = 0.75.$

Проверка по мощности:

$$N \le N_{cT} \cdot \eta;$$

8.4<15

Переход 4. Расточить поверхность 3, выдерживая размеры Ø57,8 0,12 , 20,32 $^{+0,2}$ мм окончательно.

Глубина резания: t = 0,4 мм. Число проходов 2

Подача по [4, табл. 15, с. 260] для данной глубины резания:

S = 0,1 мм/об

Скорость резания определяется по формуле:

$$V = \frac{C_{v}}{T^{m}t^{x}S^{y}}K_{v}$$

Период стойкости инструмента принимаем: T=30 мин.

 $C_V = 350; m = 0,20; x = 0,15; y = 0,35$ — определены по [4, табл. 17, с. 269].

Коэффициент K_V:

$$K_{V} = K_{MV} \cdot K_{\Pi V} \cdot K_{UV},$$

$$K_{MV} = K_{\Gamma} \left(\frac{750}{\sigma_{B}}\right)^{Nv} = 1.0 \cdot \left(\frac{750}{980}\right)^{1} = 0.8$$

$$K_{MV} = 0.8$$
; $K_{\Pi V} = 0.9$; $K_{HV} = 2.7$.

$$K_V = 0.8 \cdot 0.9 \cdot 2.7 = 1.9.$$

Скорость резания:

$$V = \frac{350}{30^{0,20}0.4^{0,15}0.1^{0,35}}1,9 = 865 \text{ м/мин}$$

Расчётное число оборотов шпинделя:

$$n = \frac{1000 \cdot V}{\pi \cdot d} = \frac{1000 \cdot 865}{3,14 \cdot 57,8} = 4834 \frac{\text{of}}{\text{muh}}.$$

Принимаем фактическое число оборотов, с учетом типа станка:

$$n_{cr} = 3500$$
об/мин.

5. Фактическая скорость резания:

$$V = \frac{\pi \cdot d \cdot n}{1000} = \frac{3,14 \cdot 57,5 \cdot 3500}{1000} = 626 \frac{M}{MUH}.$$

6. Определяем главную составляющую силы резания по формуле:

$$P_z = 10 \cdot C_P \cdot t^x \cdot S^y \cdot V^n \cdot K_P$$

 $C_p = 300$; n = -0.15; x = 1.0; y = 0.75 — определены по [4, табл. 22, с. 273].

Коэффициент Кр:

$$K_P = K_{MP} \cdot K_{\phi P} \cdot K_{\gamma P} \cdot K_{\lambda P} \cdot K_{rP}$$

$$K_{\rm Mp} = \left(\frac{\sigma_{\rm B}}{750}\right)^{\rm n} = \left(\frac{980}{750}\right)^{0.75} = 1.22$$

 $K_{MP}=1{,}22; \;\; K_{\phi P}=0{,}89; \; K_{\gamma P}=1{,}0; \;\; K_{\lambda P}=1{,}0; \;\; K_{rP}=0{,}93.$

$$K_P = K_{MP} \cdot K_{\phi P} \cdot K_{\gamma P} \cdot K_{\lambda P} \cdot K_{rP} = 1,22 \cdot 0,89 \cdot 1,0 \cdot 1,0 \cdot 0,93 = 1,01.$$

Главная составляющая силы резания:

$$P_z = 10 \cdot C_P \cdot t^x \cdot S^y \cdot V^n \cdot K_P = 10 \cdot 300 \cdot 0,4^1 \cdot 0,1^{0.75} \cdot 629^{-0.15} \cdot 1,01 = 82 \text{ H}.$$

7. Мощность резания:

$$N = \frac{P_z \cdot V}{1020 \cdot 60} = \frac{82 \cdot 629}{1020 \cdot 60} = 0.84 \text{kB}_T.$$

8. Мощность привода главного движения:

$$N_{\text{np}} = \frac{N}{\eta} = \frac{0.84}{0.75} = 1.12 \text{kBt}.$$

При условии, что к.п.д. привода нам неизвестно, примем худший вариант $\eta = 0.75.$

Проверка по мощности:

$$N \le N_{cT} \cdot \eta;$$
1.12<15

Токарная операция 015

Материал режущего инструмента выбираем в соответствии с рекомендациями [4, с. 184] – T15K6.

Переход 1. Подрезать торец 4, выдержав размер 58,5-0,74 мм

Глубина резания: $t = Z_{21}^c = 0.83$ мм.

Подача по [4, табл. 15, с. 260] для данной глубины резания:

S = 0.5 mm/of

Скорость резания определяется по формуле:

$$V = \frac{C_{v}}{T^{m}t^{x}S^{y}}K_{v}$$

Период стойкости инструмента принимаем: Т=30 мин.

 $C_V = 350$; m = 0.20; x = 0.15; y = 0.35 — определены по [4, табл. 17, с. 269].

Коэффициен К_V:

 $K_V = K_{MV} \, \cdot \, K_{\Pi V} \, \cdot \, K_{UV} \text{,}$

$$K_{\text{MV}} = K_{\Gamma} \left(\frac{750}{\sigma_{\text{B}}} \right)^{\text{Nv}} = 1.0 \cdot \left(\frac{750}{980} \right)^{1} = 0.8$$

 $K_{\rm MV} = 0.8$; $K_{\rm \Pi V} = 0.9$; $K_{\rm HV} = 2.7$.

$$K_V = 0.8 \cdot 0.9 \cdot 2.7 = 1.9.$$

Скор'ость р'езан'ия:

$$V = \frac{350}{30^{0,20}0,83^{0,15}0,5^{0,35}} \, 1,9 = 441 \, \text{M/MuH}^{\text{H}}$$

Р'асчётн'ое число обор'отов шпин'деля:

$$n = \frac{1000 \cdot V}{\pi \cdot d} = \frac{1000 \cdot 441}{3,14 \cdot 95} = 1480 \frac{\text{of}}{\text{MUH}}.$$

Принимаем фактическое число оборотов, с учетом типа стан'ка:

 $n_{ct} = 1400$ об/мин.

5. Фактическая скорость резания:

$$V = \frac{\pi \cdot d \cdot n}{1000} = \frac{3,14 \cdot 95 \cdot 1400}{1000} = 417 \frac{M}{MUH}.$$

6. Определяем главную составляющую силы резания по формуле:

$$P_z = 10 \cdot C_P \cdot t^x \cdot S^y \cdot V^n \cdot K_P$$

 C_p = 300; n = - 0,15; x = 1,0; y = 0,75 – определены по [4, табл. 22, с. 273]. Коэффициент K_p :

$$K_P = K_{MP} \cdot K_{\sigma P} \cdot K_{\nu P} \cdot K_{\lambda P} \cdot K_{rP}$$

$$K_{\text{Mp}} = \left(\frac{\sigma_{\text{B}}}{750}\right)^{\text{n}} = \left(\frac{980}{750}\right)^{0.75} = 1,22$$

 $K_{MP} = 1{,}22; \ K_{\phi P} = 0{,}89; \ K_{\gamma P} = 1{,}0; \ K_{\lambda P} = 1{,}0; \ K_{rP} = 0{,}93.$

$$K_P = K_{MP} \cdot K_{\phi P} \cdot K_{\gamma P} \cdot K_{\lambda P} \cdot K_{rP} = 1,22 \cdot 0,89 \cdot 1,0 \cdot 1,0 \cdot 0,93 = 1,01.$$

Главная составляющая силы резания:

$$P_z = 10 \cdot C_P \cdot t^x \cdot S^y \cdot V^n \cdot K_P = 10 \cdot 300 \cdot 0.83^{-1} \cdot 0.5^{-0.75} \cdot 417^{-0.15} \cdot 1.01 = 605 \text{ H}^{-1}.$$

7. Мощность резания:

$$N = \frac{P_z \cdot V}{1020.60} = \frac{417.605}{1020.60} = 4.1 \text{ kBt}.$$

8. Мощность привода главного движения:

$$N_{\text{np}} = \frac{N}{\eta} = \frac{4.1}{0.75} = 5.5 \text{kBt}.$$

При условии, что к.п.д. привода нам неизвестно, примем худший вариант $\eta = 0.75.$

Проверка по мощности:

$$N \le N_{cT} \cdot \eta;$$
 5.5<15

Переход 2. Точить поверхность 5 и фаску $2x45^{\circ}$ однократно, выдержав размер $\emptyset 91_{-0,4}^{-0,1}$.

Глубина резания: t = 2 мм.

Подача по [4, табл. 15, с. 260] для данной глубины резания:

S = 0.5 mm/o6

Скорость резания определяется по формуле:

$$V = \frac{C_{v}}{T^{m}t^{x}S^{y}}K_{v}$$

Период стойкости инструмента принимаем: Т=30 мин.

 $C_V = 350; m = 0,20; x = 0,15; y = 0,35$ — определены по [4, табл. 17 с. 269].

Коэффициен К_V:

 $K_{V} = K_{MV} \cdot K_{\Pi V} \cdot K_{UV},$

$$K_{MV} = K_{\Gamma} \left(\frac{750}{\sigma_{B}}\right)^{Nv} = 1.0 \cdot \left(\frac{750}{980}\right)^{1} = 0.8$$

 $K_{MV} = 0.8$; $K_{\Pi V} = 0.9$; $K_{UV} = 2.7$.

$$K_V = 0.8 \cdot 0.9 \cdot 2.7 = 1.9.$$

Скор'ость р'езан'ия:

$$V = \frac{350}{30^{0,20}2^{0,15}0,5^{0,35}}1,9 = 418 \text{ M/M}_{\text{M}}$$

Расчётное число оборотов шпинделя:

$$n = \frac{1000 \cdot V}{\pi \cdot d} = \frac{1000 \cdot 418}{3.14 \cdot 91} = 1464 \frac{\text{ob}}{\text{muh}}.$$

Принимаем фактическое число оборотов, с учетом типа стан'ка: $n_{\rm ct} = 1400 {\rm of/muh}.$

5. Фактическая скорость резания:

$$V = \frac{\pi \cdot d \cdot n}{1000} = \frac{3,14 \cdot 91 \cdot 1400}{1000} = 400 \frac{M}{MUH}$$

6. Определяем главную составляющую силы резания по формуле:

$$P_z = 10 \cdot C_P \cdot t^x \cdot S^y \cdot V^n \cdot K_P$$

 C_p = 300; n = - 0,15; x = 1,0; y = 0,75 – опр'єделен'ы по [4, табл. 22, с. 273]. Коэффициент K_p :

$$K_P = K_{MP} \, \cdot \, K_{\phi P} \, \cdot \, K_{\gamma P} \, \cdot \, K_{\lambda P} \, \cdot \, K_{rP}$$

$$K_{\text{Mp}} = \left(\frac{\sigma_{\text{B}}}{750}\right)^{\text{n}} = \left(\frac{980}{750}\right)^{0.75} = 1,22$$

 $K_{MP} = 1{,}22; \;\; K_{\phi P} = 0{,}89; \; K_{\gamma P} = 1{,}0; \;\; K_{\lambda P} = 1{,}0; \;\; K_{rP} = 0{,}93.$

$$K_P = K_{MP} \cdot K_{oP} \cdot K_{vP} \cdot K_{\lambda P} \cdot K_{rP} = 1,22 \cdot 0,89 \cdot 1,0 \cdot 1,0 \cdot 0,93 = 1,01.$$

Главная составляющая силы резания:

$$P_z=10 \cdot C_P \cdot t^x \cdot S^y \cdot V^n \cdot K_P = 10 \cdot 300 \cdot 2^1 \cdot 0,5^{0,75} \cdot 400^{-0,15} \cdot 1,01 = 1241 \text{ H}^t.$$

7. Мощность резания:

$$N = \frac{P_z \cdot V}{1020 \cdot 60} = \frac{418 \cdot 1241}{1020 \cdot 60} = 8,1 \text{ kBt.}$$

8. Мощность привода главного движения:

$$N_{\text{np'}} = \frac{N}{\eta} = \frac{8,1}{0,75} = 10,8 \text{ kBt}.$$

При условии, что к.п.д. привода нам неизвестно, примем худший вариант $\eta = 0.75.$

Проверка по мощности:

$$N \le N_{cT} \cdot \eta;$$
10.8<15

Переход 3. Расточить конусную поверхность 6 предварительно, выдержав размеры Ø49±0,31, Ø46,5, фаска 1х45°, конусность 1:10.

Глубина резания: t = 0.75 мм.

Подача по [4, табл. 15, с. 260] для данной глубины резания:

S = 0.1 mm/of

Скорость резания определяется по формуле:

$$V = \frac{C_{v}}{T^{m}t^{x}S^{y}}K_{v}$$

Период стойкости инструмента принимаем: Т=30 мин.

 $C_V = 350; m = 0.20; x = 0.15; y = 0.35$ — определены по [4, табл. 17, с. 269].

Коэффициент K_V:

$$K_V = K_{MV} \cdot K_{\Pi V} \cdot K_{UV},$$

$$K_{MV} = K_{\Gamma} \left(\frac{750}{\sigma_{B}}\right)^{Nv} = 1.0 \cdot \left(\frac{750}{980}\right)^{1} = 0.8$$

 $K_{MV} = 0.8$; $K_{\Pi V} = 0.9$; $K_{HV} = 2.7$.

$$K_V = 0.8 \cdot 0.9 \cdot 2.7 = 1.9.$$

Скорость резания:

$$V = \frac{350}{30^{0,20}0,75^{0,15}0,1^{0,35}}1,9 = 787 \text{ M/M}_{\text{M}}$$

Расчётное число оборотов шпинделя:

$$n = \frac{1000 \cdot V}{\pi \cdot d} = \frac{1000 \cdot 787}{3,14 \cdot 46,5} = 5392 \frac{o6}{MUH}.$$

Принимаем фактическое число оборотов, с учетом типа станка: $n_{\rm ct} = 3500 {\rm of/muh}.$

5. Фактическая скорость резания:

$$V = \frac{\pi \cdot d \cdot n}{1000} = \frac{3,14 \cdot 46,5 \cdot 3500}{1000} = 511 \frac{M}{MUH}.$$

6. Определяем главную составляющую силы резания по формуле:

$$P_z = 10 \cdot C_P \cdot t^x \cdot S^y \cdot V^n \cdot K_P$$

 C_p = 300; n = - 0,15; x = 1,0; y = 0,75 — опр'єделен'ы по [4, табл. 22, с.273]. Коэффициент K_p :

$$K_P = K_{MP} \cdot K_{\phi P} \cdot K_{\gamma P} \cdot K_{\lambda P} \cdot K_{rP}$$

$$K_{\text{Mp}} = \left(\frac{\sigma_{\text{B}}}{750}\right)^{\text{n}} = \left(\frac{980}{750}\right)^{0.75} = 1,22$$

 $K_{MP}=1{,}22; \ K_{\phi P}=0{,}89; \ K_{\gamma P}=1{,}0; \ K_{\lambda P}=1{,}0; \ K_{rP}=0{,}93.$

$$K_P = K_{MP} \, \cdot \, K_{\phi P} \, \cdot \, K_{\gamma P} \, \cdot \, K_{\lambda P} \, \cdot \, K_{rP} = 1,\!22 \, \cdot \, 0,\!89 \, \cdot \, 1,\!0 \, \cdot \, 1,\!0 \, \cdot \, 0,\!93 = 1,\!01.$$

Главная составляющая силы резания:

$$P_z = 10 \cdot C_P \cdot t^x \cdot S^y \cdot V^n \cdot K_P = 10 \cdot 300 \cdot 0.75^{-1} \cdot 0.1^{0.75} \cdot 511^{-0.15} \cdot 1.01 = -158 \text{ H}.$$

7. Мощность резания:

$$N = \frac{P_z \cdot V}{1020 \cdot 60} = \frac{511 \cdot 158}{1020 \cdot 60} = 1,3 \text{ kBt.}$$

8. Мощность привода главного движения:

$$N_{\text{np}} = \frac{N}{\eta} = \frac{1.3}{0.75} = 1.8 \text{kBT}.$$

При условии, что к.п.д. привода нам неизвестно, примем худший вариант $\eta = 0{,}75.$

Проверка по мощности:

Переход 4. Расточить конусную поверхность 6 окончательно, выдержав размеры Ø47,1, фаска 1х45°, конусность 1:10.

Глубина резания: t = 0.3 мм.

Подача по [4, табл. 15, с. 260] для данной глубины резания:

S = 0.1 mm/of

Скорость резания определяется по формуле:

$$V = \frac{C_v}{T^m t^x S^y} K_v$$

Период стойкости инструмента принимаем: T=30 мин.

 $C_V = 350; m = 0.20; x = 0.15; y = 0.35$ — определены по [4, табл. 17, с. 269].

Коэффициент K_V:

$$K_{V} = K_{MV} \cdot K_{\Pi V} \cdot K_{UV},$$

$$K_{MV} = K_{\Gamma} \left(\frac{750}{680}\right)^{Nv} = 1.0 \cdot \left(\frac{750}{980}\right)^{1} = 0.8$$

 $K_{MV} = 0.8$; $K_{\Pi V} = 0.9$; $K_{HV} = 2.7$.

$$K_V = 0.8 \cdot 0.9 \cdot 2.7 = 1.9.$$

Скорость резания:

$$V = \frac{350}{30^{0,20}0,3^{0,15}0,1^{0,35}}1,9 = 903 \text{ M/MUH}^{\text{H}}$$

Расчётное число оборотов шпинделя:

$$n = \frac{1000 \cdot V}{\pi \cdot d} = \frac{1000 \cdot 903}{3,14 \cdot 47,1} = 6108 \frac{\text{об}}{\text{мин}}.$$

Принимаем фактическое число оборотов, с учетом типа станка:

 $n_{cr} = 3500$ об/мин.

5. Фактическая скорость резания:

$$V = \frac{\pi \cdot d \cdot n}{1000} = \frac{3,14 \cdot 47,1 \cdot 3500}{1000} = 517 \frac{M}{MUH}$$

6. Определяем главную составляющую силы резания по формуле:

$$P_z=10\cdot C_P\cdot t^x\cdot S^y\cdot V^n\cdot K_P$$

 C_p = 300; n = - 0,15; x = 1,0; y = 0,75 – определены по [4, табл. 22, с. 273]. Коэффициент K_p :

$$K_P = K_{MP} \cdot K_{\phi P} \cdot K_{\gamma P} \cdot K_{\lambda P} \cdot K_{rP}$$

$$K_{\text{Mp}} = \left(\frac{\sigma_{\text{B}}}{750}\right)^{\text{n}} = \left(\frac{980}{750}\right)^{0.75} = 1.22$$

 $K_{MP} = 1,22; K_{\phi P} = 0,89; K_{\gamma P} = 1,0; K_{\lambda P} = 1,0; K_{rP} = 0,93.$

$$K_P = K_{MP} \cdot K_{\phi P} \cdot K_{\gamma P} \cdot K_{\lambda P} \cdot K_{rP} = 1,22 \cdot 0,89 \cdot 1,0 \cdot 1,0 \cdot 0,93 = 1,01.$$

Главная составляющая силы резания:

$$P_z = 10 \cdot C_P \cdot t^x \cdot S^y \cdot V^n \cdot K_P = 10 \cdot 300 \cdot 0,75^{-1} \cdot 0,1^{0.75} \cdot 511^{-0.15} \cdot 1,01 = =63 \text{ H}^{-1}.$$

7. Мощность резания:

$$N = \frac{P_z \cdot V}{1020 \cdot 60} = \frac{517 \cdot 63}{1020 \cdot 60} = 0,53 \text{ kBt.}$$

8. Мощность привода главного движения:

$$N_{\text{np}} = \frac{N}{\eta} = \frac{0.53}{0.75} = 0.71 \text{ kBt}.$$

При условии, что к.п.д. привода нам неизвестно, примем худший вариант $\eta = 0{,}75.$

Проверка по мощности:

$$N \leq N_{cT} \cdot \eta;$$

Сверлильная операция 020

Материал режущего инструмента выбираем в соответствии с рекомендациями – P6M5.

Переход 1. Сверлить 4 отверстия 7, выдерживая размеры Ø6,5 0,36 мм , Ø74±0,1мм, 18 $^{+0,43}$ мм

При сверлении глубина резания будет равна t = 0.5D = 6.5/2 = 3.25 мм.

Подачу определим по таблице 35 [4, с. 276]: S = 0.13 мм/об.

Скорость резания:

$$V = \frac{7,0.3,25^{0,4}}{90^{0,20}.0,3^{0,50}} 1,22 = 26,8 \frac{M}{MUH}.$$

Расчётное число оборотов шпинделя:

$$n = \frac{1000.26,8}{3,14.6,5} = 1315 \frac{\text{of}}{\text{MUH}}.$$

Принимаем фактическое число оборотов, с учетом типа станка:

 $n_{cr} = 1300$ об/мин.

5. Фактическая скорость резания:

$$V = \frac{3,14.6,5.1300}{1000} = 26,5 \frac{M}{MUH}$$
.

6. Главная составляющая силы резания:

$$P_{\rm o} = 10 \cdot 68 \cdot 6.5^{\, 1} \cdot 0.13^{\, 0.7} \cdot 1.22 = 1229 \text{H}.$$

$$M_{KP} = 10 \cdot 0.0345 \cdot 6.5^{2} \cdot 0.13^{0.8} \cdot 1.22 = 3.3 \text{ Hm}$$

7. Мощность резания:

$$N = \frac{M_{\text{kp'}} \cdot \Pi}{9750} = \frac{3.3 \cdot 1300}{9750} = 0.4 \text{ kBt}.$$

8. Мощность привода главного движения:

$$N_{\text{np}} = \frac{0.4}{0.75} = 0.59 \text{kB}_{\text{T}}.$$

При условии, что к.п.д. привода нам неизвестно, примем худший вариант $\eta = 0.75.$

Проверка по мощности:

Переход 2. Нарезать резьбу в 4х отверстиях 7, выдерживая размеры М8-7H. 15^{+0,43}мм

- 1. Подача: s = P = 1 мм/об, где P шаг резьбы.
- 2. Скорость резания, формула (8):

$$V = \frac{C_V \cdot i^x}{T^m \cdot S^y} \cdot K_V = \frac{244 \cdot 10^{0.23}}{70^{0.2} \cdot 1.0^{0.3}} \cdot 0.8 = 138 \text{ м/мин.}$$

3. Расчётное число оборотов шпинделя:

$$n = \frac{1000 \cdot V}{\pi \cdot d} = \frac{1000 \cdot 138}{3.14 \cdot 8} = 5494 \frac{ob}{MuH^3}$$

Принимаем фактическое число оборотов, с учетом типа станка: $n_{\text{ct}} = 1000 \text{ об/мин}.$

4. Фактическая скорость резания:

$$V = \frac{\pi \cdot d \cdot n}{1000} = \frac{3,14 \cdot 8 \cdot 1000}{1000} = 25,1 \frac{M}{MUH'}$$

5. Главная составляющая силы резания:

$$P_z = \frac{10C_p P^y}{i^n} K_p = \frac{10.148 \cdot 1^{1.7}}{10^{0.71}} 1,22 = 627 \text{ H}.$$

6. Мощность резания:

$$N = \frac{P_z \cdot V}{1020.60} = \frac{627.25,1}{1020.60} = 0,25 \text{kBt}.$$

7. Мощность привода главного движения:

$$N_{\text{np}} = \frac{N}{\eta} = \frac{0.25}{0.75} = 0.34 \text{ kBt}.$$

Проверка по мощности:

$$N \leq N_{cT} \cdot \eta;$$

Протяжная операция 025.

1.Определяем осевую силу резания.

$$P = q_0 \sum_{p} l_p, \tag{21}$$

где q_0 -осевая сила резания, кгс, действующая на 1мм длины режущей кромки; \sum lp - суммарная длина режущих кромок зубьев, одновременно участвующих в работе, мм.

Определяем q_0 для $s_0 = 0,1$ мм и переднего угла $\lambda = 180$: $q_0 = 23,6$ кг/мм.

Учитываем поправочные коэффициенты на осевую силу резания:

Определяем ∑Ір для цилиндрических отверстий.

Для протяжек переменного резания.

$$\sum l_p = \pi B \frac{z_p}{z_c}, \qquad (22)$$

где В =14 мм- ширина зубьев протяжки;

z_p - число зубьев, одновременно участвующих в работе;

z_c- число зубьев в секции;

$$z_{p} = \frac{1}{t_{0}} + 1, \tag{23}$$

Где 1- длина протягиваемой поверхности; t_0 - шаг черновых зубьев;

$$Z_p = \frac{37.5}{12} + 1 = 4.12$$

Результат округляется до ближайшего меньшего целого числа, т.е.:

$$z_p = 6; z_c = 2;$$

$$\sum l_p = \pi B \frac{z_p}{z_c} = 3,14 \cdot 14 \frac{6}{2} = 131,9$$
mm.

Осевая сила резания

$$P=q_0\sum L_p=23,6\cdot 131,9=3112H,$$
 (24)

Переведем P в кгс: P = 3112/9,81 = 317кгс.

2. Проверяем, достаточна ли тяговая сила станка.

Протягивание возможно при P<Q, где Q- тяговая сила станка. У станка 7Б520 Q = 10 000 кгс. Следовательно, протягивание возможно (317<10000).

3 Назначаем скорость резания:

Для протяжек, 2-й группы обрабатываемости, 2-й группы качества протягиваемой поверхности и массового производства принята $\nu = 7 \text{м/мин}$. Поправочный коэффициент на скорость резания $k_{\nu_{\text{и}}} = 1$, так как рекомендуется протяжка из быстрорежущей стали P18.

Корректируем найденную скорость резания по паспортным данным станка;

v=7 м/мин может быть установлена на станке 7Б520, где осуществляется бесступенчатое регулирование скорости в пределах 1,5-11,5 м/мин.

Определяем скорость резания, допускаемую мощностью электродвигателя стан'ка:

$$V_{\text{доп}} = \frac{60 \cdot 102 N_g \eta}{P}, \qquad (25)$$

По паспортным данным станка 7Б520 мощность его электродвигателя Nд = 17 кВт, КПД 0,85;

$$v_{\text{доп}} = \frac{60 \cdot 102 \cdot 17 \cdot 0.85}{317} = 279 \text{м/мин}.$$

Таким образом, выполняется условие $\upsilon \le \upsilon_{\text{поп}}$ (7<279).

Следовательно, принимаем скорость резания v=7 м /мин (~ 0.12 м/с).

4. Находим стойкость протяжки.

Стойкость протяжек определяется в метрах суммарной длины протянутой поверхности до затупления протяжки. Значения стойкостей пр'иведены в зависимости от скорости резания и подачи на зуб.

Для 2го класса точности для детали из серого чугуна и подаче черновых зубьев до $S_0 = 0.25\,$ мм/зуб на сторону стойкость равна 70м. При длине протягивание величину табличной стойкости необходимо увеличить на 20%, поэтому стойкость протяжки T=84м.

Внутришлифовальная операция 030

Переход 1. Шлифовать поверхность 3, выдержав размер Ø58H7 однократно

Выбираем шлифовальный круг на основе электрокорунда белого:

AW 20x10 25A 40 CM2 6 K5 A 35 m/c

где: AW -форма круга;

20х10 – параметры круга (наружный диаметр, высота);

25А – марка абразивного зерна (электрокорунд белый);

40 – зернистость круга;

СМ2 – твёрдость круга (среднемягкий);

6 – структура круга;

К5 – марка связки (керамическая 5);

А – класс точности;

35м/с – рабочая окружная скорость

1. Общая глубина р'езан'ия $t = \frac{D}{2} = \frac{58,5-58,3}{2} = 0,1$ мм.

Количество рабочих ходов -5.

2. Глубина резания: $t_{1,2,3,4,5}$ =0,02 мм,

3.
$$S_{1,2,3,4,5} = 0.45 \frac{M}{MH}$$
 [3, табл. 55, стр. 301]

4. Расчет числа оборотов заготовки и скорости резания фактической:

$$n = \frac{1000 \cdot V_3}{\pi \cdot d} = \frac{1000 \cdot 35}{3,14 \cdot 58,5} = 192 \frac{\text{об}}{\text{мин}};$$

$$V_3 = \frac{\pi \cdot d \cdot n}{1000} = \frac{3,14 \cdot 58,5 \cdot 192}{1000} = 35 \frac{\text{м}}{\text{мин}}.$$

5. Расчет числа оборотов шлифовального круга и скорости резания фактической:

$$n = \frac{1000 \cdot V_{K}}{\pi \cdot d} = \frac{1000 \cdot 35}{3,14 \cdot 40} = 280 \frac{\text{of}}{\text{MUH}};$$

$$V_{K} = \frac{\pi \cdot d \cdot n}{1000} = \frac{3,14 \cdot 40 \cdot 280}{1000} = 35 \frac{M}{\text{MUH}};$$

Внутришлифовальная операция 035

Переход 1. Шлифовать поверхность 6, выдержав размер Ø47,3H7 однократно.

Выбираем шлифовальный круг на основе электрокорунда белого:

AW 20x10 25A 40 CM2 6 K5 A 35 m/c

где: AW -форма круга;

20х10 – параметры круга (наружный диаметр, высота);

25А – марка абразивного зерна (электрокорунд белый);

40 – зернистость круга;

СМ2 – твёрдость круга (среднемягкий);

6 – структура круга;

К5 – мар'ка связки (керамическая 5);

А – класс точности;

35м/с – рабочая окружная скорость

1. Общая глубина резания $t = \frac{D}{2} = \frac{47,5-47,3}{2} = 0,1$ мм.

Количество рабочих ходов -5.

Глубина резания: $t_{1,2,3,4,5}$ =0,02 мм,

2. Подача для данной глубины резания:

$$S_{1,2,3,4,5,} = 0,45 \frac{M}{MUH}$$
 [3, табл. 55, стр. 301]

3. Выбираем скорость резания по источнику:

$$V_{\rm K} = 35 \frac{\rm M}{\rm c}$$
, $V_{\rm 3} = 35 \frac{\rm M}{\rm мин}$ [3, табл. 55, стр. 301]

4. Расчет числа оборотов заготовки и скорости резания фактической:

$$n = \frac{1000 \cdot V_3}{\pi \cdot d} = \frac{1000 \cdot 35}{3,14 \cdot 47,3} = 235 \frac{\text{об}}{\text{мин}};$$

$$V_3 = \frac{\pi \cdot d \cdot n}{1000} = \frac{3,14 \cdot 47,3 \cdot 235}{1000} = 35 \frac{\text{м}}{\text{мин}}.$$

5. Р'асчет числа оборотов шлифовальн'ого кр'уга и скорости резания фактической:

$$n = \frac{1000 \cdot V_{K}}{\pi \cdot d} = \frac{1000 \cdot 35}{3,14 \cdot 40} = 280 \frac{\text{o}}{\text{Mu}};$$

$$V_{K} = \frac{\pi \cdot d \cdot n}{1000} = \frac{3,14 \cdot 40 \cdot 280}{1000} = 35 \frac{\text{M}}{\text{Mu}};$$

1.7. Выбор средств технологического оснащения

Выбор станков с ЧПУ конфигурацией заготовки, имеющей в конструкции элементы, для обработки которых необходимо использован ие циклов обработки, что наиболее целесообразно реализовать на станках с ЧПУ.

Ленточнопильный станок Beka-Mak BMSY 440 DGH

Таблица 1.13 - Основные данные:

Наибольший диаметр отрезаемой заготовки круглого сечения (угол реза 90 град), мм:	440
Параметры инструмента Ножовочное полотно	Межцентровое расстояние 450; 500мм.
Наибольший диаметр отрезаемой заготовки круглого сечения (угол реза 45 град), мм:	410
Наибольший размер отрезаемой заготовки квадратного сечения (угол реза 90 град), мм	440
Наибольший размер отрезаемой заготовки прямоугольного сечения (угол реза 45 град), мм	410
Скорость ленточнопильного полотна, м/мин	20100
Длина пильного полотна, мм	5200*34*1,1
Мощность привода главного движения, кВт	3,0
Мощность гидронасоса, кВт	0,55
Привод подачи СОЖ, кВт	0,12
Высота рабочей поверхности, мм	860
Габаритные размеры, мм	1870*1210*2800
Масса, кг	1640

Токарный станок с ЧПУ Модель:DMC DL 6G

Таблица 1.14- Основные данные:

Макс. диаметр заготовки устанавливаемый над станиной, мм	Ø490
Макс. диаметр точения, мм	Ø170
Макс. длина точения, мм	240
Макс. диаметр обрабатываемого прутка, мм	Ø44
Частота вращения шпинделя, об/мин	6000
Присоединительный торец шпинделя, ASA	A2-5
Макс. крутящий момент, кгс*м	11.3
Привод шпинделя	ремённый
Размер патрона, мм	Ø150 (6'')
Тип направляющих	ласточкин хвост
Мощность двигателя шпинделя, кВт	11/15
Длина × ширина, мм	2050x1420
Высота, мм	1535
Вес, кг	2500

Универсальный вертикально-сверлильный станок Модель: 2С50

Таблица 1.15- Основные данные:

Диапазон сверления в стали, мм	3-50 (60)*		
Диапазон нарезаемой резьбы	M3-M33		
Размер рабочей поверхности подъёмного стола, мм	500x500		
Количество Т-образных пазов	3		
Ширина Т-образного паза	18H12		
Количество частот вращения шпинделя	12 (15)*		
Диапазон механических подач, мм/об	0,1; 0,14; 0,2; 0,28;		
	0,4; 0,56; 0,8; 1,12;		
	1,6		
Мощность двигателя главного движения, кВт	4		
Установочное перемещение сверлильной головки, мм.	170		
Наибольшая масса заготовки, кг	600		
Наибольшая высота заготовки, мм	600		
Масса станка, кг (без упаковки)	1200		

Круглошлифовальный станок с ЧПУ R-grind 1040 CNC

Характеристики станка:

Высота центров – 100 мм.

Диаметр шлифования над столом – Ø 200 мм.

Расстояние между центрами – 400 мм.

Макс. диаметр шлифования – Ø 180 мм.

Макс. вес заготовки в центрах - 60 кг.

Шлифовальный круг:

Размеры шлифовального круга - Ø 305 \times 38 \times Ø 127 мм.

Линейная скорость перемещения — 30 м/сек.

Частота вращения круга – 2085 об/мин.

Шлифовальная бабка:

Ускоренная подача – 6 м/мин.

Минимальный вводный инкремент - 0,001(0,0001) мм.

Внутреннее шлифование - Ручное управление

Стол:

Ускоренная подача – 6 м/мин.

Мин вводный инкремент - 0,001(0,0001) мм.

Угол поворота -3°/10° град.

Задняя бабка:

Конус - МК3

Перемещение пиноли задней бабки – 20 мм.

Горизонтально-протяжной станок 7Б520

Таблица 1.16 – Технические характеристики

Номинальное тяговое усилие, кН(тс)	100(10)
Наибольшая длина хода рабочих салазок, мм	1250
Наибольшая настроенная длина хода рабочих салазок, мм	1200
Расстояние от станины до оси отверстия под планшайбу в	250
опорной плите, мм	
Максимальный наружный диаметр обрабатываемой де-	600
тали, мм	
Размеры рабочей поверхности передней опорной плиты	450 x 450
станка, мм	
Диаметр отверстия под планшайбу в опорной плите, мм	160
Диаметр отверстия в планшайбе, мм	125
Диаметр планшайбы, мм	280
Скорость рабочего хода, м/мин	1,511,5
Регулирование скорости рабочего хода	бесступенчатое
Рекомендуемая скорость обратного хода, м/мин	2025
Рекомендуемая скорость подвода и отвода протяжки,	15
м/мин	
Электрооборудование. Привод	
Количество электродвигателей на станке	
Электродвигатель привода главного движения, кВт	18,5
Электродвигатель привода гидронасоса гидростанции, кВт	
Электродвигатель насоса охлаждения, кВт	
Суммарная мощность электродвигателей, установленных	
на станке, кВт	
Габариты и масса станка	
Габариты станка (длина ширина высота), мм	6340 x 2090 x
	1910
Масса станка, кг	5200

1.8 Нормирование технологических операция

1.8.1 Расчет основного времени

Основное время определяем по формуле:

$$t_0 = \frac{L \cdot i}{S \cdot n}$$
,мин (26)

где L – расчётная длина обработки, мм;

і - число рабочих ходов;

n – частота вращения шпинделя, об/мин;

S – подача, мм/об (мм/мин).

Расчётная длина обработки:

$$L = l + l_{Bp} + l_{\Pi ep} + l_{\Pi o \Pi B} L = l + l_{Bp} + l_{1} + l_{2},$$
(27)

где l – размер детали на данном переходе, мм;

 $l_{\mathrm{Bp}'}$ - величина врезания инструмента, мм;

 $l_{
m nodb}$ – величина подвода инструмента, мм.

 $l_{\text{пер}'}$ – величина перебега инструмента, мм;

Тогда окончательная формула для определения основного времени:

$$t_o = \frac{(l+l_{Bp}+l_{\Pi ep}+l_{\Pi O J B}) \cdot i}{S \cdot n} , \qquad (28)$$

Токарная операция 10:

Переход 1:

$$t_o = \frac{(1 + l_{Bp} + l_{Пер} + l_{ПодВ}) \cdot i}{S \cdot n} = \frac{(47, 5 + 2 + 1 + 1) \cdot 1}{0, 5 \cdot 1400} = 0,07$$
мин

Переход 2:

$$t_o = \frac{(l + l_{Bp} + l_{пер} + l_{подв}) \cdot i}{S \cdot n} = \frac{(1, 5 + 2 + 1 + 1) \cdot 1}{0, 5 \cdot 1500} = 0,01$$
мин

Переход 3:

$$t_o = \frac{(1+l_{Bp}+l_{Пер}+l_{ПодВ})\cdot i}{S\cdot n} = \frac{(21+2+1+1)\cdot 3}{0,1\cdot 3500} = 0,21$$
мин

Переход 4:

$$t_o = \frac{(1+l_{Bp}+l_{Пер}+l_{ПОДВ})\cdot i}{S\cdot n} = \frac{(21+2+1+1)\cdot 2}{0,1\cdot 3500} = 0,14$$
мин

Суммарное основное время токарной операции 10:

$$\sum t_{o}$$
 =0,07+0,01+0,21+0,14=0,44мин

Токарная операция 15:

Переход 1:

$$t_o = \frac{(1+l_{Bp}+l_{пеp}+l_{подв})\cdot i}{S\cdot n} = \frac{(47,5+2+1+1)\cdot 1}{0,5\cdot 1400} = 0,07$$
мин

Переход 2:

$$t_o = \frac{(1 + l_{\text{вр}} + l_{\text{пер}} + l_{\text{подв}}) \cdot i}{S \cdot n} = \frac{(58, 5 + 2 + 1 + 1) \cdot 1}{0, 5 \cdot 1400} = 0,09 \text{мин}$$

Переход 3:

$$t_o = \frac{(1+l_{Bp}+l_{пеp}+l_{подв})\cdot i}{S\cdot n} = \frac{(37,5+2+1+1)\cdot 1}{0,1\cdot 3500} = 0,12$$
мин

Переход 4:

$$t_o = \frac{(1+l_{Bp}+l_{Пер}+l_{ПОДВ})\cdot i}{S\cdot n} = \frac{(37,5+2+1+1)\cdot 1}{0,1\cdot 3500} = 0,12$$
мин

Суммарное основное время токарной операции 15:

$$\sum t_{o} = 0.07 + 0.09 + 0.12 + 0.12 = 0.4$$
мин

Сверлильная операция 20:

Переход 1:

$$t_o = \frac{(1+l_{Bp}+l_{пеp}+l_{подВ})\cdot i}{S\cdot n} = \frac{(18+2+1+1)\cdot 4}{0,13\cdot 1300} = 0,52$$
мин

Переход 2:

$$t_o = \frac{(1+l_{Bp}+l_{пеp}+l_{подв})\cdot i}{S\cdot n} = \frac{(15+2+1+1)\cdot}{1\cdot 1000} = 0,08$$
мин

Суммарное основное время сверлильной операции 20:

$$\sum t_{o}$$
 =0,52+0,08=0,6мин

Протяжная операция 025

Основное время определяется по формуле:

$$T_{o} = \frac{L_{px}}{1000vq} k_{1} l, \tag{29}$$

Где q – число одновременно обрабатываемых заготовок;

k₁- коэффициент, учитывающий обратный ускоренный ход;

1 – число проходов.

Длина рабочего хода протяжки

$$L_{p,x} = l_n + l + l_{gon},$$
 (30)

Длина рабочей части протяжки $l_n = L-l_1$. L=450мм, $l_1=132$ мм,

1 = 65мм. Тогда $l_{\text{п}} = 450 - 132 = 318$ мм.

Пер'ебег $l_{\text{доп}} = 30 \div 50$ мм; принимаем $l_{\text{доп}} = 50$ мм.

Таким образом, $L_{p.x} = 318+65+50 = 433$ мм.

Коэффициент

$$K_1 = 1 + \frac{v}{v_{0x}},$$
 (31)

У станка 7Б520 скорость обратного хода $\upsilon_{0.x}$ =20 м/мин;

$$K_1 = 1 + \frac{7}{20} = 1,35.$$

По условию обрабатывается одна заготовка, т.е. q=1; число проходов l=1

$$T_o = \frac{132}{1000 \cdot 7 \cdot 1} 1,35 \cdot 1 = 0,03$$
мин.

Внутришлифовальная операция 30:

$$t_o = \frac{(1+l_{BP}+l_{\Pi eP}+l_{\Pi O J B}) \cdot i}{S \cdot n} = \frac{(21+3+1+1) \cdot 5}{0,45 \cdot 280} = 1,03$$
мин

Внутришлифовальная операция 35:

$$t_{o} = \frac{(1 + l_{\text{вр}} + l_{\text{пер}} + l_{\text{подв}}) \cdot i}{S \cdot n} = \frac{(37, 5 + 3 + 1 + 1) \cdot 5}{0, 45 \cdot 280} = 1,69 \text{мин}$$

1.8.2 Определение норм вспомогательного времени для каждой операции

Для определения норм вспомогательного времени воспользуемся имеющимися рекомендациями [8, стр. 38].

Вспомогательное время:

$$t_{BC\Pi} = t_{VCT} + t_{3.0} + t_{V\Pi} + t_{H3M}, \tag{32}$$

где $t_{
m ycr}$ — время на установку и сн'ятие детали, мин;

 $t_{3.0}$ – время на закрепление и открепление детали, мин';

 $t_{
m yn}$ – время на приемы управления, мин;

 $t_{\mbox{\tiny H3M}}$ – время на измерение детали, мин.

Токарная операция 10:

$$t_{\text{всп}} = t_{\text{уст}} + t_{\text{упр}} + t_{\text{пер}} + t_{\text{изм}} + t_{\text{с.и}} =$$

$$= 0.55 + 0.2 + 0.5 + 0.18 + 0.1 * 4 = 1.83 \text{ мин}.$$

Токарная операция 15:

$$t_{\text{всп}} = t_{\text{уст}} + t_{\text{упр'}} + t_{\text{пер'}} + t_{\text{изм}} + t_{\text{с.и}} =$$

$$= 0.55 + 0.2 + 0.5 + 0.18 + 0.1*4 = 1.83 \text{ мин'}.$$

Сверлильная операция 20:

$$t_{\text{всп}} = t_{\text{уст}} + t_{\text{упр'}} + t_{\text{пер'}} + t_{\text{изм}} + t_{\text{с.и}} =$$

$$= 0.45 + 0.2 + 0.3 + 0.15 + 0.1 * 2 = 1.3 \text{ мин'}.$$

Протяжная операция 25:

$$t_{\text{всп}} = t_{\text{уст}} + t_{\text{упр'}} + t_{\text{пер'}} + t_{\text{изм}} + t_{\text{с.и}} =$$

$$= 0,45 + 0,4 + 0,4 + 0,3 + 0,1 = 1,65 \text{ мин'}.$$

Внутришлифовальная операция 30:

$$t_{\text{всп}} = t_{\text{уст}} + t_{\text{упр'}} + t_{\text{пер'}} + t_{\text{изм}} + t_{\text{с.и}} =$$

$$= 0,45 + 0,4 + 0,4 + 0,3 + 0,1 = 1,65 \text{ мин'}.$$

Внутришлифовальная операция 30:

$$t_{\text{всп}} = t_{\text{уст}} + t_{\text{упр}} + t_{\text{пер}} + t_{\text{изм}} + t_{\text{с.и}} =$$

$$= 0.45 + 0.4 + 0.4 + 0.3 + 0.1 = 1.65 \text{ мин}.$$

1.8.3 Определение времени на обслуживание рабочего места

Время на обслуживание рабочего места $t_{\text{обс}}$, мин определяется по фор'муле:

$$t_{\text{ofc}} = \alpha \cdot t_{\text{off}},\tag{33}$$

Где α – норматив времени на обслуживание рабочего места,

 $t_{\text{оп}}$ – оперативное время, мин.

$$t_{\text{оп}} = t_{\text{всп}} + t_{\text{осн}} \tag{34}$$

Токарная операция 10:

$$t_{\text{обс}} = \alpha \cdot t_{\text{оп}} = 0.06 \cdot (1.83 + 0.44) = 0.14$$
 мин

Токарная операция 15:

$$t_{\text{обс}} = \alpha \cdot t_{\text{оп}} = 0.06 \cdot (1.83 + 0.4) = 0.13$$
 мин

Сверлильная операция 020:

$$t_{\text{обс}} = \alpha \cdot t_{\text{оп}} = 0.06 \cdot (1.3 + 0.6) = 0.11$$
 мин

Протяжная операция 025:

$$t_{\text{обc}} = \alpha \cdot t_{\text{оп}} = 0.06 \cdot (1.65 + 0.03) = 0.1$$
 мин

Внутришлифовальная операция 030:

$$t_{\text{обс}} = \alpha \cdot t_{\text{оп}} = 0.06 \cdot (1.65 + 1.03) = 0.16$$
 мин

Внутришлифовальная операция 035:

$$t_{\text{обс}} = \alpha \cdot t_{\text{оп}} = 0.06 \cdot (1.65 + 1.69) = 0.2$$
 мин

1.8.4 Расчет времени перерывов на отдых и личные надобности

Времени перерывов на отдых и личные надобности $t_{\text{отд}}$, мин определяются по формуле:

$$\mathbf{t}_{\text{отд}} = \Pi_{\text{отд}} \cdot \mathbf{t}_{\text{оп}}, \tag{35}$$

Где $\Pi_{\text{отд}}$ – норматив времени на отдых.

Токарная операция 10:

$$t_{\text{отд}} = \Pi_{\text{отд}} \cdot t_{\text{оп}} = 0,05 \cdot (1,83 + 0,44) = 0,11$$
 мин

Токарная операция 15:

$$t_{\text{отд}} = \Pi_{\text{отд}} \cdot t_{\text{оп}} = 0,05 \cdot (1,83 + 0,4) = 0,11$$
 мин

Сверлильная операция 020:

$$t_{\text{отд}} = \Pi_{\text{отд}} \cdot t_{\text{оп}} = 0,05 \cdot (1,3+0,6) = 0,09$$
 мин

Протяжная операция 025:

$$t_{\text{отл}} = \Pi_{\text{отл}} \cdot t_{\text{оп}} = 0.05 \cdot (1.65 + 0.03) = 0.08$$
 мин

Внутришлифовальная операция 030:

$$t_{\text{отл}} = \Pi_{\text{отл}} \cdot t_{\text{оп}} = 0.05 \cdot (1.65 + 1.03) = 0.13$$
 мин

Внутришлифовальная операция 035:

$$t_{\text{отд}} = \Pi_{\text{отд}} \cdot t_{\text{оп}} = 0.05 \cdot (1.65 + 1.69) = 0.17$$
 мин

1.8.5 Расчет штучного времени

Штучное время $t_{\text{шт.}}$, мин определяется по формуле:

$$t_{\text{IIIT.}} = t_{\text{OCH}} + t_{\text{BCH}} + t_{\text{OGC}} + t_{\text{OTJ}}, \tag{36}$$

Токарная операция 10:

$$t_{\text{иит.}} = t_{\text{осн}} + t_{\text{всп}} + t_{\text{обс}} + t_{\text{отд}} = 1,83 + 0,44 + 0,14 + 0,11 = 2,52$$
 мин

Токарная операция 15:

$$t_{\text{IIIT.}} = t_{\text{осн}} + t_{\text{всп}} + t_{\text{обс}} + t_{\text{отд}} = 0,4 + 1,83 + 0,13 + 0,11 = 2,47$$
 мин

Сверлильная операция 020:

$$t_{\text{IIIT.}} = t_{\text{осн}} + t_{\text{всп}} + t_{\text{обс}} + t_{\text{отд}} = 0,6 + 1,3 + 0,11 + 0,09 = 2,11$$
 мин

Протяжная операция 025:

$$t_{\text{IIIT.}} = t_{\text{осн}} + t_{\text{всп}} + t_{\text{обс}} + t_{\text{отд}} = 0,03 + 1,65 + 0,1 + 0,08 = 1,86$$
 мин

Внутришлифовальная операция 030:

$$t_{\text{пит}} = t_{\text{осн}} + t_{\text{всп}} + t_{\text{обс}} + t_{\text{отл}} = 1,65 + 1,06 + 0,16 + 0,13 = 2,97$$
 мин

Внутришлифовальная операция 035:

$$t_{\text{IIIT.}} = t_{\text{осн}} + t_{\text{всп}} + t_{\text{обс}} + t_{\text{отд}} = 1,69 + 165 + 0,2 + 0,17 = 3,71$$
 мин

1.8.6 Расчет штучно-калькуляционного времени

Штучно-калькуляционное время операции определяется как:

$$t_{\text{IIIT.K.}} = t_{\text{IIIT.}} + \frac{t_{\text{II3}}}{N},$$
 (37)

Подготовительно-заключительное время:

$$t_{113}^1 = 23$$
 мин;

$$t_{\text{пз}}^2 = 23$$
 мин;

$$t_{\Pi 3}^3 = 14$$
 мин;
 $t_{\Pi 3}^4 = 14$ мин.
 $t_{\Pi 3}^5 = 14$ мин
 $t_{\Pi 3}^6 = 14$ мин

Тогда величину штучно-калькуляционного времени по формуле определим как:

$$t_{\text{шт.к.}}^{1} = t_{\text{шт.}}^{10} + \frac{t_{\text{пз}}^{10}}{N} = 2,52 + \frac{23}{10000} = 2,519 \text{мин};$$

$$t_{\text{шт.к.}}^{2} = t_{\text{шт.}}^{15} + \frac{t_{\text{пз}}^{15}}{N} = 2,47 + \frac{23}{10000} = 2,477 \text{ мин};$$

$$t_{\text{шт.к.}}^{3} = t_{\text{шт.}}^{20} + \frac{t_{\text{пз}}^{20}}{N} = 2,11 + \frac{14}{10000} = 2,107 \text{ мин};$$

$$t_{\text{шт.к.}}^{4} = t_{\text{шт.}}^{25} + \frac{t_{\text{пз}}^{25}}{N} = 1,86 + \frac{14}{10000} = 1,867 \text{ мин};$$

$$t_{\text{шт.к.}}^{5} = t_{\text{шт.}}^{30} + \frac{t_{\text{пз}}^{30}}{N} = 2,97 + \frac{14}{10000} = 2,976 \text{ мин};$$

$$t_{\text{шт.к.}}^{6} = t_{\text{шт.}}^{35} + \frac{t_{\text{пз}}^{35}}{N} = 3,71 + \frac{14}{10000} = 3,71 \text{ мин}.$$

2. КОНСТРУКТОРСКИЙ РАЗДЕЛ

2.1 Анализ исходных данных

Спроектируем специальное зажимное приспособление для сверлильной операции технологического процесса изготовления детали «Полумуфта двигателя». Разработано техническое задание на проектирование специального приспособления, которое приведено в таблице 2.1

Таблица 2.1

Раздел	Содержание раздела
Наименование	Разработанное специальное механизированное
и область	приспособление с пневмозажимом для детали «Полумуфта
применения	двигателя» на универсальном вертикально-сверлильном
	станке модели 2С50
Основание для	Операционная карта технологического процесса
разработки	механической обработки детали «Полумуфта двигателя».
Цель и	Проектируемое приспособление должно обеспечить такие
назначение	параметры как характеристики по точности, установки и
разработки	закрепления заготовки заданной детали «Полумуфта
	двигателя».
Технические	<u>Тип производства</u> – среднесерийный
(тактико-	Программа выпуска - 10000 шт. в год.
технические)	приспособление должно иметь размеры соответствующие
требования	установочным и присоединительным размерам выбранного
	станка 2С50
Документация,	Конструкторская часть пояснительной записки дипломного
подлежащая	проекта, сборочный чертеж приспособления и спецификация
разработке	к нему.

Материал обрабатываемой детали – сталь 40X ГОСТ 4543-2016. Переход для расчета – сверление 4х отверстий Ø6,5мм. Сила резания 1229H, крутящий момент 3,3Hм. Диаметр закрепленной части Ø57,8H10мм.

2.2 Разработка принципиальной расчетной схемы и компоновка приспособления

Для закрепления детали применим тарельчатую пружину. Погрешность установки при использовании тарельчатой оправки наименьшая, равная согласно таблицы 12 [4], равна 20мкм.

Оправки с тарельчатыми пружинами обеспечивают прочное закрепление по внутренней или наружной поверхности и точное центрирование в пределах 0,01-0,02мм. Тарельчатые пружины изготавливаются по ГОСТ 3057-90. Основными материалами является легированные стали марок 60С2А или 65Г, а также в зависимости от условий эксплуатации — титановые или никелевые сплавы.

Расчетная схема для определения усилия закрепления представлена на рисунке 9

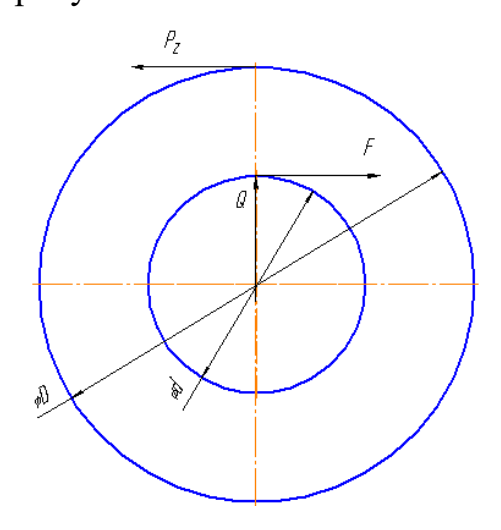


Рисунок 9 - Расчетная схема для определения усилия закрепления Согласно схеме рисунка 9 , усилие закрепления определим из уравнения:

$$P_z k \frac{D}{2} = F_{TP} \frac{d_{OTB}}{2} = Qf \frac{d_{OTB}}{2},$$
 (38)

$$Q = \frac{P_z kD}{f d_{OTB}}, \tag{39}$$

где D — наибольший диаметр заготовки, $d_{\rm orb}$ — диаметр, по которому проводим закрепление, k - поправочный коэффициент запаса. Принимаем k=2,5, f — коэффициент трения f = 0,15.

Определим усилие закрепления:

$$Q = \frac{1229 \cdot 2, 5 \cdot 91}{0,15 \cdot 57,8} = 32249H$$

Определим усилие на приводе согласно рис. 10, как:

$$W = 1{,}33Qtg\beta, \tag{40}$$

Для диаметра отверстия равном 110 мм, угол $\beta = 7.2^{\circ}$.

$$W = 1,33.32249 \text{ tg} 7^{\circ} = 5267 \text{H}^{1}$$

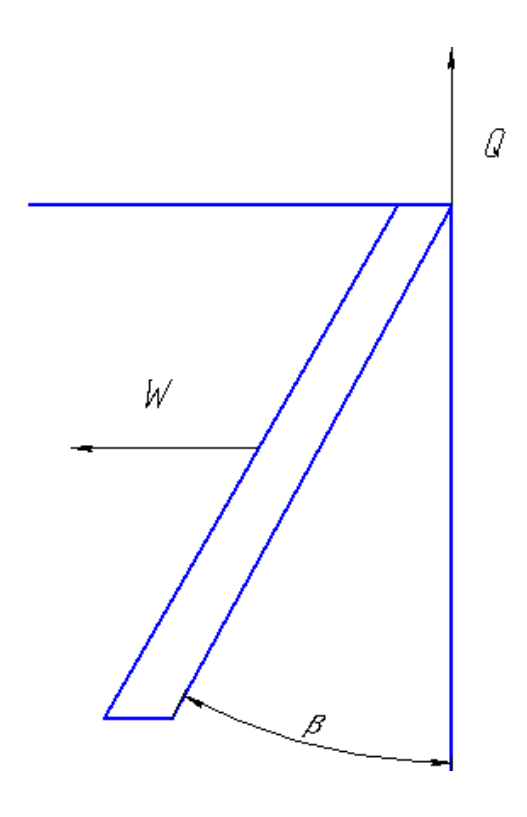


Рисунок 10 - Схема расчет усилия на приводе

По ГОСТ 3057-90 выбираем тарельчатую пружину №115, усилие привода оправки составляет 12500H. Тогда определим количество тарельчатых пружин зависимостью:

$$N = W/W_o, (41)$$

N = 5267/12500 = 0,4

Принимаем количество тарельчатых пружин равном 1. Тогда фактическое усилие на приводе вычисляется:

$$W_{\Phi} = W_{o}N, \tag{42}$$

 $W_{\Phi} = 12500H$

Для определения исходного усилия воспользуемся уравнением:

$$\mathbf{W}_{\Phi} = \mathbf{i} \mathbf{W}_{\mathsf{H}},\tag{43}$$

где і – коэффициент усиления, равном 1.

$$W_{\phi} = 12500 \text{ H}$$

2.3 Расчет привода приспособления

После определения исходного усилия на приводе рассчитывают параметры привода. При расчете параметров привода определяется диаметр цилиндра и диаметр штока. В нашем случае используем пневмоцилиндр.

Диаметр цилиндра определим согласно формуле:

$$W_{\text{np}} = \pi/4D^2 p\eta, \tag{44}$$

где

$$D = \sqrt{\frac{4W_{np}}{\pi p \eta}} = \sqrt{\frac{4.12500}{3,14.2,5.0,9}} = 84_{MM}$$

 $W_{\text{пр}}$ –усилие на приводе,

p — давление в гидросети, p = 2,5 Мпа,

 η - КПД, η = 0,9.

Принимаем диаметр цилиндра согласно ГОСТ 15608-81 равным 100мм.

Диаметр штока определяется по следующей зависимости

 $d_{\text{шт}} = 0,25$ Dц, подставив все необходимые значения, получаем:

$$d_{\text{IIIT}} = 0.25*100 = 25 \text{ mm}.$$

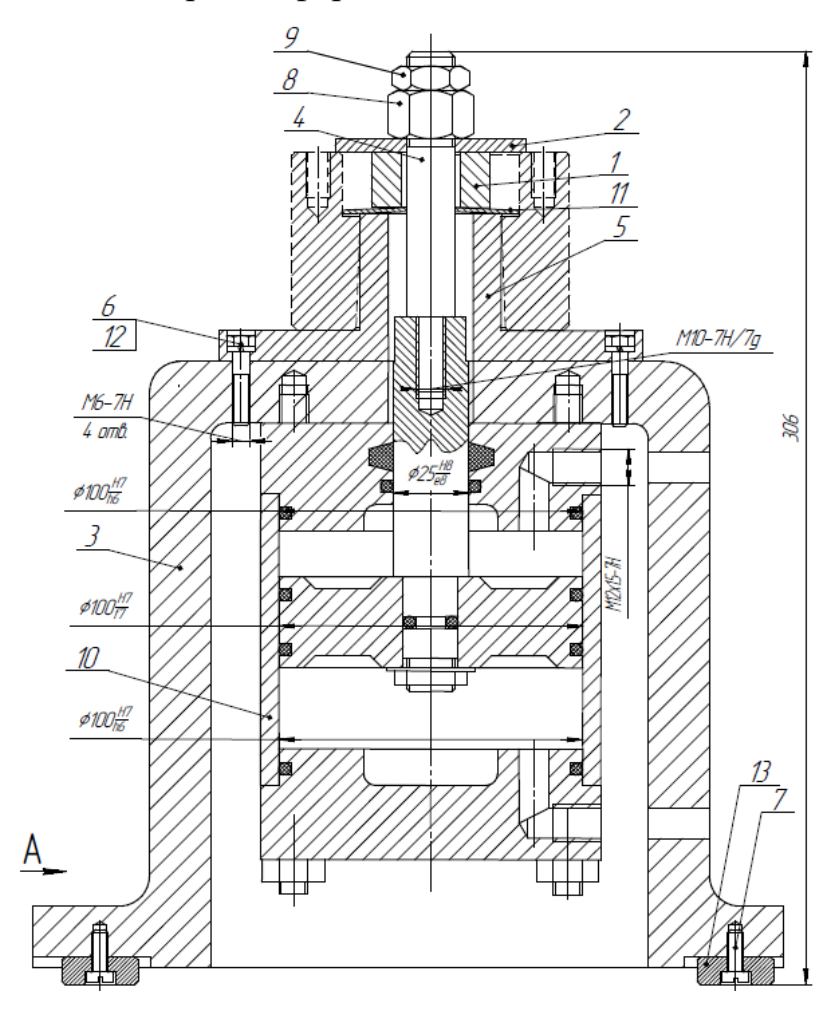
Принимаем диаметр штока равный $d_{\text{шт}} = 25$ мм

Определяем фактические значения усилия на приводе и усилия закрепления:

$$W_{\phi} = \frac{D_{\Phi}^2 \cdot \pi \cdot p \cdot \eta}{4} = \frac{100^2 \cdot 3,14 \cdot 2,5 \cdot 0,9}{4} = 17662H,$$
(45)

2.4 Описание конструкции и работы приспособления

Проект конструкции приспособления для сверлильной операции представлен на чертеже формата А2.



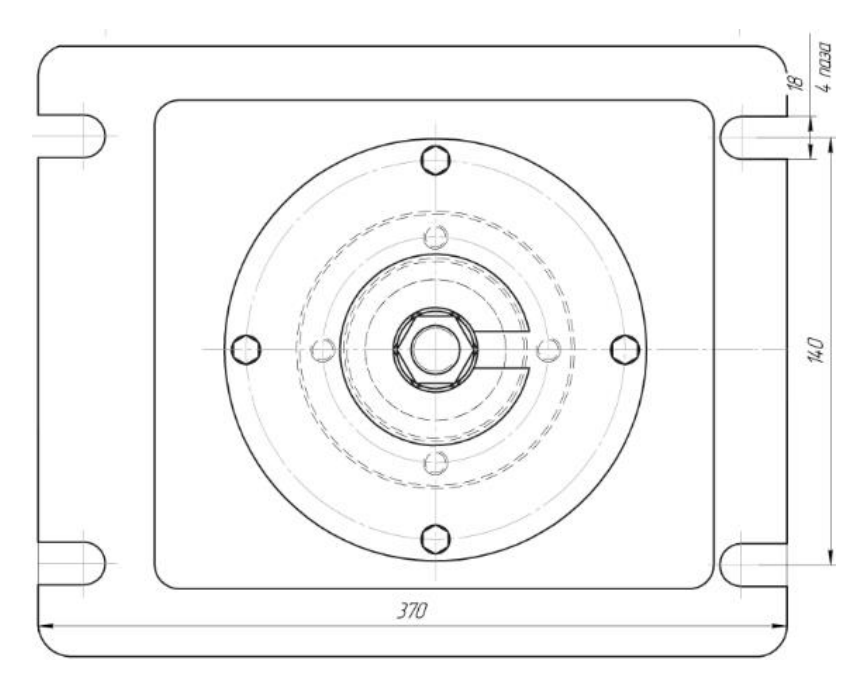


Рисунок 11 - Приспособление для сверлильной операции

Приспособление базируется на столе станка с помощью призматической шпонки 13, которая крепится к корпусу приспособления 3 винтом 7. К корпусу 3 при помощи болтов 6 и шайб 12 крепится корпус под стакан 5, на который тарельчатая пружина 11, втулка 1 и зажимная втулка 2.

Пневмоцилиндр 12 закреплен на корпусе приспособления с помощью стяжек, которые поставляются в комплекте с пневмоцилиндром.

Принцип действия приспособления: давление подается в штоковую полость пневмоцилиндра, после чего поршень передвигается вниз, перемещая ось, которая закрепляет заготовку.

ЗАДАНИЕ ДЛЯ РАЗДЕЛА «ФИНАНСОВЫЙ МЕНЕДЖМЕНТ, РЕСУРСОЭФФЕКТИВНОСТЬ И РЕСУРСОСБЕРЕЖЕНИЕ»

Студенту:

Группа	ФИО
3-4А7Б	Громику Артему Александровичу

Школа	ишнпт	Отделение школы (НОЦ)	Машиностроения
Уровень образования	Бакалавриат	Направление/специальность	15.03.01 Машиностроение

1. Стоимость ресурсов научного исследования (НИ):	Бюджет проекта не болеее - 482305 руб.,
материально-технических, энергетических, финансовых информационных и человеческих	, том числе затраты на оплату труда 343000 руб.
2. Нормы и нормативы расходования ресурсов	Накладные расходы 16%; 1,3 районны коэффициент.
3. Используемая система налогообложения, ставки налогов, отчислений, дисконтирования и кредитования	Отчисления во внебюджетные фонды - 30,2%.
Перечень вопросов, подлежащих исследованию, г	роектированию и разработке:
1. Оценка коммерческого потенциала, перспективности и альтернатив проведения НИ с позиции ресурсоэффективности и ресурсосбережения	Анализ потенциальных потребителей результатов исследования; Анализ конкурентных технически: решений; SWOT-анализ.
2. Планирование и формирование бюджета научных исследований	Формирование плана и графико исследования; Формирование бюджета затрат но научное исследование.
3. Определение ресурсной (ресурсосберегающей), финансовой, бюджетной, социальной и экономической эффективности исследования	Расчет интегрального показатель ресурсоэффективности.
Перечень графического материала (с точным указание	и обязательных чертежей):

Дата выдачи задания для раздела по линейному графику

Задание выдал консультант:

3. График проведения НИ

Ī	Должность	ФИО		Подпись	Дата
	Доцент	Клемашева Елена	К. Э. Н.		
		Игоревна			

Задание принял к исполнению студент:

Группа	ФИО	Подпись	Дата
3-4А7Б	Громик Артём Алексанрович		

3. ФИНАНСОВЫЙ МЕНЕДЖМЕНТ, РЕСУРСОЭФФЕКТИВНОСТЬ И

РЕСУРСОСБЕРЕЖЕНИЕ

3.1 Актуальность исследования

Актуальность проведения экономического анализа по оценке деловой разработки привлекательности научной технологического изготовления детали «Полумуфта двигателя» обусловлена тем, что в настоящее время проведение данного анализа позволяет вовремя устранить коммерчески малоэффективные варианты, следовательно, значительно повысить вероятность научной разработки. Целью раздела «Финансовый коммерциализации менеджмент, ресурсоэффективность И ресурсосбережение» является определение перспективности и успешности научно- исследовательского проекта. Достижение цели обеспечивается решением задач:

- оценка коммерческого потенциала и перспективности проведения научных исследований с позиции ресурсоэффективности и ресурсосбережения;
- определение возможных альтернатив проведения научных исследований;
 - планирование научно-исследовательских работ;
- определение ресурсной (ресурсосберегающей), финансовой, бюджетной, социальной и экономической эффективности исследования.

3.1. Оценка коммерческого потенциала и перспективности проведения научных исследований с позиции русурсоэффективности и ресурсосбережения

3.1.1 Потенциальные потребители результатов исследования

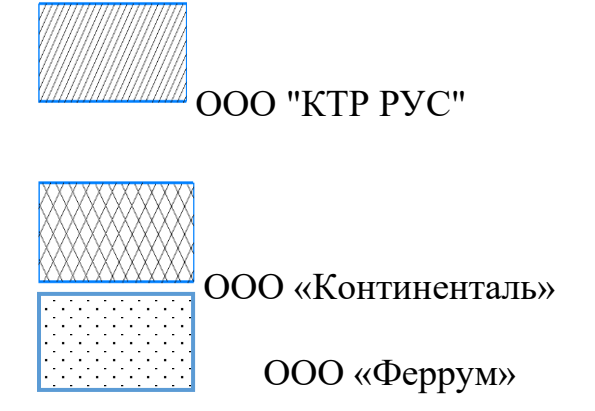
Для анализа потребителей услуг по разработке технологического процесса изготовления детали «Полумуфта двигателя» был рассмотрен целевой рынок и проведено его сегментирование.

Учитывая специфику результатов исследования, критериями сегментирования выбрана отрасль «машиностроение», выпускаемая продукция – «Полумуфта двигателя», используемый тип производства – мелкосерийное производство.

На основании этих критериев сформирована карта сегментирования рынка услуг по разработке технологического процесса изготовления детали «валик передний».

Таблица 3.1 - Карта сегментирования рынка по разработке технологии изготовления детали "Полумуфта двигателя"

		Возможности станочного производства				
Кри	терии	Современное	Профессианализм	Необходимое		
		оборудование	персонала	оборудование		
	Крупные					
Размер компани	Серийные					
И	Мелкие					



Из анализа карты, можно сделать вывод, что наиболее эффективным производством обладает ООО «КТР РУС», не смотря на это остальные компании могут составить конкуренцию. Однако производство детали "Полумуфта двигателя" потребует от остальных компаний существенного финансового вложения как в развитие станочной базы так и в поиск новых профессиональных сотрудников.

3.1.2 Анализ конкурентных технических решений

Детальный анализ конкурирующих разработок, существующих на рынке, необходимо проводить систематически, поскольку рынки прибывают в постоянном движении. Такой анализ помогает вносить коррективы в разрабатываемый объект. Чтобы выявить ресурсоэффективность разработки и определить направления для ее будущего повышения, необходимо провести анализ конкурентных технических решений. Данный анализ проводится с помощью оценочной карты, которая приведена в таблице 3.2

Таблица 3.2 – Оценочная карта для сравнения конкурентных технических решений (разработок)

Критерий оценки	Bec	Баллы			Конкурентноспосо		способ
	критерия				НО		
	критерия				сть		
		Бф	E_{K1}	\mathcal{E}_{K}	$K_{\mathbf{\phi}}$	K_{K1}	K_{K2}
				2			
Технические критерии оп	Технические критерии оценки ресурсоэффективности						
1.Качество	0,35	5	4	2	1,40	1,75	0,70
2.Способ изготовления	0,10	4	4	2	0,80	0,6	0,4
3.Износостойкость	0,02	4	4	3	0,08	0,08	0,02
4.Универсальность	0,05	4	5	4	0,15	0,25	0,20
5.Простота эксплуатации	0,08	5	5	3	0,40	0,40	0,24

Продолжение таблицы 3.2

6.Взаимозаменяемость	0,05	4	3	2	0,15	0,15	0,1	
Экономические критерии оценки эффективности								
1. Цена	0,10	5	4	2	0,50	0,40	0,30	
2. Окупаемость	0,05	4	3	5	0,50	0,10	0,25	
3.Конкуренстноспособн	0,07	3	2	3	0,24	0,14	0,21	
ость								
4. Себестоимость	0,13	4	3	4	0,52	0,39	0,65	
Итого	1,00	42	37	30	4,01	4,06	2,87	

Позиция разработки и конкурентов оценивается по каждому показателю экспертным путем по пятибалльной шкале, где 1-слабая позиция, а 5-сильная.

Анализ конкурентных технических решений определяется по формуле [1,стр. 7]:

$$K = \sum B_i \times B_i , \qquad (46)$$

где K – конкурентоспособность технической разработки или конкурента $B_{\pmb{i}}$ – вес показателя (в долях единицы);

 E_i – балл i-го показателя.

Разработка технического решения ООО «КТ РУС» (КФ):

$$K = 42 \times 4.01 = 168,42$$
,

Разработка технического решения конкурентных предприятий ООО «Континенталь» (К1) и ООО «Феррум» (К2):

$$K = 37 \times 4,06 = 150,2$$
.

$$K = 30 \times 2.87 = 86$$

Проведя анализ выяснили, что деталь «Полумуфта двигателя» конкурентоспособна. Также деталь является надежной, так как выполнена из стали 40X. Деталь проста в эксплуатации, так как предназначена для

определенного вида деятельности и выполнена по определенным требованиям.

Цена детали в рамках допустимой нормы. Разработка выполнялась в соответствии со стандартами ЕСТПП.

3.2 SWOT-анализ технологического процесса изготовления детали «Полумуфта двигателя»

С целью исследования внешней и внутренней среды проекта применен SWOT-анализ. Результаты первого этапа SWOT-анализа представлены в Приложении Д. Таблица 3.3 Матрица SWOT

Результаты второго этапа SWOT-анализа приведены в Приложении Д таблице 3.4 – Интерактивная матрица проекта

Анализ интерактивных таблиц выявил сильно коррелирующие стороны и возможности, стороны и угрозы, каждая из представленных записей представляет собой направление реализации проекта.

3.3. Планирование научно-исследовательских работ

3.3.1. Структура работ в рамках научного исследования

Реализация научно-исследовательского проекта по разработке технологического процесса изготовления детали «Полумуфта двигателя» состоит из 9 основных этапов, которые составляют структуру научного исследования. Перечень этапов, работ и распределение исполнителей представлено в таблице 3.5.

Таблица 3.5 – Перечень этапов, работ и распределение исполнителей

Основные этапы	No	Содержание работ	Должность		
	раб		исполнител		
		~	R		
Разработка	1		Руководитель		
технического		технического задания	темы		
задания		П	TI		
	2	Подбор и изучение материалов по теме	Исполнитель		
Выбор направления исследований	3	Выбор направления исследований	Руководитель,		
			исполнитель		
	4	Календарное планирование работ по теме	Исполнитель		
	5	Проведение теоретических расчетов и обоснований	Исполнитель		
Теоретические и	6	Построение макетов (моделей) и	Исполнитель		
экспериментальные	1				
исследования	7	Сопоставление результатов	Исполнитель		
		экспериментов с теоретическими			
		исследованиями			
	8	Контроль результатов	Руководитель		
		- •	темы		
	9	Технико-экономические расчеты	Исполнитель		
	10	Вопросы экологичности и	Исполнитель		
		безопасности проекта			
Обобщение и оценка	11	Оценка эффективности	Руководитель,		
результатов		полученных результатов	исполнитель		

3.3.2 Определение трудоемкости выполнения работ

С целью построения ленточного графика проведения научных работ в форме диаграммы Ганта длительность каждого из этапов работ из рабочих дней переведена в календарные дни. Для этого была использована следующая формула:

$$T_{\mathbf{K}i} = T_{\mathbf{p}i} \times k_{\mathbf{K}\mathbf{a}\mathbf{\Pi}}, \qquad (47)$$

где $T_{\kappa i}$ продолжительность выполнения i-й работы в календарных днях;

 $T_{\rm p\it{i}}$ – продолжительность выполнения \it{i} -й работы в рабочих днях;

 $k_{\text{кал}}$ – коэффициент календарности.

Коэффициент календарности определен по следующей формуле:

$$k_{\text{KaJ}} = \frac{T_{\text{KaJ}}}{T_{\text{KaJ}} - T_{\text{BbJ}} - T_{\text{IIp}}},$$
 (48)

Где $T_{\text{кал}}$ – количество календарных дней в году;

 $T_{\text{вых}}$ - количество выходных дней в году;

 $T_{\rm np}$ - количество праздничных дней в году.

Все рассчитанные значения сведены в таблицу 3.6.

Таблица 3.6 – Временные показатели проведения научного исследования

Название работы	t_{min_i} ,		Грудоём				Длительнос ть работ в рабочих днях		Длительнос ть работ в календарны х	
	Руководитель	Исполнитель	Руководитель	Исполнитель	Руководитель		Руководитель	Ксполнитель	Руководитель	исполнитель
Составление и утверждение технического задания	1		2		3		3		3	
Подбор и изучение материалов по теме		12		15		14		14		18
Выбор направления исследований	2		4		3		3		4	
Календарное планирование работ по теме		2		3		3		2.5		4
Проведение теоретических расчетов и обоснований		25		40		32		32		44
Построение макетов (моделей) и проведение экспериментов		20		25		22		22		35
Сопоставление результатов экспериментов с теоретическими исследованиями		2		3		2		2		2
Контроль результатов исследования	3		4		4		4			6
Технико-экономические расчеты		4		6		6		6		8
Вопросы экологичности и безопасности проекта		4		5		5		5		5
Оценка эффективности полученных результатов	1		3		2		3		3	
Итого дней (руководитель)						10				
Итого дней (бакалавр)	,					122				
Итого дней (проект)					132					

На основе таблицы 3.6 построен календарный план-график представленный в таблице 3.7.

Таблица 3.7 – Календарный план-график проведения НИОКР

				Продолжительность выполнения работ															
№	Вид работ	Исполнитель	$m{T_{ki}}$ кал. дней		зарь		вралн			арт			прел	Ь	Май			Ию	НЬ
			днси	2	3	1	2	3	1	2	3	1	2	3	1	2	3	1	2
1	Составление и утверждение технического задания	Руководитель	3		*														
2	Подбор и изучение материалов по теме	Исполнитель	20																
3	Выбор направления исследований	Руководитель	3					3											
4	Календарное планирование работ по теме	Исполнитель	4																
5	Проведение теоретических расчетов и обоснований	Исполнитель	46																
6	Построение макетов (моделей) и проведение экспериментов	Исполнитель	35																
7	Сопоставление результатов экспериментов с теоретическими исследованиями	Исполнитель	2																
8	Контроль результатов исследования	Исполнитель	4																
9	Технико-экономические расчеты	Исполнитель	8																
10	Вопросы экологичности и безопасности проекта	Исполнитель	5																
11	Оценка эффективности полученных результатов	Исполнитель, Руководитель	2															1	

Исполнитель – Руководитель - 🖼

По календарному плану-графику проведения ВКР видно, что начало работы было в первой половине феврале. Вторая, шестая и восьмая работы выполняются одновременно. По графику видно, что выполнение технологической части работы, самая продолжительная часть работы и составляет 36 дней. Такие работы, составление и утверждение темы ВКР, согласование выполненной технологической части с научным руководителем, согласование выполненной конструкторской части с научным руководителем, выполнялись двумя исполнителями. Окончание работы в середине июня.

3.4. Бюджет научно-технического исследования

Бюджет затрат включает в себя следующие статьи:

- материальные затраты;
- полная заработная плата исполнителей проекта;
- отчисления во внебюджетные фонды (страховые взносы);
- накладные расходы.

3.4.1 Расчет материальных затрат научно-технического проекта

В материальные затраты включаются затраты на канцелярские принадлежности, и т.п.

Расчет материальных затрат осуществляется по следующей формуле:

$$3_{\mathrm{M}} = \sum_{i=1} \coprod_{i} \times N_{\mathrm{pacxi}},\tag{49}$$

где m – количество видов материальных ресурсов;

 $N_{{
m pacx}i}$ — количество материальных ресурсов i-го вида, планируемых к использованию (натур.ед.);

Значения цен на материальные ресурсы установлены по данным, размещенным на сайте магазина ООО «Ситилинк».

Накладные рассходы

Таблица 3.8 – Материальные затраты

Наименование	Количество	Цена за ед., руб.	Затраты на материалы, руб.
Ноутбук	1	65000	65000
Принтер	оинтер 1		7500
Флеш-карта	1	500	550
Электроэнергия	110	5,78	635.8
Итого	73685.8		

3.4.2 Полная заработная плата исполнителей темы

В настоящую статью включается полная заработная платанаучного руководителя и студента, которая рассчитывается по формуле [5,стр. 26]:

$$3_{\Pi} = 3_{\text{OCH}} + 3_{\text{ДО\Pi}} , \qquad (50)$$

где 3_{осн} – основная заработная плата;

 $3_{\text{доп}}$ – дополнительная заработная плата, $3_{\text{доп}}$ =0,12× $3_{\text{осн}}$

Величина расходов по заработной плате определяется исходя из трудоемкости выполняемых работ и действующей системы окладов и тарифных ставок.

Основная заработная плата ($3_{\text{осн}}$) руководителя (лаборанта, инженера) от предприятия (при наличии руководителя от предприятия) рассчитывается по следующей формуле [5,стр. 26]:

$$3_{\text{och}} = T_p \times 3_{\text{дh}}, \tag{51}$$

где $3_{\text{осн}}$ – основная заработная плата одного работника;

 T_p – продолжительность работ, выполняемых работником, раб. Дн.

 $3_{\rm дн}$ — среднедневная заработная плата работника, руб.

Среднедневная заработная плата рассчитывается по формуле [5, стр. 27]

$$3_{\text{ДH}} = \frac{3_{\text{M}} \times M}{F_{\text{Д}}},\tag{52}$$

где 3м – месячный должностной оклад работника, руб.;

M — количество месяцев работы без отпуска в течение года: при отпуске в 24 раб. дня M =11,2, 5-дневная неделя;

Fд – действительный годовой фонд рабочего времени научнотехнического персонала, раб. дн.

Месячный должностной оклад работника:

$$3_{\mathcal{M}} = 3_{\mathrm{TC}} \times (1 + k_{\mathrm{\Pi}p} + k_{\mathrm{\Pi}}) \times k_{p} , \qquad (53)$$

где Зтс – заработная плата по тарифной ставке, руб.;

kпр – премиальный коэффициент, равный 0,3 (т.е. 30% от 3тc);

kд — коэффициент доплат и надбавок составляет примерно 0,2-0,5 (в НИИ и на промышленных предприятиях — за расширение сфер обслуживания, за профессиональное мастерство, за вредные условия: 15- 20 % от 3тс); kp — районный коэффициент, равный 1,3 (для Томска).

Таблица 3.9 Расчет заработной платы

Исполнители	3 _{rc}	$k_{\pi p}$	k _д	kp	3 _м руб.	3 _{дн}	T _P	Зосн	3 _{доп}	Итого,
	руб.					руб	дн.	руб.	руб.	руб.
Руководитель	35120	0,3	0,4	1,3	77615,2	3714,9	1 0	37149	4457,9	41606,9
Студент	15300	0,3	0,4	1,3	33813	1618,4	122	197444,8	23693,4	221138,4

3.4.3 Отчисления во внебюджетные фонды (страховые взносы)

В данной статье расходов отражаются обязательные отчисления по установленным законодательством Российской Федерации нормам органам государственного социального страхования (ФСС), пенсионного

фонда ($\Pi\Phi$) и медицинского страхования ($\Phi\Phi$ OMC) от затрат на оплату труда работников.

Величина отчислений во внебюджетные фонды определяется исходя из следующей формулы [7,с.29]:

$$3_{\text{BHe}\delta} = k_{\text{BHe}\delta} \times (3_{\text{OCH}} + 3_{\text{TOII}}), \tag{54}$$

Где $k_{\text{внеб}}$ — коэффициент отчислений на уплату во внебюджетные фонды (пенсионный фонд, фонд обязательного медицинского страхования и пр.), равен 30,2%

Таблица 3.10 – Отчисления во внебюджетные фонды

Исполнители	Основная заработная плата, руб.	Отчисления во внебюджетные фонды
Руководитель	41606,9	12565,3
Студент	221138,4	66783,8
Итого		79349,1

3.4.4 Накладные расходы

Накладные расходы учитывают прочие затраты организации, не попавшие в предыдущие статьи расходов: печать и ксерокопирование материалов исследования, оплата услуг связи, почтовые и телеграфные расходы, размножение материалов и т.д.

$$3_{\text{накл}} = \Sigma (\text{статей } 4.1-4.3) \times 0,16 = 66524,8$$
 (55)

3.4.5 Формирование бюджета затрат научно-технического проекта

Рассчитанная величина затрат технического проекта является основой для формирования сметы затрат проекта, который при формировании договора с заказчиком защищается научной организацией в качестве нижнего предела затрат на разработку технического проекта продукции.

Определение бюджета затрат на технический проект по каждому варианту исполнения приведен в таблице 3.12.

Таблица 3.12 - Расчет сметы затрат технического проекта

Наименование статьи	Сумма, руб.	Примечание
1. Материальные затраты	73685,8	Пункт 3.4.1
2. Затраты по основной заработной плате исполнителей проекта		Пункт 3.4.2
3.Отчисления во внебюджетные фонды	79349,1	Пункт 3.4.3
4. Накладные расходы	66524,8	Пункт Пункт 3.4.4
Бюджет затрат	482305	Сумма ст.1-4

3.5. Определение ресурсной (ресурсосберегающей), финансовой, бюджетной, социальной и экономической эффективности исследования

Исп. 1 – Разработка проекта в настоящем исследовании; Исп. 2 – ООО «Континенталь»; Исп. 3 - ООО «Феррум»

Таблица 3.13 – Сравнительная оценка характеристик вариантов исполнения проекта

Объект исследования Критерии	Весовой коэффициент	Исп.	Исп.	Исп.
	параметра	1	2	ω
1. Способствует росту производительности				
труда пользователя	0,2	5	4	3
2. Удобство в эксплуатации (соответствует				
требованиям потребителей)	0,05	4	3	4
3. Безопасность	0,1	5	5	4
4. Энергосбережение	0,2	4	3	3
5. Надежность	0,3	4	4	3
6. Материалоемкость	0,15	4	4	4
ИТОГО	1	4.3	3.85	3.3

$$I_{p-ucn1} = 5 \times 0,2 + 4 \times 0,05 + 5 \times 0,1 + 4 \times 0,2 + 4 \times 0,3 + 4 \times 0,15 = 4,3;$$

$$I_{p-ucn2} = 4 \times 0,2 + 3 \times 0,05 + 5 \times 0,1 + 3 \times 0,2 + 4 \times 0,3 + 4 \times 0,15 = 3,85;$$

$$I_{p-ucn3} = 3 \times 0,2 + 4 \times 0,05 + 4 \times 0,1 + 3 \times 0,2 + 3 \times 0,3 + 4 \times 0,15 = 3,3$$

Сравнительный анализ показал, что эффективность варианта разработки технологического процесса изготовления детали «Полумуфта двигателя» в настоящем исследовании более конкурентноспособна по сравнению с другими вариантами.

ВЫВОД ПО РАЗДЕЛУ

В ходе исследования провели анализ конкурентоспособности и SWOTанализ проекта, которые выявили его сильные и слабые стороны. Произведено планирование проекта и построен график Ганта; по итогам был установлен предполагаемый срок выполнения проекта — 132 дня.

Бюджет затрат на реализацию проекта составил 482305 рублей. Показатель ресурсоэффективности (4,3) говорит об эффективной реализации проекта. На основании полученных результатов выявлено, что реализация данного проекта является экономически целесообразной.

ЗАДАНИЕ ДЛЯ РАЗДЕЛА «СОЦИАЛЬНАЯ ОТВЕТСТВЕННОСТЬ»

Студенту:

Гру	ппа	ФИО				
		Громик Артём А	лександрович			
Школа	Инженерная школа новых производственных технологий		Отделение (НОЦ)	Машиностроение		
Уровень образования	Бак	салавриат	Направление/ специальность	15.03.01 «Машиностроение»		

ема ВКР:	
Проектирование технологического и	процесса изготовления детали «Полумуфта
ДВ	игателя».
Исходные данные к разделу «Социальная ответ	гственность»:
Введение - Характеристика объекта исследования (вещество, материал, прибор, алгоритм, методика) и области его применения. - Описание рабочей зоны (рабочего места) при разработке проектного решения	Объект исследования: деталь «Полумуфта двигателя» Область применения: Машиностроительное предприятие Рабочая зона: лаборатория Наименование оборудования рабочей зоны: рабочий стол с персональным компьютером, монитором, принтером Рабочие процессы, связанные с объектом исследования, осуществляющиеся в рабочей зоне проектирование технологического процесса детали «Полумуфта двигателя»
Перечень вопросов, подлежащих исследованию, п	роектированию и разработке:
1. Правовые и организационные вопросы обеспечения безопасности при разработке проектного решения — специальные (характерные при эксплуатации объекта исследования) правовые нормы трудового законодательства; — организационные мероприятия при компоновке рабочей зоны.	Трудовой кодекс Российской Федерации от 30.12.2001 N 197-ФЗ (ред. от 25.02.2022) ГОСТ Р 50923-96 - Дисплеи. Рабочее место оператора. Общие эргономические требования и требования к производственной среде. Методы измерения.
2. Производственная безопасность при разработке – Анализ выявленных вредных и опасных производственных факторов	Вредные — Недостаточная освещенность рабочей зоны — Отсутствие или недостаток естественного света — Опасные и вредные производственные факторы, связанные с аномальными микроклиматическими параметрами воздушной среды на местонахождении работающего — Нервно-психические перегрузки Опасные — производственные факторы, связанные с электрическим током, вызываемым разницей электрических потенциалов, под действие которого попадает работающий
3. Экологическая безопасность при эксплуатации	Воздействие на литосферу: Загрязнение почвы стружкой Воздействие на гидросферу: Выброс технических жидкостей Воздействие на атмосферу: Образование пыли, выделение газов

4. Безопасность в чрезвычайных ситуациях при разработке проектного решения/при эксплуатации	Возможные ЧС: пожары					
Дата выдачи задания для раздела по линейному графику						

Задание выдал консультант:

Должность	ФИО	Ученая степень,	Подпись	Дата
		звание		
Доцент	Антоневич Ольга	к.б.н.		
	Алексеевна			

Задание принял к исполнению студент:

Группа		ппа	ФИО	Подпись	Дата
	3-4А7Б		Громик Артём Александрович		

4. СОЦИАЛЬНАЯ ОТВЕТСТВЕННОСТЬ

В разделе социальная ответственность рассмотрены вопросы, связанные с особенностями условий труда при разработке технологического процесса изготовления детали «Полумуфта двигателя».

Разработка проекта выполненна выпускником НИ ТПУ в лаборатории на персональном компьютере. Работа выполнена в соответствии с действующими нормативными довкументами.

В работе работе рассмотрены правовые и организационные вопросы обеспечения безопасности на рабочем месте.

Проведён анализ возможного появления опасных и вредных производственных факторов и их влияние на условия работы; Разработаны мероприятия по технике безопасности, направленные на снижение или устранение этих факторов.

4.1 Правовые и организационные вопросы обеспечения безопасности

Согласно трудового кодекса Российской Федерации от 30.12.2001~N~197-Ф3 (ред. от 25.02.2022) [12]:

Статья 21. Работник имеет право на:

Заключение, изменение и расторжение трудового договора в порядке и на условиях, которые установлены настоящим Кодексом, иными федеральными законами;

Рабочее место, соответствующее государственным нормативным требованиям охраны труда, предусмотренным коллективным договором;

Статья 91. Нормальная продолжительность рабочего времени не может превышать 40 часов в неделю.

Статья 100. Режим рабочего времени должен предусматривать продолжительность рабочей недели (пятидневная с двумя выходными днями, шестидневная с одним выходным днем, рабочая неделя с предоставлением выходных дней по скользящему графику, неполная рабочая неделя).

Статья 216. Каждый работник имеест право на:

Обязательное социальное страхование от несчастных случаев на производстве и профессиональных заболеваний;

Обеспечение в соответствии с требованиями охраны труда за счет средств работодателя средствами коллективной и индивидуальной защиты и смывающими средствами;

Обучение по охране труда за счет средств работодателя;

Дополнительное профессиональное образование или профессиональное обучение за счет средств работодателя в случае ликвидации рабочего места вследствие нарушения работодателем требований охраны труда;

При планировании рабочего места для проектирования технологического процесса изготовления детали «Полумуфта двигателя» учитываем рабочую позу проектировщика. Руководствуемся ГОСТ Р 50923-96 [13] Дисплеи. Рабочее место оператора. Общие эргономические требования и требования к производственной среде. Методы измерения.

- 1. Рабочее место с дисплеем должно обеспечивать оператору возможность удобного выполнения работ в положении сидя и не создавать перегрузки костно-мышечной системы.
- 2. Основными элементами рабочего места оператора являются: рабочий стол, рабочий стул (кресло), дисплей, клавиатура; вспомогательными пюпитр, подставка для ног.

Конструкция рабочего стола должна обеспечивать возможность размещения на рабочей поверхности необходимого комплекта оборудования и документов с учетом характера выполняемой работы. Высота рабочей

поверхности стола составляет 725 мм. Размеры рабочей поверхности глубина - 800 мм, ширина 1600 мм. Пространство для ног высота 600 мм, ширина 500 мм. Рабочая поверхность стола изготавливается без острых углов.

Поверхность сидения должна иметь ширину и глубину не менее 400 мм. Опорная поверхность спинки стула должна иметь высоту 300 ± 20 мм, ширину не менее 380 мм и радиус кривизны в горизонтальной плоскости 400 мм.

Дисплей на рабочем месте устанавливается ниже уровня глаз. Угол наблюдения экрана оператором относительно горизонтальной линии взгляда не должен превышать 60° , как показано на рисунке.

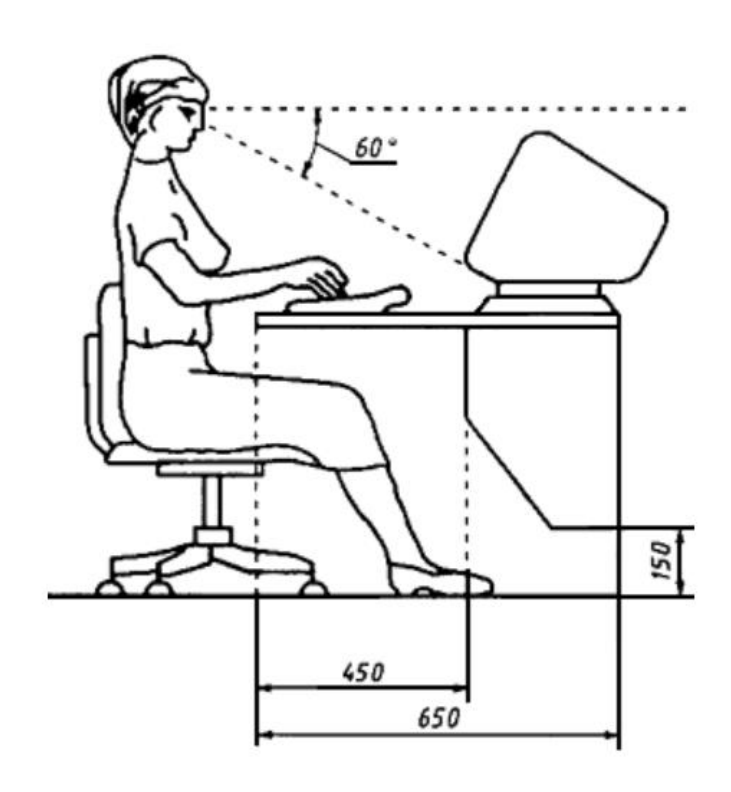


Рисунок 12 – расположение дисплея на рабочем столе.

4.2 Производственная безопасность

В данном разделе рассмотрены вопросы, связанные с организацией рабочего места в соответствии с нормами производственной санитарии, техники производственной безопасности и охраны окружающей среды.

Для выбора факторов используется ГОСТ 12.0.003-2015 Система стандартов безопасности труда (ССБТ). Описание и вредные производственные факторы. Классификация. [14]

Таблица 4.1 – Возможные опасные и вредные факторы на рабочем месте проэктировщика

Факторы (ГОСТ 12.0.003-2015)	Нормативные документы
1. Недостаточная освещенность рабочей	СП 52.13330.2016 Естественное и
зоны	искусственное освещение.
	Актуализированная редакция
2. Отсутствие или недостаток	СНиП 23-05-95*[15]
естественного света	
3. Опасные и вредные	ГОСТ 12.1.005-88 ССБТ. Общие
производственные факторы, связанные	санитарно-гигиенические
с аномальными микроклиматическими	требования к воздуху рабочей
параметрами воздушной среды на	зоны. [16]
местонахождении работающего	
4. Нервно-психические перегрузки	MP 2.2.9.2311 – 07 «Профилактика
терыю пенян текие перегрузки	стрессового состояния работников
	при различных видах
	профессиональной деятельности».
	[17]
5. производственные факторы,	ГОСТ 12.1.019-2017 ССБТ.
связанные с электрическим током,	Электробезопасность. Общие
вызываемым разницей электрических	требования и номенклатура видов
потенциалов, под действие которого	защиты. [18]
попадает работающий	

4.2.1 Анализ опасных и вредных производственныз факторов

Недостаточная искусственного и естественного освещенность рабочей зоны

В соотвествии с нормативом СП 52.13330.2016 Таблица 4.2 освещенность на рабочей поверхности стола от системы общего освещения должна быть 300 лк, цилиндрическая освещенность 100 лк, коэффициент пульсаций 15%. Помещения с постоянным пребыванием людей должны иметь естественное освещение. При совмещенном освещение КЕО при боковом освещении 0,6%.

При недостаточной освещенности в первую очередь страдают органы зрения. Зрительное восприятие снижается, развивается близорукость, появляется болезнь глаз. При недостаточной освещенности снижается продуктивность, возникает потенциальная опасность ошибочных действий и несчастных случаев. Также при напряжении зрительных анализаторов возникает и напряжение всех анализаторов в целом, что приводит к головным болям и переутомлению.

При недостатке естественного освещения на рабочем месте можно выполнять следующие мероприятия:

- о Защита временем (ограниченное пребывание работника в помещении);
- о Улучшение условий, создаваемых искусственным освещением;
- о Окраска стен в светлые тона

Опасные и вредные производственные факторы, связанные с аномальными микроклиматическими параметрами воздушной среды на местонахождении работающего

Под микроклиматом понимают качество воздушной среды в рабочей зоне. Эти требования устанавливают оптимальные и допустимые метеорологические условия для рабочей зоны помещения, нормируемые следующими параметрами: температура, оптимальная влажность, скорость движения воздушного потока. В соответствии с ГОСТ 12.1.005-88 ССБТ [16].

Оптимальные микроклиматические условия установлены по критериям теплового и функционального состояния человека. Они обеспечивают общее и локальное ощущение теплового комфорта в течение 8часовой рабочей смены при минимальном напряжении механизмов терморегуляции, не вызывают отклонений в состоянии здоровья, создают работоспособности предпосылки ДЛЯ высокого уровня являются предпочтительными на рабочих местах.

Оптимальные параметры микроклимата на рабочих местах должны соответствовать величинам, приведенным в таблице.

Таблица 4.2 – Оптимальные величины показателей микроклимата на рабочих местах производственных помещений

Период года	Категория	Температура	Температура	Относительная	Скорость
	работ по	воздуха, °С	поверхностей,	влажность	движения
	уровню		°C	воздуха, %	воздуха, м/с
	энергозатрат,				
	Вт				
Холодный	Ia (до 139)	22-24	21-25	60-40	0,1
Теплый	Ia (до 139)	23-25	22-26	60-40	0,1

Перепады температуры воздуха по высоте и по горизонтали, а также изменения температуры воздуха в течение смены при обеспечении оптимальных величин микроклимата на рабочих местах не должны превышать 2 °C и выходить за пределы величин, указанных в табл.1 для отдельных категорий работ.

В целях профилактики неблагоприятного микроклимата должны быть проведены защитные мероприятия установка систем местного кондиционирования.

Нервно-психические перегрузки

Для профилактики стрессового состояния разработаны методические указания. Руководствуясь МР 2.2.9.2311 — 07 «Профилактика стрессового состояния работников при различных видах профессиональной деятельности»

необходимо проводить комплекс мер профилактики стрессового состояния работников при различных видах нервно-напряженного, зрительно-напряженного и физического труда.[17]

Меры профилактики стрессовых состояний предусматривают внедрение рациональных режимов труда и отдыха, комплекса оздоровительно-профилактических мероприятий для предупреждения воздействия стрессфакторов на организм работающих.

Основными обусловливающими развитие производственнопрофессионального стресса (стрессового состояния) трудовыми нагрузками являются:

- при умственной нагрузке длительный и ненормированный рабочий день с работой в сменном режиме, служебные командировки, работа в состоянии дефицита времени, длительность сосредоточенного внимания, плотность сигналов и сообщений в единицу времени, высокая степень сложности задания, выраженная ответственность, наличие риска для жизни;
- о при зрительной нагрузке высокая точность выполняемой работы, необходимость высокой координации сенсорных и моторных элементов зрительной системы, т.е. координации зрения с системой органов движения, время работы с оптическими приборами и время работы непосредственно с экраном видеодисплейных терминалов (ВДТ) и персональных электронно-вычислительных машин (ПЭВМ).

Характерными особенностями всех современных видов трудовой деятельности являются недостаточный уровень общей двигательной активности (гипокинезия) и пребывание в физиологически нерациональных рабочих позах (неудобная, фиксированная, вынужденная).

Длительное перенапряжение от воздействия интенсивных нервноэмоциональных нагрузок способствует развитию производственнообусловленных заболеваний: атеросклероза, ишемической болезни сердца, гипертонической болезни, невротических расстройств и т.д.

При пятидневной рабочей неделе 8-ми часовой И смене продолжительность обеденного перерыва составляет 30 мин, регламентированные перерывы вводятся через 2 ч от начала рабочей смены и через 2 ч после обеденного перерыва продолжительностью 5-7 мин каждый.

Производственные факторы, связанные с электрическим током, вызываемым разницей электрических потенциалов, под действие которого попадает работающий.

Поражение человека током может произойти в следующих случаях: при прикосновении к токоведущим частям ПК во время его обслуживания; при прикосновении к частям электрической цепи с нарушенной изоляцией; в следствии короткого замыкания.

Основные способы и средства электрозащиты:

- изоляция токопроводящих частей и ее непрерывный контроль;
- использование малых напряжений;
- электрическое разделение сетей;
- выравнивание потенциалов;
- зануление;
- защитное отключение;

4.3. Экологическая безопасность

При производстве детали «Полумуфта двигателя» возникают отходы, которые могут производить воздействие на окружающую среду.

Воздействие на литосферу: загрязнение почвы металлической стружкой. Класс опасности III.[22] Твёрдые отходы производства имеют строго однородный характер, в виде металлической стружки, поэтому следует подобные отходы отправлять переплавку и повторное использование. Переработка стружки трудоемкий процесс, подразумевающий под собой брикетирование или прессование стружки в компактный брикет для наименьшего угара стружки при переплавке в сталеплавильных печах. В зависимости от стружки и ее засора используют центрифугу для отжима масла, дробилку для дробления стружки на мелкие фракции, а также брикетированные прессы для придания дробленой стружке компактного брикета в целях удобства перевозки и плавки в печах.

Воздействие на гидросферу: выброс технических жидкостей. При производстве детали «Полумуфта двигателя» приходится иметь дело с такими отходами, как отработанное машинное масло. Класс опасности III.[22] Все отработанные нефтепродукты подлежат обязательному сбору в целях охраны окружающей среды от загрязнения. [ГОСТ 21046-2015] согласно «Приказу МИНТОПЭНЕРГО РФ от 25 сентября 1998 г. N 311. Об утверждении инструкции об организации сбора и рационального использования отработанных нефтепродуктов в Российской Федерации», подлежат сбору, хранению и отгрузке последующей регенерации ДЛЯ ИХ на специализированных предприятиях.

Воздействие на атмосферу: образование пыли при производстве детали «Полумуфта двигателя». Из-за образования пыли Абразивные отходы (IV класс опасности) [22]. Наиболее эффективным средством борьбы с пылью и вредными испарениями в атмосфере производственного помещения является вентиляция. Она бывает механической и естественной, возможны также смешанные вентиляции в различных вариантах. В целях охраны окружающей среды, в системе вентиляции необходимо устанавливать фильтры и пылеулавливатели. [25].

4.4. Безопасность в чрезвычайных ситуациях

Вследствие того, что при проектировании технологического процесса ведется работа с компьютером, существует возможность короткого замыкания

или неисправности проводов. Питаются электроустановки посредством кабельных линий, являющихся особо пожароопасными. Именно поэтому наиболее типичная чрезвычайная ситуация – это пожар, класса А.

Для увеличения устойчивости помещения к ЧС необходимо устанавливать системы противопожарной сигнализации, реагирующие на дым и другие продукты горения. Оборудовать помещение огнетушителями, планами эвакуации, а также назначить ответственных за противопожарную безопасность. Важно проводить своевременную проверку огнетушителей. Два раза в год (в летний и зимний период) проводить учебные тревоги для отработки действий при пожаре.

Для предупреждения ЧС (пожары) и слаженности действий при возникновении рассмотрим первые меры пожарной безопасности в соответствии с Федеральным законом от 22.07.2008 N 123-ФЗ (ред. от 30.04.2021) "Технический регламент о требованиях пожарной безопасности". Статья 63. [23]

- 1) реализацию полномочий органов местного самоуправления по решению вопросов организационно-правового, финансового, материально-технического обеспечения пожарной безопасности муниципального образования;
- 2) разработку и осуществление мероприятий по обеспечению пожарной безопасности муниципального образования и объектов муниципальной собственности, которые должны предусматриваться в планах и программах развития территории, обеспечение надлежащего состояния источников противопожарного водоснабжения, содержание в исправном состоянии средств обеспечения пожарной безопасности жилых и общественных зданий, находящихся в муниципальной собственности;
- 3) разработку и организацию выполнения муниципальных целевых программ по вопросам обеспечения пожарной безопасности;
- 4) разработку плана привлечения сил и средств для тушения пожаров и проведения аварийно-спасательных работ на территории муниципального образования и контроль за его выполнением;

- 5) установление особого противопожарного режима на территории муниципального образования, а также дополнительных требований пожарной безопасности на время его действия;
- 6) обеспечение беспрепятственного проезда пожарной техники к месту пожара;
 - 7) обеспечение связи и оповещения населения о пожаре;
- 8) организацию обучения населения мерам пожарной безопасности и пропаганду в области пожарной безопасности, содействие распространению пожарно-технических знаний;
- 9) социальное и экономическое стимулирование участия граждан и организаций в добровольной пожарной охране, в том числе участия в борьбе с пожарами.

ВЫВОД ПО РАЗДЕЛУ

Работа проектировщика регламентируется законодательством РФ, основным документом является Трудовой кодекс Российской Федерации от 30.12.2001 N 197-ФЗ (ред. от 25.02.2022). По степени тяжести работа проектировщика относится к уровню Іа до с энергозатратами организма до 139 Дж/с. Помещение, в которой выполнялась работа по проектированию технологического процесса, соответствует требованиям электробезопасности в соответствии с ПУЭ. Помещение относится к категории без повышенной опасности. Персонал имеет ІІ группу по электробезопасности.

Анализ вредных и опасных факторов на рабочем месте проектировщика выявил вредные и опасные факторы:

о Вредные факторы: Отсутствие или недостаточность естественного ИЛИ искусственного освещения; Опасные вредные И факторы, производственные связанные c аномальными микроклиматическими параметрами воздушной среды на местонахождении работающего; нервно-психические перегрузки.

о Опасные факторы: производственные факторы, связанные с электрическим током, вызываемым разницей электрических потенциалов, под действие которого попадает работающий.

Согласно СП 12.13130.2009 «Определение категорий помещений, зданий и наружных установок по взрывопожарной и пожарной опасности». Помещение, в котором проводится работа проектировщика, относится к категории «Д» — негорючие вещества и материалы в холодном состоянии. Помещение, в котором находится производство детали относится к категории «Г» - Негорючие вещества и материалы в горячем, раскаленном или расплавленном состоянии, процесс обработки которых сопровождается выделением лучистого тепла, искр и пламени, и (или) горючие газы, жидкости и твердые вещества, которые сжигаются или утилизируются в качестве топлива.

Рассмотрены меры по обращению с отходами при изготовлении детали «Полумуфта двигателя». Производство, на котором будет производиться деталь по степени негативного воздействия на окружающую среду относится к ІІІ и ІV категории – с незначительным и минимальным воздействием.

ЗАКЛЮЧЕНИЕ

В результате выполнения выпускной квалификационной работы был разработан технологический процесс механической обработки детали «Полумуфта двигателя». В качестве заготовки выбрали прокат трубный горячекатаный $\emptyset95^{+0,6}_{-2,0}$ с толщиной стенки 25мм ГОСТ 8732-78, проведен расчет межоперационных припусков и размерный анализ, разработан маршрутный технологический процесс изготовления, подобрано оборудование, приспособление и режущий инструмент для обработки детали. Определены режимы резания путем аналитического расчета и нормы машинного времени.

Спроектировано специальное зажимное приспособление для сверлильной операции.

Проведен анализ конкурентоспособности и SWOT-анализ проекта, которые выявили его сильные и слабые стороны. Произведено планирование проекта и построен график Ганта; по итогам был установлен предполагаемый срок выполнения проекта — 132 дня.

В разделе «Социальная ответственность» проведен анализ вредных и опасных факторов при проектировании технологического процесса детали «Полумуфта двигателя». Также было рассмотрено вопросы обеспечения экологической безопасности и безопасности в чрезвычайных ситуациях. Рассмотрены основные опасные и вредные факторы, влияющие на человека при проектировании детали «Полумуфта двигателя» и представлены предельные допустимые значения этих факторов. Определены элементы загрязнения окружающей среды в процессе производства детали «Полумуфта двигателя» и предложены пути снижения степени загрязнения отходами или вовсе их избегания. Представлены рекомендации по действию в вероятных ЧС при применении и изучении объекта исследования.

СПИСОК ИСПОЛЬЗОВАННЫХ ИСТОЧНИКОВ

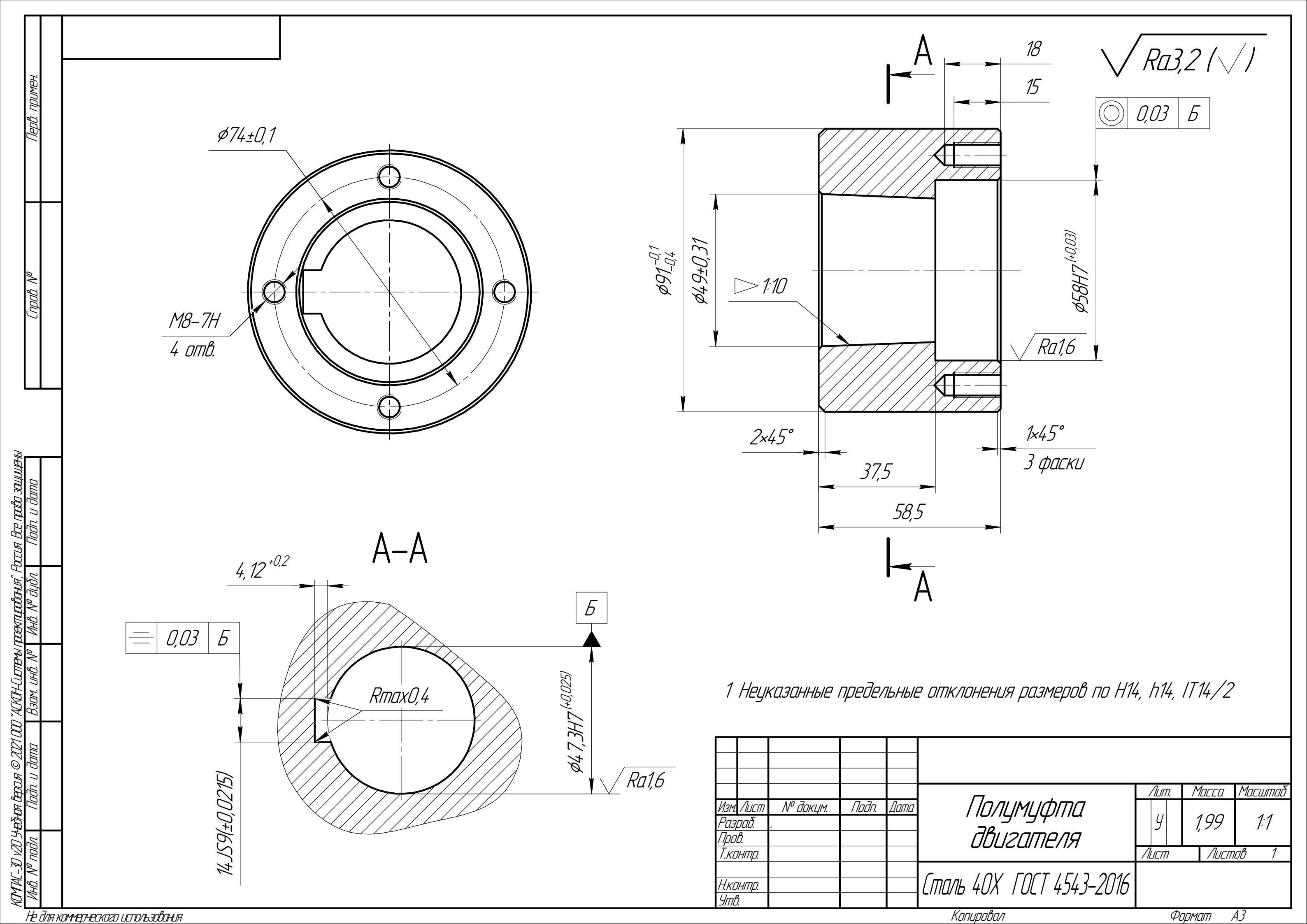
- 1. Горбацевич А.Ф., Шкред В.А. Курсовое проектирование по технологии машиностроения. М.: ООО ИД «Альянс», 2007. 256 с.
- 2. Скворцов В.Ф. Основы размерного анализа технологических процессов изготовления деталей: Учебное пособие. Томск: Изд. ТПУ, 2006. 100 с.
- 3. Мягков В.Д., Палей М.А., Романов А.Б., Брагинский В.А. Допуски и посадки. Справочник. В 2-х ч. Том 2. Л.: Машиностроение, 1983. 448 с.
- 4. Справочник технолога-машиностроителя. В 2-х т. Т. 2 /Под ред. А. Г. Косиловой и Р. К. Мещерякова— 4-е изд., перераб. и доп. М.: Машиностроение, 2003. 496 с.
- 5. Прогрессивные режущие инструменты и режимы резания металлов: Справочник / Баранчиков В.И., Жаринов А.В., Юдина Н.Д., Садыхов А.И. и др.; Под общ. ред. В.И. Баранчикова. М.: Машиностроение, 1990.
- 6. Анурьев В.И. Справочник конструктора машиностроителя: В 3 т. Т. 1. М.: Машиностроение, 2001. 920 с.: ил.
- 7. Справочник инструментальщика /И.А. Ординарцев, Г.В. Филлипов, А.Н. Шевченко и др., Под общей редакцией И.А.Ординарцева.-Л.: Машиностроение. Ленингр. Отделение .1987.-846 с.
- 8. Михаевич Е.П. Технология машиностроения. Институт дистанционного образования. 100 с.2010г.
- 9. СТО ТПУ 2.5.01-2011. Работы выпускные квалификационные, проекты и работы курсовые. Структура и правила оформления.
- 10. Финансовый менеджмент, ресурсоэффективность и ресурсо-сбережение: учебно-методическое пособие. Видяев И.Г., Серикова Г.Н., Гаврикова Н.А. Изд-во Томского политехнического университета, 2014. 36 с.

- 11. Методические указания по разработке раздела «Социальная ответственность» выпускной квалификационной работы бакалавра всех направлений (специальностей) и форм обучения ТПУ/Сост. Е.Н. Пашков, А.И. Сечин, И.Л. Мезенцева, О.А. Антоневич, И.И. Авдеева Томск: Изд-во Томского политехнического университета, 2022. 18 с.
 - 12. Трудовой кодекс Российской Федерации от 30.12.2001 N 197-ФЗ (ред. от 25.02.2022)
- 13. ГОСТ Р 50923-96. Дисплеи. Рабочее место оператора. Общие эргономические требования и требования к производственной среде. Методы измерения.
- 14. ГОСТ 12.0.003-2015 Система стандартов безопасности труда (ССБТ). Описание и вредные производственные факторы. Классификация.
 - 15. СП 52.13330.2016 Естественное и искусственное освещение. Актуализированная редакция СНиП 23-05-95*
- 16. ГОСТ 12.1.005-88 ССБТ. Общие санитарно-гигиенические требования к воздуху рабочей зоны.
- 16. ГОСТ 12.1.029-80 ССБТ. Средства и методы защиты от шума. Классификация.
- 17. MP 2.2.9.2311 07 «Профилактика стрессового состояния работников при различных видах профессиональной деятельности».
- 18. ГОСТ 12.1.019-2017 ССБТ. Электробезопасность. Общие требования и номенклатура видов защиты.
- 19. ГН 2.2.5.1313-03 Предельно допустимые концентрации (ПДК) вредных веществ в воздухе рабочей зоны.
- 20. ГОСТ 12.1.030-81 ССБТ. Электробезопасность. Защитное заземление, зануление.
 - 21. http://kod-fkko.ru/
 - 22. ГОСТ 4543.71. Прокат из легированной конструкционной стали.

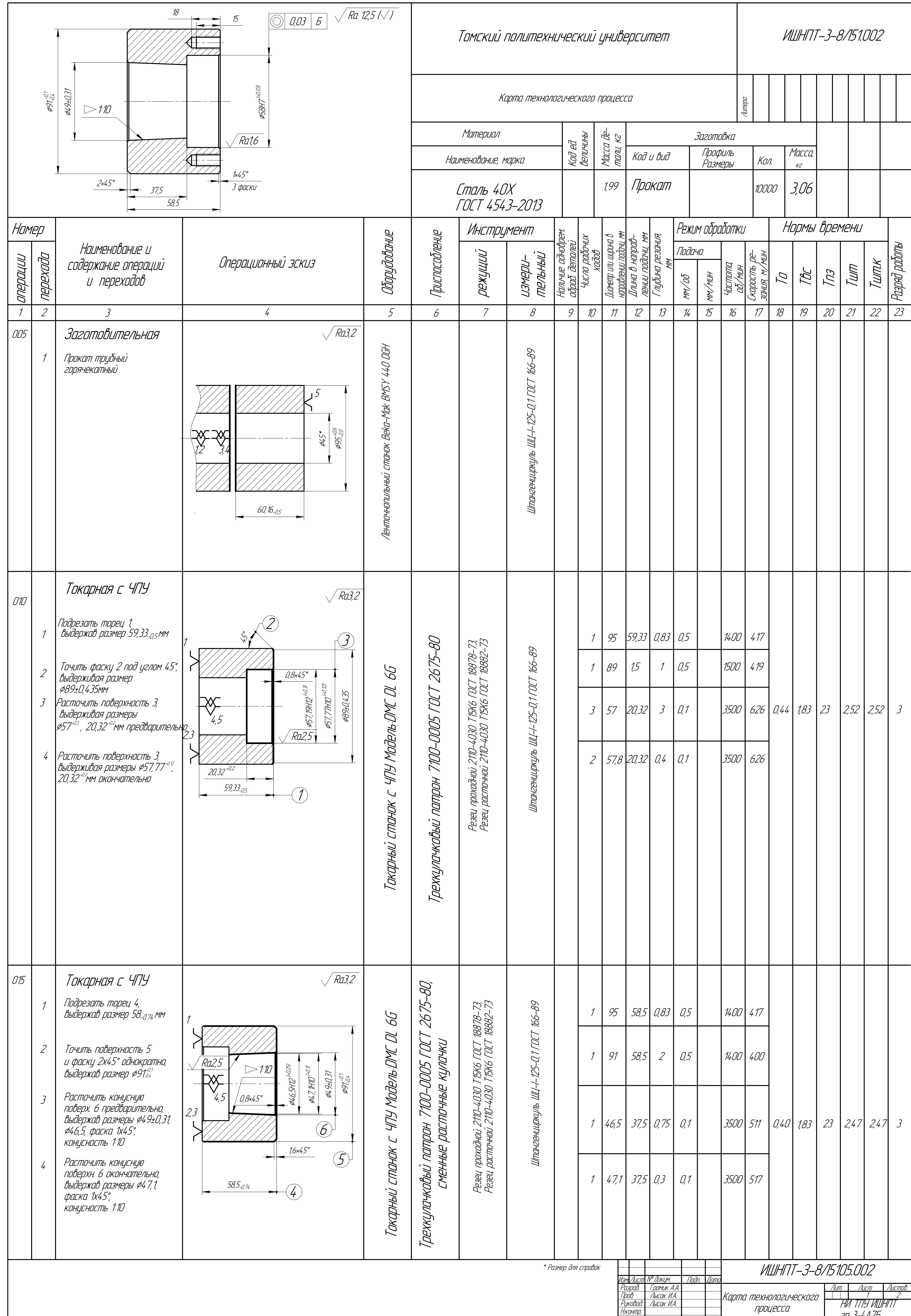
- 23. Федеральный закон от 22.07.2008 N 123-ФЗ (ред. от 30.04.2021) "Технический регламент о требованиях пожарной безопасности".
 - 23. ГОСТ 12.1.004-91. Пожарная безопасность. Общие требования.
- 24. СП 12.13130.2009 «Определение категорий помещений, зданий и наружных установок по взрывопожарной и пожарной опасности».
- 25. ГОСТ 21046-2015 Нефтепродукты отработанные. Общие технические условия.
- 26. ГОСТ Р 53692-2009 «Ресурсосбережение. Обращение с отходами. Этапы технологического цикла отходов».

Приложение А

Чертёж детали «Полумуфта двигателя»



Приложение Б
Карта технологического процесса изготовления детали «Полумуфта двигателя:



КОМИС-30 v.20 Ундъная версия © 2021 000 "АКОН-Систем» проектирования", Рассия Все права защищены

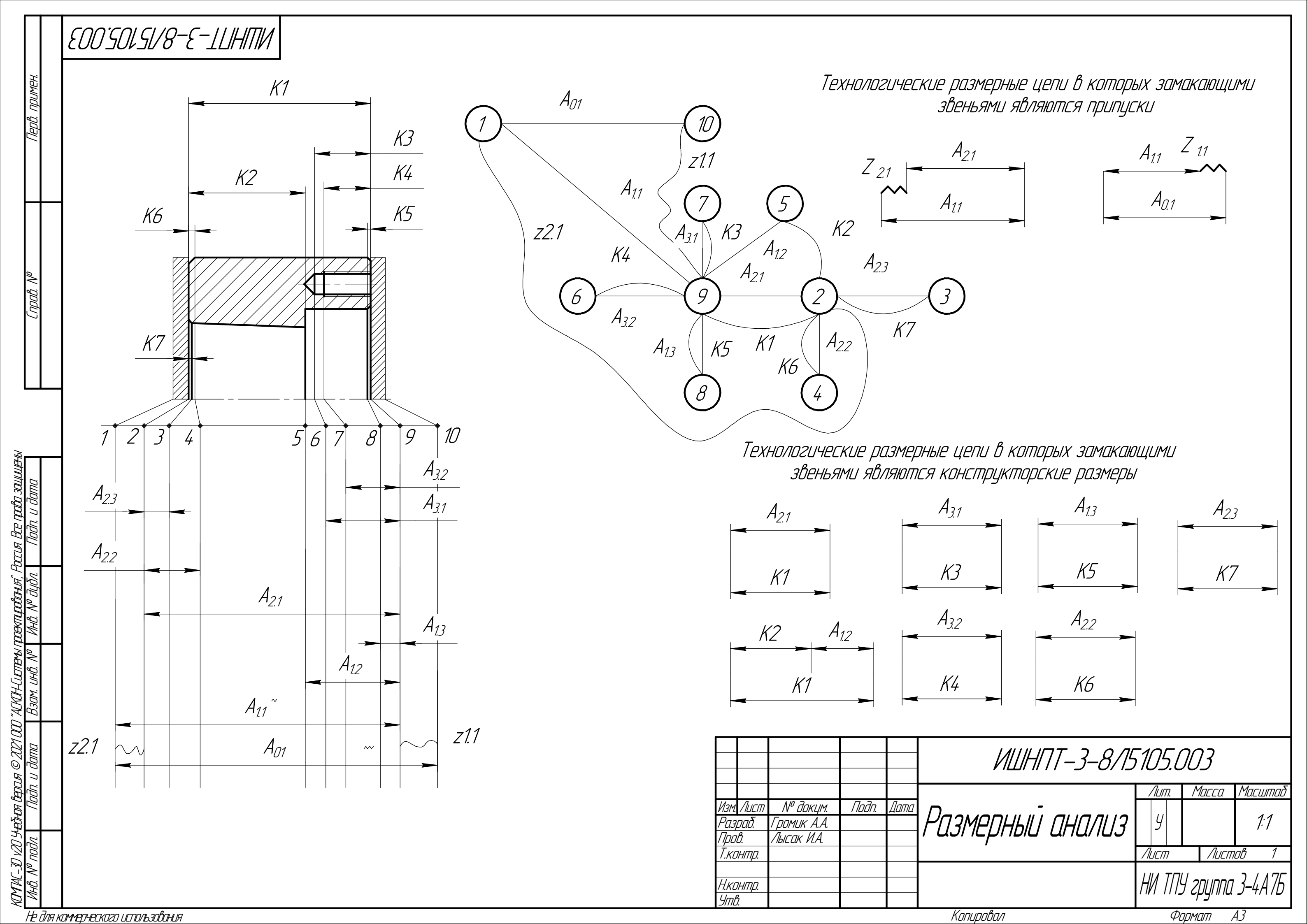
Не для коммерческого использования

гр 3–4А7Б

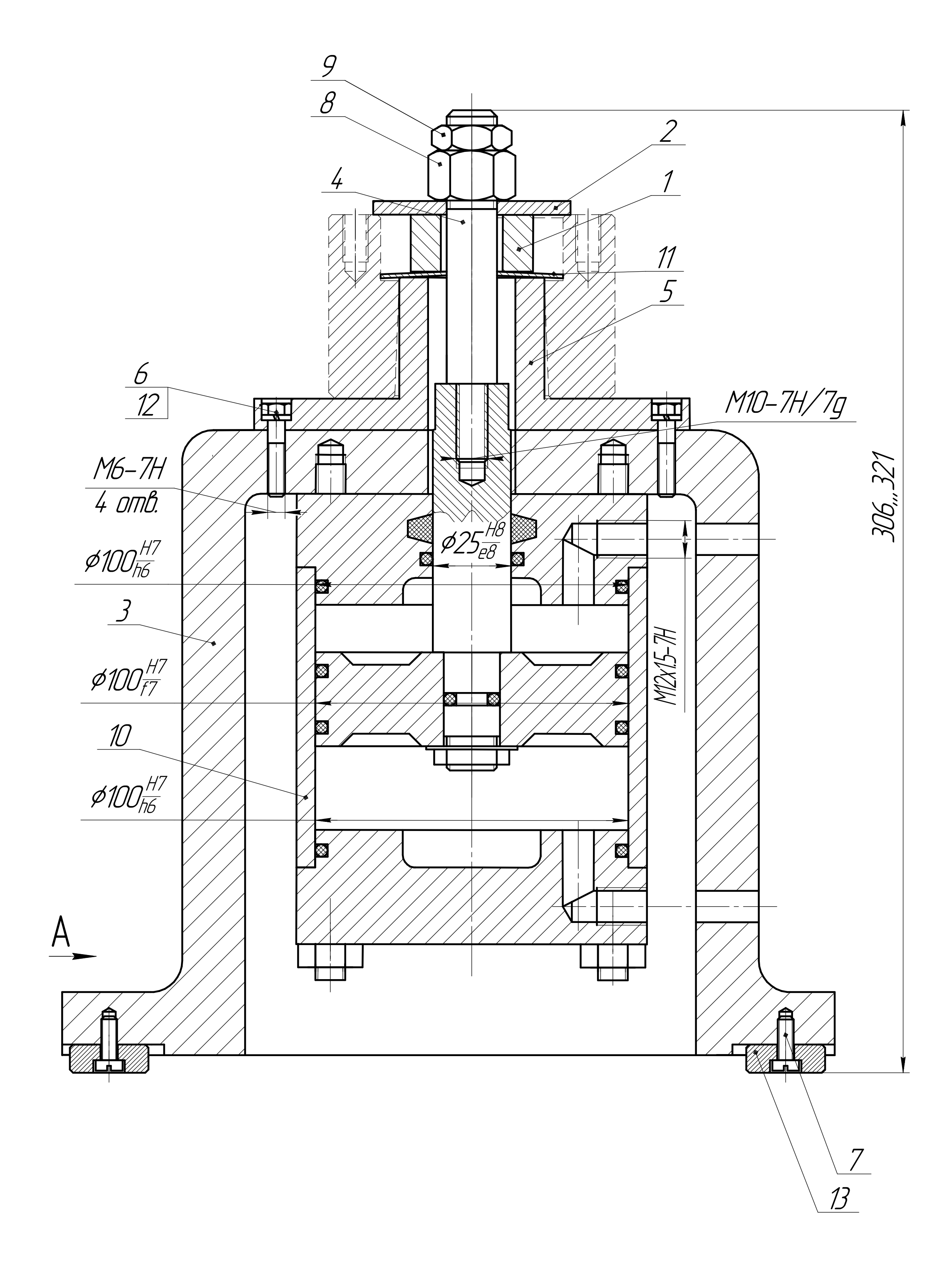
020	2	З Сверлильная Сверлить 4 отверстия 7,	4 <u>M8-7H</u> ∅6,5 ^{+0,36} √Ra3,2	5 0577	Оление	18885-73	8	9	10	11	12	13	14	15	16	17	18	19	20	21	22	
	2	выдерживая размеры \$6,5°° мм, \$74±0,1мм, 18°°,4° мм Нарезать резьбу в 4х отверстиях 7, выдерживая размеры М8–7H, 15°°,4° мм	Etion 81 4,5	-сверлильный станок .	элнаиросисионов приспосодленив	o 46,5 P6M5 FOCT 10902-77, pesbăobbuŭ 2660-0001 FOCT 18	; WY-1-125-0,1 FOCT 166-89		4	6,5 8	<i>18</i>	3,25 1	0,13			26,5 25,1	0,60	1,3	14	2,11	2,11	
			Ø59,2±0,1	Универсальный вертикально-		у оидад) Эван разын ра	<i>Штангенциркуль</i>															
025	1	Протяжная Обработать паз 8, выдержав размеры 4js9(±0,0215) и 4,12 ⁻⁰² мм, Rтах0,4	1 A 1	ротяжной станок 76520	FOCT 2675-80	протяжка ГОСТ 18217–90	FOCT 166-89, 0221-2 FOCT 24 121-80		1	14	37,5	14	0,25			7	0,03	1,65	14	1,86	1,87	
			4,5 	Гаризантально-пра	кавый патран 7100-0005 г	оди канконочШ	нциркуль ШЦ-I-250-0,05 њій калидр-продка 8154-															
			11,2JS9(±0,0215) Rimax0,4		трехкулач).		ньоноит Ноноит															
030	1	Внутришлифовальная Шлифовать поверхность 3, выдержав размер ø58H7 однократно		R-grind 1040 CWC	0005 FOCT 2675-80	25A 40 CM2	.0,1 FOLT 166-89, - 14810-69		5	58	21	0,1	0,45		280	35	1,03	1,65	14	2,97	2,97	7
			2,3 Ra1,6	луглашлифовальный станок с ЧПУ	Трехкулачковый патрон 7100-00	Шлифовальный круг АW 20x10 6 K5 A 35 м/с	Штангенциркуль ШЦ-1-125-0,1 калидр-продка ¢58H7 ГОСТ 14															
035	1	Внутришлифовальная Шлифовать поверхность 6, выдержав размер ¢47,3H7 однократно	1	KPY	Трехкулачковый патрон 7100-0005 ГОСТ 2675-80	Шлифовальный круг АW 20x10 25A 40 СМ2 6 К5 A 35 м/с	5-0,1 FOCT 166-89, 1:10 &4.7,3H7		5	47,3	37,5	0,1	0,45		280	35	1,69	1,65	14	3,71	3,71	,
			2,3 4,5 Ra1,6	Круглошлифовальный станок с ЧП.	Трехку, 7100-0	Шлифоваль 25A 40 СМ	Штангенциркуль ШЦ-1-125. калидр-продка конусная й															
				Мр																		
							* F	Размер для	я справок		M. Aucm Nº			л. Дата		<u> </u>	 }H 77		 	 	 2	_

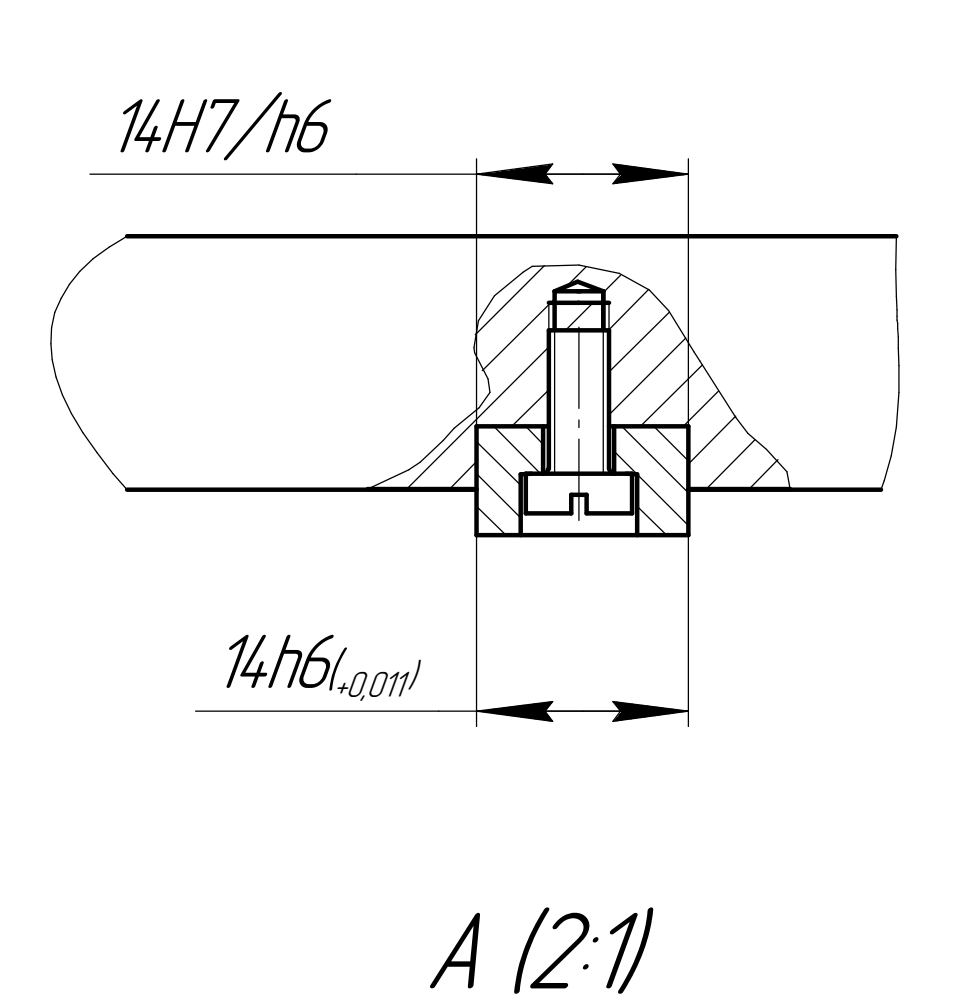
Приложение В

Размерный анализ



Приспособление для изготовления детали «Полумуфта двигателя»







- 1 Усилие закрепления Q = 32249H
- 2 Усилие на приводе W =17662H
- 3 Рабочий ход поршня l = 15мм
- 4 Давление в пневмосети Р = 2,5 МПа
- 5 Диаметр пневмоциллиндра D=100 мм

Технические требования

- 1 После сборки приспособление испытать в течении 0.5 часа под давлением 1 МПа
- 2 Пневмосеть заполнить схатым воздухом, недопускать падения давления в сети ниже отметки 0,63 МПа
- 3 Маркировать: номер партии, товарный знак завода изготовителя
- 4 Неработающие поверхности приспособления окрасить эмалью НЦ-246 серая t94ГОСТ 9825-73
- 5. Обеспечить свободный ход пальца поз.

	0#
370	

				ИШНПТ-38/15	ИШНГТ-38/15105.004							
					Лит.	Масса	Масштаб					
ям. Лист		Подп.	Дата	Приспособление для			1.1					
зэраб.	Громик А.А.			· /			1:1					
7 <i>06.</i>	Лысак И.А			сверлильной операции								
контр.					/lucm	Лист	rob 1					
							2 / 175					
контр.					1 <i>HV</i> 1 ///	H 20UNDA	3-4A75					
กห					l	ייי'בק־						

Не для коммерческого использования

KOMTAC-3D v2D Унебноя версия © 2021 000 "АКОН-Систем» проектирования," Рассия Все права защицены Инв. Nº подл. | Подл. и дата | Взам. инв. Nº | Инв. Nº дубл. | Подл. и дата

		Формат	Зона	Поз	Oč	Тозначен	UP	Наименовани	le	Кол.	Приме- чание
Терв. примен.								Документация			
Лерt								Сборочный чертеж	,		
H								<u>Детали</u>			
		5/4		1				Втулка		1	
No		5/4		2				Зажимная втулка		1	
Cnpaß. Nº		5/4		3				Корпус		1	
Ŋ		5/4		4				ОСЬ		1	
		5/4		5				Стакан			
								Стандартные изде	<i>РЛЦЯ</i>		
MBHP!											
ारिव उदाप्ता वेदामाव			1	6				Болт M6-6gx35.66	5 <i>019</i>		
Bee npal Todn. u u								FOCT 7808-70		4	
Paccusi 7				7				Винт А.М 5-6д х 13.109.	η	2	
эавания", Nº дубл.								FOCT 1491-80	.50/1/ [/1		
оектирс Инв. N											
A No			-	8				Гайка М16–6Н.8.015	<u>a</u>	1	
OHLUCTI, IM. UHB.			+	<i>U</i>				ΓΟCT 5927-70			
т. Вэам.	_			9				Гайка М16–6Н.8.01;	9	1	
2221.02 DTD								ΓΟCT 2526-70		·	
ия © 202 и дата											
Ъная верс. Подп.		110.	//		NO down	Toda Maria		 ИШНПТ-3-8/15	105.00	05	
YMMC-3D v2O Унайная версия © 2021 ООО "АСКОН-Системы проемпиравания", Рассия Все права защицень Инв. Nº подл. — Подл. и дата — Взам. инв. Nº Инв. Nº дубл. — Подл. и дата			/luc ραδ. ηδ.	/	№ докум. — Л Громик А.А. Лысак И.А	Подп. Дата	ΠηιιΓι	пособление	Лит.	Лист 1	Листов 2
MMC-3L			DHMP B	?			на сверл	ильную операцию	HN TNY	 2рупп	na 3-4A75
₩ He i	Пля кі	9ml 3 mm 2		1 1020	<u>использования</u>		Konupob	<u> </u>		. . МОП	A4

	Фармат	Зона	FOU		Обозна	14ение		Наименование	Кол	Приме- чание
			10					Пневмоцилиндр d=100мм ГОСТ 15608-81	1	
			11					Пружина тарельчатая Nº117 ГОСТ 3057-90	2	
			12					Шайба 6.65Г.019 ГОСТ 6402-70	4	
			13					Шпонка 7031–0605 ГОСТ 14737–69	2	
1										
					<u> </u>					
	Иэм	1. /IU		№ докцм.	Подп.	Дата	И	UH177-3-8/15105.00 <u>5</u>	5	Лист 2
для к	0 MM E	, по РРЧЕС	K020 L	т выхут. Использования	riouri.	дини	Копирови	лл Фор	МДП	A4

КОУМС-30 v20 Унайня версия © 2021 000 "АСКОН-Ситемы праемправания", Рассия Все права защищены Не для коммерческого использования

Взам. инв. №

Приложение Д

Таблица 3.3 Матрица SWOT

Таблица 3.3 Матрица SWOT

	Сильные стороны научно- исследовательского проекта: С1. Высокая производительность труда. С2. Более низкая стоимость производства по сравнению с другими технологическими процессами. С3. Низкая металлоемкость. С4. Конкурентоспособность	Слабые стороны научно- исследовательского проекта: Сл1. Ограниченный круг потенциальных потребителей. Сл2. Узкоспециализированное назначение разработки. Сл3. Отсутствие необходимого оборудования для проведения испытания опытного образца. Сл4. Необходимость повышения
	проекта.	квалификации кадров потенциальных потребителей.
Возможности: В1. Занятие дополнительных ниш на рынке за счет усовершенствовании технологии. В2. Снижение таможенных пошлин на сырье и материалы, используемые при научном исследовании. В3. Появление дополнительного спроса на новый продукт в связи с его экономичностью. В4. Использование инновационной инфраструктуры ТПУ. В5. Повышение стоимости конкурентных разработок.	-Автоматизировать некоторые процессы, что поможет снизить себестоимость продуктаПовышение квалификации персонала.	-Снижение себестоимости продукции поможет найти новые рыки сбытаСнижение сроков поставки продукцииразвитие и обучение персонала
Угрозы: У1. Отсутствие спроса на новые технологии производства. У2. Развитая конкуренция технологий производства. У3. Ограничения на экспорт технологии. У4. Сложная финансовая ситуация в экономике страны. У5. Наличие барьеров для входа на рынок.	-Новая маркетинговая политикаРазработка новой стратегии управления	-Поставка образцов для демонстрации клиентам Усовершенствование средств контроля качества

Таблица 3.4 Интерактивная матрица проекта

Сильн	ые сторо	оны проект	га		
	•	C1	C2	C3	C4
	B1	0	+	0	+
Danisassasassas	B2	-	+	0	+
Возможности	В3	0	+	+	-
проекта	B4	+	0	+	-
	B5	-	+	0	+
Слаба					
		Сл1	Сл 2	Сл3	Сл4
	B1	+	+	-	0
Возможности	B2	+	+	-	0
проекта	В3	+	+	-	0
1	B4	0	+	-	-
	B5	+	0	-	0
Сильн	ные сторо	оны проект	га	ı .	
		C1	C2	C3	C4
	У1	0	+	+	-
	У2	0	+	+	+
Угроы	У3	0	+	-	+
проека	У4	-	+	-	0
	У5	0	+	+	+
Слаба	ые сторо	ны проект	a	G 2	G 4
		Сл1	C2	Сл3	Сл4
	У1	+	+	-	0
Угроы	У2	+	+	-	0
_	У3	-	0	-	0
проека	У4	+	+	-	0
	У5	+	+	+	-